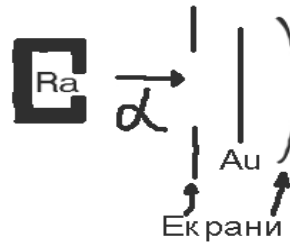


1. Основні етапи розвитку уявлень про структуру матерії.

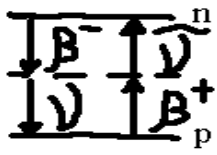
Кінець XIXст. Бекерель спостерігав дію солей радію на сірчистий цинк – радіоактивність, α -розпад ядра. Відкриття α -частинок He^{2+} . => Початок XXст. Дж. Томсон запропонував модель атома: атом – середовище з розподіленим позитивним зарядом і концентрованими вкрапленнями негативного заряду (як родзинки в булці). => 1912р. Резерфорд поставив експеримент по розсіянню α -частинок (з препарату радію) на золотій фользі. В результаті виявлено розсіяння на малі та великі кути. Отже, масивні α -частинки легко проходять через тонкий шар речовини, але можуть розсіюватись (завернутись) на масивних центрах – ядрах. Нова модель атома – планетарна (легкі електрони обертаються навколо масивного ядра). =>

1920 він же встановив, що під дією α -частинки $E\alpha=5\text{MeV}$ з ядра вилітають позитивно заряджені частинки з зарядом e . Маса будь-якого ядра кратна масі протона \rightarrow електрон-протонна модель ядра $N=A(\text{протонів})+[A-Z](\text{електронів})$. Протиріччя моделі: а) μ_p на 4 порядки менший за μ_e , тому для дейтерію $d: 2p+e \mu_d = \mu_e$, але це не так; б) електрони і протони є ферміонами (мають напівцілий спіні), тому сумарний спіні дейтерію повинен бути $3/2\hbar$ або $1/2\hbar$, а насправді \hbar ; в) існування електрона в ядрі протирічить принципу невизначеності: $\Delta x \Delta p \geq \hbar/2$, $\Delta p \geq \hbar/2\Delta x$, $\Delta x \leq 2R$ (розмір ядра відомий з досліду Резерфорда) – за такими розрахунками шв. електрона в ядрі більша за швидкість світла. => 1933 Іваненко / Гейзенберг запропонували протон-нейтронну модель ядра $N(\text{нуклонів})=Z(\text{протонів})+[A-Z](\text{нейтронів})$.



2. Історія відкриття перших субатомних частинок - електрона, протона, нейтрона, нейтрино.

Початок ХХст. Астон побудував мас-спектрометр на схрещених ел. і магн. полях, частинки з різними масами потрапляють на різні частини екрана. Відкрито протон (protos – перший) $m_p = 1836.1 m_e$, $\mu_p = 2.79 \mu_0$ ($\mu_0 = 10^{-24}$ СГСЕ)-магн. момент. => 1933 Чадвік спостерігав випромінювання великої проникної здатності, на нього дуже слабо впливає магнітне поле (на γ -випромінювання магнітне поле взагалі не впливає). Ці частинки – нейтрони:



$m_n = 1838.6 m_e$, $\mu_n = 1.91 \mu_0$ (μ_0 – ядерний магнетон). $E_n > E_p$ у вільному просторі нейтрону вигідно перетворюватись у протон:

$n \rightarrow p + e^-$ (період піврозпаду 1000с). => Паулі запропонував гіпотезу про існування ще одного продукту реакції розпаду нейтрона. Нова частинка

нейтрино (маленький нейтрончик) повинна бути ферміоном для виконання закону збереження спіна. На експерименті нейтрино зафіксували значно пізніше – середина ХХст. Реакція розпаду нейтрона є зворотною $p + e^- \rightarrow n + \text{антинейтрино}$ $\equiv n + \text{нейтрино}$, тому вважають що нейтрон і протон є станами однієї частинки з різними енергіями $E_n > E_p$

3. Античастинки

В загальному випадку для кожної частинки існує античастинка. Проте є випадки коли всі відомі параметри елементарної частинки співпадають з параметрами частинки. Такі частинки називаються супер-мега-нейтральними (істинно-нейтральними). До істинно нейтральних відносяться фотони, π -мезони, η мезони і так далі. В основному ж античастинки співпадають наприклад за масою спіном часом життя, а також співпадають за абсолютною величиною проте відрізняються за знаком заряд, магнітний момент. Так нейтрон від антинейтрона відрізняється лише знаком магнітного моменту.

Поняття частинки та античастинки відносні. Що назвати частинкою, а що античастинкою – питання домовленостей.

1. Перша античастинка – **позитрон**. Її аналітично вивів Дірак, розглядаючи своє Лоренс інваріантне хвильове рівняння, а також принцип Паулі. А через рік, досліджуючи космічні випромінювання в камері Вільсона, Андерсон виявив частинки, що рухались по аналогічних траєкторіях, як і електрони, проте в магнітному полі відхилялись в іншу сторону.

За відсутності речовини позитрон і як само стабільний, як і електрон.

Та при зустрічі ці дві частинки анігілюють. При цьому утворюється два, або більше γ кванти. Один γ квант не може утворитись оскільки тоді не виконається закон збереження імпульсу в системі прив'язаній до центру мас електрона та позитрона. γ квант теж може породити електронно

позитронну пару. Та для цього потрібно, щоб його енергія була більша ніж $2m_e c^2$. Такий процес може відбуватись лише за присутності третього тіла, якому повинен передатись імпульс γ кванту (сумарний імпульс електронно-позитронної пари рівен нулеві).

Для фанатів це можна пояснити таким чином – є деяка тіло з масою. Довкола них утворюється “шуба віртуальних частинок”. Тобто довкола частинки виникають інші “віртуальні” частинки таким чином, щоб не порушувати принцип невизначеності Гейзенберга. І тут в цю шубу влітає фотон, який дає енергію, для того, щоб “віртуальна” електронно-позитронна пара розлетілась.

Також позитрони можуть утворюватись при процесах перетворення ядерних елементів.

Повільні позитрони можуть захоплюватись електронами з атомної оболонки. Тоді утвориться ортопозитроній (спіни електрона та позитрона паралельні), та парапозитроній (антипаралельний). Це утворення має невеликий час життя через анігіляцію. Є дуже цікавою через те, що сили зв'язу чисто електромагнітні

Взагалі кажучи Висоцький нам античастинок як таких і не давав. Про деякі з них згадувалось в процесі розповідання інших тем.

Беручи за основу Сівухіна напишу ще про антинейтрони, та антипротони.

2. **Антипротон** – отримали в прискорювачі, бомбардуючи мідну мішень протонами. Прискорені протони взаємодіючи з протонами в ядрах мішені, утворювали антипротони. Спочатку їх було важко виділити на фоні π -мезонів. Та потім їх навчилися відрізняти, завдяки тому, що π -мезони мають значно більшу швидкість. В основному антипротон від протона відрізняється зарядом. Проте в пізніше було виявлено ще ряд протилежних за знаком властивостей, на зразок баріонного заряду і т.д. проте нам це толком не розповідали і раджу сильно про це не поширюватись.

3. **Антинейтрон** – вперше отримали шляхом перезарядки антипротонів Тобто $\bar{p} + p = \bar{n} + n$, нейтрони взагалі важко детектуються, оскільки електронейтральні. А відрізнити антинейтрон від нейтрона тим важше. В основному антинейтрони детектують шляхом анігіляції з нейтроном. При цьому виникає декілька заряджених частинок.

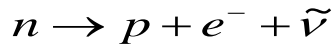
4. Якщо комусь дуже цікаво, чому у нас в сесвіті так багато речовини, і так мало антиречовини, то відповідь десь така. На перших секундах утворення всесвіту, внаслідок флуктуації речовини утворилось більше ніж антиречовини. Антиречовина проанігілювала, а та речовина, що залишилась, і досі льютає довкола нас. Докладніше про це дивись 54 запитання.

4. Склад та заряд ядра

Питання, дуже захоплююче. Річ в тім, що всі можливі процеси, залежності, моделі ядра, розглядається в наступних питаннях. І мені нічого не залишається, як написати, що ядро складається з протонів і нейтронів.

Але подивимось на це ширше. Ядерна фізика, почалась тоді, коли почали спостерігати радіоактивність. І коли пан Резерфорд занявся цим впритул, він догнав ядерну природу радіоактивності. І висунув модель ядра, де воно складалося з нейтронів, протонів, та електронів. Така модель згодом була відмінена принципом невизначеності Гейзенберга. Да і з експериментом не сходилось.. Відтоді всі знають, що ядро складається з нейтронів та протонів. Хоча ті, що були на супер-пупер доповіді висоцького і чув казку про надважкі ядра, той знає, що ідея резерфорда не була облишена змісту.

Маса нейтрона на 2,5 маси електрона більша від маси протона. Він відповідно і розпадається



(коли вільний)

Ота фенічка в кінці – це нейтрино (чи антинейтрино?), або

фігня, видумана для того, щоб виконувався закон збереження імпульсу та енергії. Можна подумати, що не варто говорити про протон, як елементарну частинку. Проте в середині ядра

можливий і такий процес $p \rightarrow n + e^{+} + \nu$. Тобто протон складається з нейтронів, а нейтрони з протонів ☺. Таким чином говорити, хто з них більш елементарний немає змісту. Отож обидві ці частинки називають елементарними. Розрізняються переважно зарядами, і являються ферміонами (мають спін, як і електрон 1/2), тобто підкоряються статистиці Фермі-Дірака. Звідси мабуть і береться ідея виродженого фермі газу, як моделі ядра.

Число протонів в ядрі Z – називають зарядовим числом (або порядковим номером елемента). А кількість нейтронів N . $A=N+Z$ – називають масовим числом ядра. Думаю не варто казати, що заряд ядра визначається кількістю протонів в ньому.

Атоми з однаковими Z , але різними N – **ізотопи**

однакові A , але різні Z – **ізобари**

однакові N але різні Z – **ізотонами**

однакові A, Z, N але різні квадрупольні моменти - **ізмери**

Як правило для невеликих A $Z \approx \frac{1}{2} A$, для великих - $Z < \frac{1}{2} A$.

5 Стабільні та нестабільні ізотопи та ізобари, “дорожка стабільності”

- 1) Зара відомо понад 2500 нуклідів $Z_{\text{MAX}}=114$
- 2) Ізотопи (однакове Z) . Існують нукліди із $Z = 0 \dots 114$. Ядро є стабільним якщо його час життя $> 10^{10}$ років . Передбачається існування нукліда із $Z = 128$ для якого $A = 310$.
- 3) Сердне число стабільних ізотопів 3 –для кожного хім. Елемента.
- 4) Відомо що не існує стабільних ізотопів із $Z = 0, 43, 61, > 84$.
- 5) Є багато елементів для яких великий $U^{238}_{92}, U^{235}_{92}$
- 6) Ізобари (однакове A) . Відомі ізобари з $A = 1, \dots, 260$, Є також A порядку 10^{57} (10 в 57-мій) для нейтронних зірок.
- 7) Не існує стабільних ізобар для $A = 5, 8, > 210$.
- 8) Емпіричне правило якщо нуклід ${}^Z_F X$ стабільний то немає стабільного нукліда ${}^{Z+1}_F Y$ але можливе існування ${}^{Z+2}_F Y$
- 9) Але є виключення
- 10) для відносно невеликих A $Z \approx 1/2A$ але коли A зростає то для компенсації $Z < 1/2A$
- 11) найбільшій стабільності відповідають ситуації коли Z та N – непарні.
- 12) найбільш стабільні ядра , коли Z, N або $Z+N$ співпадає з магичними числами 2, 8, 20, 28, 50, 82, 126, в передбачається 184
- 13) $\epsilon = E(Z, A) / A$

малюнок 3 - $\epsilon = const$ Ця залежність відповідає стабільним ізотопам та відносно стабільним. “Дорожка стабільності” .(в конспекті вона між 3-ім та четвертим малюнком який з них – незрозуміло)

$$E_{CB} = C_{OB}A - C_{ПОВ}A^{2/3} - C_{КУЛ}Z^2A^{-1/3} -$$

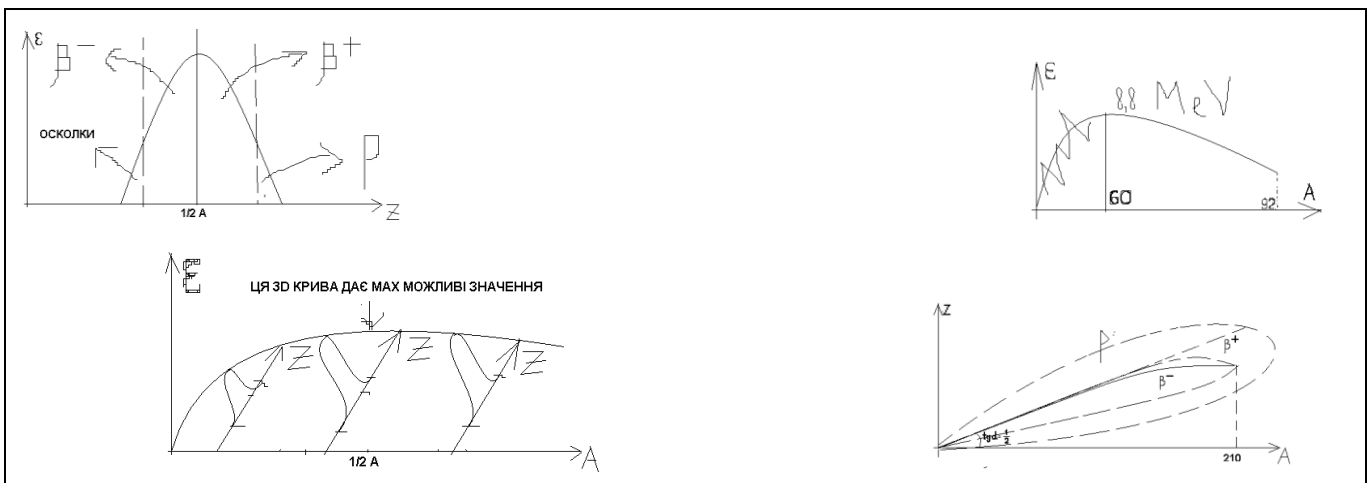
$$-C_{СИМ}(A-2Z)^2A^{-1} + C_{СПАР}A^{-\epsilon} \delta$$

$$\frac{\partial E_{CB}}{\partial Z} = 0 \Rightarrow -\frac{C_K}{A^{1/3}}Z + C_{СИМ} \frac{(A-2Z)2}{A} = 0 \quad \text{Ця залежність дає дорожку стабільності}$$

$$Z \left(\frac{C_K}{A^{1/3}} + \frac{4C_{СИМ}}{A^{1/3}} \right) = 2C_{СИМ}$$

$$\text{АБО остаточно} - Z = \frac{A}{2 + \frac{C_K}{2C_{СИМ}}A^{2/3}}$$

$$\text{Рівняння для центральної дорожки стабільності} \quad Z = \frac{A}{2 + 0.0015A^{2/3}}$$



6 МАГИЧЕСКИЕ ЯДРА (МАГИЧЕСКИЕ ЧИСЛА)

Энергия связи ядра описывается полуэмпирической формулой Вейцеккера

$$E_{CB} = C_{OБ}A - C_{ПОВ}A^{2/3} - C_{КУЛ}Z^2A^{-1/3} - \\ - C_{СИМ}(A - 2Z)^2A^{-1} + C_{СПА}A^{-\varepsilon} \delta$$

Эта формула не описывает **магические ядра** и флуктуации энергии спаривания.

Магическими называются ядра, у которых число протонов или нейтронов равно одному из чисел 2, 8, 20, (28), 50, 82, 126 (в последнем случае только для нейтронов). Сами эти числа называются также **магическими**. Если у ядра одновременно являются магическими как число протонов так и число нейтронов, то такое ядро называется **дважды магическим**. Таких ядер всего пять ${}^4\text{He}_2$, ${}^{16}\text{O}_8$, ${}^{40}\text{Ca}_{20}$, ${}^{48}\text{Ca}_{20}$, ${}^{208}\text{Pb}_{82}$. Магические и в особенности дважды магические ядра отличаются **повышенной устойчивостью** то (есть обладают большими удельными энергиями связи) и дольшей распространённостью в природе по сравнению с другими ядрами. Существование магических чисел объясняется оболочечной моделью ядер.

PS: см также билет № 15 – объяснение магических чисел.

7. Ізоспін

Дане поняття тісно пов'язане з нуклонами. А точніше нуклони(протони і нейтрони) мають таку

характеристику – ізоспін. Це оператор, його проекція на вісь Z набуває значень $\hat{T}_z = \pm \frac{1}{2}$. За допомогою цього оператора можна ввести заряди протона, нейтрона та оператор заряду ядра:

$$q_p = |e|(\hat{T}_z^p + 1/2) \quad q_n = |e|(\hat{T}_z^n + 1/2) \quad \hat{Q}_{\text{ядра}} = |e|(\sum_{i=1}^A T_z^i + \frac{1}{2} A)$$

Оце й усе, що нам розказав Висоцький про ізоспін... більше нам знати мабуть і не треба ☺

Изотопический спин (изоспін) — одна из внутренних характеристик (квантовое число), определяющая число зарядовых состояний адронов. В частности, протон и нейтрон (общее наименование этих элементарных частиц — нуклоны) различаются значением проекции изоспина, тогда как абсолютные значения их изоспина одинаковы. Последнее выражает свойство изотопической инвариантности сильного взаимодействия.

С точки зрения сильного взаимодействия, протон и нейтрон являются одинаковыми частицами, а многие другие свойства у них также близки. Поэтому была разработана модель, по которой любой нуклон обладает изотопическим спином, равным 1/2, у которого есть две возможные «проекции» в особом *изотопическом пространстве*. Когда проекция изотопического спина I_z равна +1/2, то нуклон становится протоном, а когда -1/2 — нейтроном. (Это соглашение о знаках принято в физике элементарных частиц; в ядерной физике для оси z изотопического пространства иногда^[1] выбирают противоположное направление, чтобы проекция изоспина нейтрона была равна +1/2 и суммарная проекция изоспина у большинства ядер была положительной).

Такое поведение изотопического спина выглядит естественным с точки зрения квантовой механики, поскольку в ней уже есть квантовое число с аналогичными свойствами — спин. По аналогии с этим названием и был введён термин «изотопический спин».

Понятие изотопического спина было предложено в 1936 году Б. Кассеном и Э. Кондоном. Изоспин сохраняется во всех процессах, обусловленных сильным взаимодействием, однако нарушается в слабом и электромагнитном взаимодействии. Изоспин / одинаков для всех адронов, образующих изотопический мультиплет, число адронов в таком мультиплете равно 2I+1. У каждого адрона в изомультиплете своя проекция изоспина I_z и свой электрический заряд, но одинаковы все остальные квантовые числа (спин, чётность, барионное число, странность и т. д.). Так, изодублет нуклонов (I=1/2) состоит из двух членов: протона и нейтрона с $I_z = \pm 1/2$. Изотриплет пионов π^+ , π^0 , π^- имеет изоспин 1 и проекции изоспина +1, 0, -1.

Сохранение изоспина в сильных взаимодействиях позволяет приближённо вычислять сечения реакций и предсказывать структуру ядерных уровней в случаях, когда эффекты несохраняющих изоспин взаимодействий малы.

8. Маса та енергія зв'язку. Формула Вейцекера.

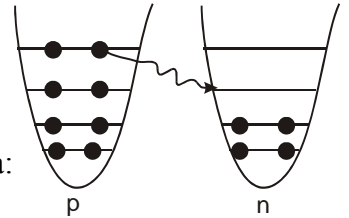
Енергія зв'язку – це та енергія, яку потрібно ззовні надати, аби поділити ядро на складові

частинки. Вона виражається через дефект мас: $E_{Z,A} = \Delta M c^2$. Дефект мас – це різниця мас усіх нуклонів у ядрі і самого ядра. Дефект мас слугує мірою енергії зв'язку ядра. Тобто, якщо маса усіх нуклонів більше, ніж маса ядра – то нуклонам більш енергетично вигідно знаходитися в ядрі – тобто таке ядро буде стійким. (див. Запитання про стабільність ядер, доріжку стабільності).

Абсолютно очевидно є така формула для дефекту мас: $\Delta M = Z * m_p + (A - Z)m_n - M_{\text{я}}$

Формула Вейцекера – дає залежність енергії зв'язку ядра і кількості протонів і нейтронів – на

один нуклон: $\varepsilon = \frac{E_{ZA}}{A} = \varepsilon(Z, A)$. Ця формула є напів-емпіричною. Тобто ми приблизно прикидуємо від чого ця енергія має залежати, а потім обраховуємо, або знову експериментально визначаємо усі коефіцієнти. Отже сама формула:



$$E_{ZA} = \bar{\varepsilon}A - C_k \frac{Z^2}{A^{1/3}} - C_{\text{поверхні}} A^{2/3} - C_{\text{симетр}} \frac{(A - 2Z)^2}{A} + C_{\text{парності}} \frac{\delta}{A^\alpha}$$

Другий член формули пов'язаний з кулонівськими силами: $U_k = \frac{3Z^2 e^2}{5R} \sim \frac{Z^2}{A^{1/3}}$, тут

врахована експериментальна формула для радіусу ядра: $R = r_0 A^{1/3}$. Третій член пов'язаний з взаємодією нуклонів на поверхні ядра – для цих нуклонів зв'язок буде слабкіший, ніж для тих, що знаходяться в середині ядра. Четвертий член, наскільки я зрозумів, зв'язаний з співвідношенням протонів і нейтронів у ядрі (можна знову подиситися запит. Про стабільність ядер ☺). Вважається,

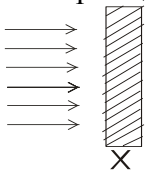
що максимальна енергія зв'язку буде при $Z=A/2$, тому поправка буде $\sim (Z - \frac{A}{2})^2$. Тобто, як це все пояснюється: Зквантової механіки відомо, що наші протони і нейтрони знаходяться у потенціальній ямі. Оскільки вони ферміони, то на одному рівні може знаходитись по 2 протони або нейтрони. Нехай нейтронів менше ніж протонів, тоді буде енергетично вигідно протону перейти у яму нейтрона (адже деякі протони знаходяться на вищих рівнях ніж найвищі нейтрони)

із виділенням β^\pm частинки. При великих значеннях A , рівні будуть згущуватися, і процес перекачки стає менш вигідним – менші різниці енергій між рівнями.

Далі Висоцький уточнював і виводив усі ці коефіцієнти в моделях ядра (див. Пит. 12-16). А наша історія на цьому мабуть закінчиться. Good Luck и да пребудет с вами шара ☺

9 Розміри ядра та методи визначення.

Розміри ядер можна визначити різними експериментальними методами серед яких ,методом дослідження розсіяння нейтронів на ядрі. Для цього береться пластинка настільки тонка ,що можна вважати ,що зіткнення нейтронів з ядрами в ній будуть лише однократними .



Тоді врахувавши що ослаблення початкового пучка нейтронів dI буде пропорційне

величині самого пучка I ,концентрації n , площі ефективного перерізу розсіяння σ та відстані що пройшов пучок в зразку dx отримаємо наступне диференційне рівняння

$$dI = -In\sigma dx \quad \text{розв'язком якого буде} \quad I(x) = I(0)e^{-\sigma n x} \quad \text{де } x \text{ товщина пластинки,}$$

звідси можна знайти $\sigma = \frac{1}{n x} \ln \frac{I(0)}{I(x)}$ врахувавши що $\sigma = \pi R^2$ можна визначити розміри ядра.

Якщо вважати що ядро має форму сфери тоді всі методи визначення його розмірів приводять до

формули $R = r_0 A^{1/3}$ де A -масове число ядра ,а $r_0 = (1.2 - 1.5) * 10^{-13}$ см . Структуру ядра можна досліджувати якщо взяти атом в якого натомість електрона мю-мюон який має такий же заряд як і електрон ,але його маса більша в 207 разів тому з формули для першої борівської орбіти

$$r_1 = \frac{\hbar^2}{z m e^2} \quad \text{виходить ,що радіус обертання навколо ядра буде набагато меншим за}$$

радіус обертання електрона , таким чином виходить так що існуватимуть атоми в яких мю-мюон рухатиметься всередині ядра ,ітаким чином можна досліджувати структуру ядра.Досліди по

розсіянні швидких електронів показують закон розподілу густини в ядрі $\rho(r) = \frac{\rho_0}{1 + \exp(\frac{R - R_0}{\Delta r})}$,

ρ_0 -густина в середині ядра, $R_0 = 1.08 * 10^{-13} A^{1/3}$ см, $R = r A^{1/3}$,

$$\Delta r = (0.3 - 0.5) * 10^{-14} \text{ см.}$$

10. Форма, електричні та магнітні моменти ядер.

Спін і магнітні властивості ядер.

+ Спін. мом.
орбіт. мом.

$$\hat{S} = \sum_i \hat{s}_i$$

$$\hat{L} = \sum_i \hat{l}_i$$

$$\hat{J} = \hat{S} + \hat{L}$$

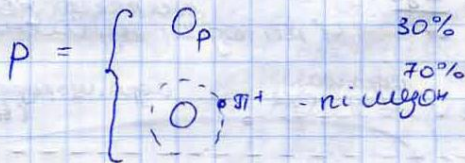
$\mu_p = 2.79 \mu_n$ - ядерний магнетон

$\mu_n = -1.91 \mu_n$

${}^2d^2 \mu_d = 0.96 \mu_n$

(Чому так аномально?)

- змінюють полярно свій електричний заряд, створюючи



(тому вибір - є середнім)

p, n - динамічна сист
п'її сильної зв'язку

$$\mu_n = \frac{\Delta t}{T} \mu_{n_0} + (1 - \frac{\Delta t}{T}) (\mu_p - \mu_{\pi^-}) = -1.91 \mu_n$$

$$\mu_p = (1 - \frac{\Delta t}{T}) \mu_{p_0} + \frac{\Delta t}{T} (\mu_n + \mu_{\pi^+}) = 2.79 \mu_n$$

Δt - вагова доля перебування в одному стані, T - період перетворення. Беруть такий варіант: $\Delta t/T = 0.3, T = 10^{-23}$ с.

$$\mu_{\pi^\pm} = \pm 7 \mu_n$$

11. Парність та закон збереження парності.

Парность(укр..)=Чётность(рус.)

Перенабрано чисто из учебника Широков Юдин (надо своїми словами)

Чётность это квантомеханическая характеристика и является фундаментальным понятием. Она характеризует свойства симметрии ядра. Элементарных частиц и вообще любых физических систем по отношению к зеркальным отражениям. Важность этого понятия обусловлена законом сохранения чётности, согласно которому физическая система, обладающая зеркальной симметрией в начальном состоянии, сохраняет эту симметрию во все последующие моменты времени. Этот закон справедлив как для электромагнитных взаимодействий, определяющих структуру атомов и молекул, так и для ядерных сил, определяющих структуру ядер.

Закон сохранения четности приводит к ряду ограничений, или, как говорят, правил отбора, для различных реакций взаимопревращений ядер и элементарных частиц. Для формулировки этих правил необходимо точное квантовомеханическое определение четности как сохраняющейся величины. В квантовой теории состояние системы n частиц описывается комплексной волновой

функцией $\Psi(r_1, \dots, r_n)$, зависящей от координат этих частиц. Для протонов, нейтронов и электронов, т. е. для частиц, из которых состоят атомы и ядра, а также для ряда других микрочастиц определение четности эквивалентно разделению функций на четные и нечетные. Состояние системы n таких частиц называется четным, если ее волновая функция не меняется при изменении

знаков координат всех частиц: $\Psi_{четн}(-r_1, \dots, -r_n) = \Psi_{четн}(r_1, \dots, r_n)$, (1) и нечетным, если волновая функция при такой операции (называемой инверсией координат) меняет

знак: $\Psi_{нечетн}(-r_1, \dots, -r_n) = -\Psi_{нечетн}(r_1, \dots, r_n)$. (2) Связь этого определения четности с зеркальной симметрией обусловлена тем, что преобразование инверсии $r \rightarrow -r$ состоит из зеркального отражения относительно плоскости, проходящей через начало координат, с последующим поворотом на 180° вокруг оси, перпендикулярной этой плоскости. (Дальше пойдёт муть про которую Высоцкий точно не говорил)

Для общего случая произвольных микрочастиц определения четности состояния (1), (2) приходится немного усложнить. Именно, оказывается, что каждая частица с ненулевой массой покоя обладает неотъемлемой характеристикой, называемой внутренней четностью. Внутренняя четность Π частицы является числом, равным либо $+1$, либо -1 . Частицы, для которых $\Pi = +1$, называются четными, а частицы с $\Pi = -1$ называются нечетными. Охватывающее все частицы определение четности состояния таково: состояние четно, если

$$\Pi_1 \dots \Pi_n \Psi_{четн}(-r_1, \dots, -r_n) = \Psi_{четн}(r_1, \dots, r_n) \quad (3) \text{ и нечетно, если}$$

$$\Pi_1 \dots \Pi_n \Psi_{нечетн}(-r_1, \dots, -r_n) = -\Psi_{нечетн}(r_1, \dots, r_n) \quad (4) \text{ В (3), (4) } \Pi_1 \dots \Pi_n \text{ —}$$

внутренние четности частиц.

Из этих формул могут быть выведены следующие простые правила, позволяющие использовать закон сохранения четности для получения правил отбора в различных ядерных реакциях, а также для экспериментального определения внутренних четностей элементарных частиц и атомных ядер: а) четность частицы с орбитальным моментом l и внутренней четностью Π равна $\Pi (-1)^l$;

б) внутренняя четность Π_{12} сложной системы, состоящей из двух частиц (и вообще из двух подсистем) с внутренними четностями Π_1 и Π_2 и с относительным орбитальным моментом l , равна $\Pi_1 \Pi_2 (-1)^l$. При этом внутренней четностью системы частиц мы называем ее четность в состоянии с нулевым суммарным импульсом. Из совокупности самых разных опытных данных следует, что внутренние четности протона, нейтрона и электрона можно положить равными единице. Тогда из правил а), б) следует важное для теории атомов и ядер соотношение: четность системы n нуклонов

(или электронов) с орбитальными моментами l_1, \dots, l_n равна $(-1)^{l_1+l_2+\dots+l_n}$. Только что изложенные правила определения четностей различных состояний неприменимы для фотонов (и вообще для частиц с нулевой массой покоя и ненулевым спином)

12.1 Краплинна модель

Енергія зв'язку ядра (відносно всіх нуклонів) $E_{зв}$ є мірою його міцності, вимірювана мінімальною роботою, яку необхідно виконати, щоб повністю розщепити ядро на його складові протони і нейтрони. Через енергію зв'язку визначають і розділення ядра на будь-які дві частини. Наприклад енергія зв'язку протона в ядрі – це мінімальна робота, яку потрібно виконати щоб видалити протон із ядра. XXXXXXXX

$$E_p = E_{зв}(Z, A) - E_{зв}(Z-1, A-1) \quad \text{аналогічно зв'язок нейтрона у ядрі,}$$

$$E_n = E_{зв}(Z, A) - E_{зв}(Z, A-1)$$

також альфа частинки $E_\alpha = E_{зв}(Z, A) - E_{зв}(Z-2, A-4) - E_{зв}(\alpha)$ де $E_{зв}(\alpha)$ - енергія зв'язку альфа частинки.

Корисним поняттям в ядерній фізиці є дефект маси ядра, пов'язаний з його енергією зв'язку. Дефектом маси ядра називають різниці між масою розглядуваного ядра, вираженою в а.о.м., і

відповідним числом А: $\Delta(Z, A) = M_{яд}(Z, A) - A$. Відношення $E_{зв} / A$ тобто середня енергія зв'язку, що припадає на один атом, називається питомою енергією зв'язку, а дефект маси,

віднесений до одного нуклону, $f = \Delta / A$ - упаковочним коефіцієнтом. Відмітимо деякі властивості атомних ядер, встановленні експериментально, і подивимось, які висновки слід зробити з них відносно будови ядра.

. Виявляється, що для стабільних на занадто легких ядер ($A \geq 20$) питома енергія зв'язку в грубому наближенні постійна і становить біля 8 MeV на нуклон. Цей факт свідчить про те, що ядерні сили є короткодійними – їх радіус дії порядку розмірів самих нуклонів і навіть менше. Така особливість ядерних сил проявляється в їх насиченні. В цьому відношенні ядерні сили аналогічні хімічним силам, обумовлюючим валентність хімічних елементів.

Насиченням ядерних сил пояснюється, чому енергія зв'язку не занадто легких стабільних ядер в грубому наближенні пропорційна масовому числу А. Якщо б насичення на було, а кожній нуклон ефективно взаємодіє з іншими А-1 нуклонами, то енергія зв'язку ядра виявилась б пропорційною $A(A-1)/2$, тобто при великих А зростала приблизно другій, а не першій степені А. З насиченням ядерних сил пов'язана і та обставина, що густина ядерної речовини для не занадто легких ядер приблизьмо стала, тобто не залежить від А. Завдяки цьому радіус ядра R

виявляється пропорційний до $A^{1/3}$. Це дає можливість розглядати атомне ядро як краплю нестискуваної рідини, зарядженої додатнім електричним зарядом; таке припущення вводиться в так званій крапельній моделі ядра. Така класична модель представляється найбільш обґрунтованою для ядер з великими масовими числами А

12.2 Коливання поверхні. Поляризаційні коливання.

Будь яке порушення рівноважного стану ядерної речовини приведе до колективних коливань навколо положення рівноваги. Поверхня ядра і його густина можуть бути фіксованими, але якщо ядро поляризується (наприклад, під дією падаючого електромагнітного випромінювання) так, що центр мас протонів зміститься відносно центру нейтронів, то виникнуть нейтрон-протонні поляризаційні коливання навколо рівноважного розподілу протонів і нейтронів в ядрі. Можуть бути також поляризаційні коливання, зв'язані зі збуренням орієнтації спінів нуклонів. Можна прийняти модель в якій нейтрони і протони розглядаються як взаємо проникні стискувані рідини, що знаходяться всередині фіксованої ядерної поверхні. В основному стані обидві рідини рівномірно розподілені по об'єму ядра. Електромагнітне поле порушує цю рівновагу, тому при поглинанні γ -кванту виникають коливання густини нейтронної та протонної рідин (поляризаційні коливання), які на експерименті проявляються як широкі піки (гігантські резонанси) в перерізах фотоядерних реакцій. Коливання рідин відбувається в

протифазі, так що загальна ядерна густина $\rho(r,t) = \rho_p(r,t) + \rho_n(r,t) = \rho_0$ залишається незмінною. Коливання протонної (чи нейтронної) рідини задовольняють

звичайному хвильовому рівнянню гідродинаміки:
$$\Delta \rho_p(r,t) - u_{пол}^2 (\partial^2 \rho_p(r,t) / \partial t^2) = 0$$
 де $u_{пол}$ - швидкість поширення поляризаційних коливань в середовищі. Часова залежність для гармонічних коливань зводиться до рівняння Гельмгольца

$\Delta \rho_p(r) + k^2 \rho_p = 0$ тут $k = \omega / u_{пол} = E / \hbar$ відповідно хвильовий вектор, частота, енергія поляризаційних коливань.

Швидкість поширення поляризаційних коливань рівна $u_{пол} = (b_{пол} / m)^{1/2}$ де m -маса нуклона b -аналог коефіцієнта стиснення для рідин. Будемо вважати, що поляризація відбувається в кожній точці об'єму ядра а також що ядро має фіксовану сферичну форму. Це означає

відсутність потоку нуклонів через поверхню $\partial \rho_p(r) / \partial r |_{r=R} = 0$ де $R = r_0 A^{1/3}$ - радіус ядра.

Загальний розв'язок має вигляд $\Delta \rho_p(r) = const * j_k(k_{n\lambda} * r) * Y_{\lambda\mu}(\Theta, \varphi)$ Де

$j_k(k_{n\lambda} * r)$ - сферичні функції Бесселя, $\lambda = 0, 1, 2, \dots$ характеризують кутовий момент коливань та $\mu = -\lambda, -\lambda+1, \dots, \lambda-1, \lambda$ - проекцію кутового моменту на вісь z. Власні значення вектор $k_{n\lambda}$ - знаходяться з граничної умови відсутності потоку нуклонів (задача пошуку нулів

функції Бесселя) : $\left[\frac{\partial}{\partial r} j_\lambda(k_{n\lambda} * r) \right]_{r=R} = 0$ квантове число $n=0, 1, 2, \dots$ нумерує власні числа

хвильового вектора, відповідні до одного значення λ , в порядку зростання. Найменшу енергію має дипольна поляризаційна мода першого порядку ($\lambda = 1, n=1$), всі інші моди - квадрупольна ($\lambda = 2$), монопольна ($\lambda = 0$), октупольна ($\lambda = 3$), знаходяться значно вище по шкалі енергій. Оціночно енергія дипольного коливання для ядра з $A=100$ рівна 17MeV, Колективні коливання з такою великою енергією можуть існувати лише короткий проміжок часу так як вони швидко затухають, передаючи свою енергію іншим ступеням свободи ядра (в тому числі одночастинковим, що закінчується випусканням нуклонів ядра), Але чим більший час життя т

стану, тим більше відповідно принципу невизначеності, його ширина $\Delta E \sim \hbar / \tau$

тому на експерименті нейтронно-протонні поляризаційні коливання спостерігаються у вигляді широких піків - гігантських резонансів.

12.3 Ангармонічні коливання важких ядер. Ядерний поділ.

Нехай ядро випадковим чином деформується, маємо деформований еліпсоїд який описується поліномом Лежандра $r(\theta) = R(1 + \sum a_n P_n(\cos\theta)) = R(1 + a_0 + a_2 P_2(\cos\theta) + \dots)$ Присутні тільки

парні гармоніки. Об'єм ядра $V = \int_0^{2\pi} \int_0^\pi \int_0^r \sin\theta d\theta d\varphi r^2 = 4\pi/3 * R^3(1 + 3a_0 + \frac{3}{5} a_2^2) = const$ бо не

можливе стиснення п $a_0 = -\frac{1}{5} a_2^2$ лоща ядра $S = 2\pi R^2(1 + 3a_0 + \frac{3}{5} a_2^2) \Rightarrow 2\pi R^2(1 + \frac{1}{5} a_2^2)$

Енергія зв'язку ядра $W = -\bar{c}A + c_s A^{2/3} + c_q \frac{Z^2}{A^{1/3}} + \dots$ де

$c_s A^{2/3} = 4\pi R^2 \sigma = 4\pi R_0^2 A^{2/3} \sigma$ $S\sigma = c_s A^{2/3}(1 + \frac{1}{5} a_2^2)$ Як пов'язана енергія зв'язку з

деформацією $W_q = \sum_{i,q} \frac{e^2}{|r_i - r_j|} = \left\langle \frac{1}{r} \right\rangle Z^2 \frac{e^2}{2} = \left\langle \frac{1}{r} \right\rangle \Big|_{сфера} = \frac{6}{5} \frac{1}{R}$ порухуємо для еліпсоїда

$\left\langle \frac{1}{r} \right\rangle \Big|_{Еліпс} = \frac{6}{5} \frac{1}{R} (1 - \frac{1}{5} a_2^2) \Rightarrow W_q = \frac{6}{5} \frac{1}{R} Z^2 e^2 (1 - \frac{1}{5} a_2^2) = \frac{6}{5} \frac{Z^2 e^2}{R_0 A^{1/3}} (1 - \frac{1}{5} a_2^2)$ Для

деформації ядра $W_{деф} = -\bar{c}A + c_s A^{2/3} (1 - \frac{1}{5} a_2^2) + c_q \frac{Z^2}{A^{1/3}} (1 - \frac{1}{5} a_2^2)$ бачимо що
поверхнева енергія зростає а кулонівська спадає, сумарно як

$W_{деф} - W_{недеф} = -c_s A^{2/3} a_2^2 - c_q \frac{Z^2}{A^{1/3}} \frac{1}{5} = \frac{2c_s a_2^2 A^{2/3}}{5} (1 - \frac{c_q Z^2}{2c_s A})$ що $\frac{Z^2}{A} < 48$ то

$W_{деф} > W_{недеф}$ ядра нестійкі А при $\frac{Z^2}{A} > 48$ ядра стійкі. Наближено

$A \approx (2,0 - 2,5)Z \Rightarrow \frac{Z^2}{A} \rightarrow \frac{A}{4 \dots 6} < 48 \Rightarrow A < 180 - 230$ ядра є стійкими, а вище

нестійкі

13. Оболонкова модель.

Ядрам притаманна певна періодичність, аналогічно періодичності атомів в таблиці Менделєєва. Ядра, що містять магічне число протонів або нейтронів (2, 8, 20, 50, 82 і 126 для нейтронів), і

особливо двічі магічні вирізняються особливою стабільністю. Наприклад для таких ядер як ${}^4_2\text{He}$, ${}^{16}_8\text{O}$, ${}^{40}_{20}\text{Ca}$, ${}^{48}_{20}\text{Ca}$, ${}^{208}_{82}\text{Pb}$ енергія збудження приблизно на порядок більша (~ 1 MeV), ніж для не “магічних” ядер.

Періодичну повторюваність властивостей атомних ядер, немонотонну залежність енергії зв’язку від масового числа та деякі інші експериментальні дані намагається пояснити оболонкова модель ядра. Вона будується по аналогії з теорією періодичної системи хімічних елементів. На перший погляд така аналогія не можлива по таким причинам:

Атом

1. Існує спільний силовий центр (ядро)
2. Електрони взаємодіють між собою слабо в порівнянні з взаємодією з ядром
3. Існує далеко діюче центральне поле (кулонівське)
4. Електрони займають малу частину атома
5. Електрони рухаються майже вільно

Ядро

1. Спільного силового центра немає
2. Нуклони між собою сильно взаємодіють
3. Немає далеко діючого поля, є сукупність локальних парних взаємодій
4. Ядро щільно заповнено нуклонами
5. Вільного руху немає, нуклони наштавхуються один на одного.

Однак слід врахувати такі особливості : по-перше, в не збудженому ядрі нуклони займають всі енергетично найнижчі стани, а принцип Паулі забороняє двом однаковим нуклонам знаходитись в одному і тому ж квантовому стані. При зіткненні двох нуклонів один з них повинен втратити енергію і перейти в енергетично більш низький стан. А такий процес неможливий так, як в ядрі всі такі стани вже зайняті. В результаті, якщо ядро знаходиться в не збудженому стані, то ефективно все це проявляється так, ніби довжина вільного пробігу нуклона в ядрі стала більше і перевищує розміри самого ядра. Тобто можна говорити про незалежний рух нуклонів в ядрі. По-друге, сильна взаємодія між нуклонами і малий радіус дії ядерних сил дозволяють ввести центральносиметричне поле, в якому незалежно рухаються нуклони.

14. Самоузгоджений ядерний потенціал та роль спін-орбітальної взаємодії.

В оболонковій моделі ядра реальні сили, що діють між нуклонами, замінюються самоузгодженим полем, в якому незалежно один від одного рухаються нуклони. Але сили між нуклонами в ядрі

вивчені досить мало, тому самоузгоджене поле в ядрі треба підбирати емпіричним шляхом, так щоб найкращим чином узгодити результати оболонкової моделі з експериментальними даними.

З врахуванням електричної взаємодії між нуклонами, самоузгоджені поля повинні підбиратись окремо для протонів і нейтронів. Але ядерні сили між протонами і нейтронами однакові, а електричне відштовхування між протонами на малих відстанях в сотні разів слабше ядерних сил. Тому в першому наближенні самоузгоджене поле для протонів і нейтронів можна вважати однаковим.

Приблизно, самоузгоджений потенціал являє собою потенціальну яму:

$$U = \begin{cases} U_0, & r \leq R \\ 0, & r > R \end{cases}$$

, тобто задачу нуклонів в ядрі можна розглядати по законам квантової механіки.

Стационарні стани нуклона можна характеризувати 4-ма квантовими числами: головним квантовим числом n , орбітальним квантовим числом l , квантовим числом j повного моменту, квантовим числом m_j , що визначає проекцію повного моменту на вибраний напрямок.

Стан нуклонів в ядрі сильно залежить від орієнтації спінів нуклонів (спін – орбітального зв'язку). Енергія спін – орбітального зв'язку :

$$U_{SL} = -\frac{\hbar^2}{2m^2 c^2 r} \cdot \frac{\partial U_k}{\partial r} \cdot \overline{SL}$$

, а рівняння Шредінгера :

$$-\frac{\hbar^2}{2m} \Delta \Psi + (U_{\text{я}}(r) + U_k(r) + U_{SL}(r)) \Psi = E \Psi$$

де

$$\Psi_{nlj} = \varphi_{nl}(r) \rho_l^m(\cos\theta) e^{im\varphi} = \varphi_{nl}(r) Y_{lm}(\theta, \varphi)$$

15. Пояснення магічних чисел.

Перенабрано чисто из учебника Широков Юдин (надо своїми словами). Оболонкова модель ядра, самий початок.


Група уривней, близьких друг к другу по енергии, називається *оболочкой*. Для перевода нуклона из

одной оболочки в другую требуется довольно большая энергия, существенно превышающая энергии, необходимые для переходов с одного уровня на другой внутри оболочки.

Очевидно, что ядра, у которых все нуклоны хотя бы одного сорта (тут «сорт» это разные нуклоны: протон нейтрон и т.д.) находятся в замкнутых (полностью заполненные оболочки) оболочках, должны обладать повышенной устойчивостью. Такие особо устойчивые ядра действительно существуют. Они получили название магических. Из опытных данных следует, что магическими являются ядра, содержащие 2, 8, 20, 28, 50, 82, 126 нуклонов одного вида, т. е. либо протонов, либо нейтронов. Только что перечисленные числа также называются магическими (магические числа). Ядра, в которых магическим является как число протонов, так и число нейтронов, называются дважды магическими. Таких ядер известно всего пять: ${}^4_2\text{He}$ ($Z=2, N=2$); ${}^{16}_8\text{O}$ ($Z=8, N=8$); ${}^{40}_{20}\text{Ca}$ ($Z=20, N=20$); ${}^{48}_{20}\text{Ca}$ ($Z=20, N=28$); ${}^{208}_{82}\text{Pb}$ ($Z=82, N=126$). Эти ядра особенно устойчивы. В частности, у них первые возбужденные состояния лежат на 1—2 Мэв выше по сравнению с соседними ядрами.

Магические ядра за счет их повышенной устойчивости обладают целым рядом других отличительных свойств. Многие магические ядра более распространены во Вселенной, чем их немагические соседи. Помимо дважды магических ядер (кроме ${}^{48}_{20}\text{Ca}$) свойством повышенной распространенности обладают ${}^{60}_{28}\text{Ni}$ ($Z=28$); ${}^{88}_{38}\text{Sr}$ ($N=50$); ${}^{90}_{40}\text{Zr}$ ($N=50$); ${}^{120}_{50}\text{Sn}$ ($Z=50$); ${}^{138}_{56}\text{Ba}$ ($N=82$); ${}^{140}_{58}\text{Ce}$ ($N=82$). Магические ядра имеют наибольшее число стабильных изотопов и изотонов. Так, наибольшим из всех элементов числом стабильных изотопов обладает олово ($Z=50$). Ядра с магическим N сравнительно слабо поглощают нейтроны. Сечение захвата нейтрона с энергией порядка одного Мэв при $N=50, 82, 126$ меньше на 1—2 порядка, чем на ядрах с близкими значениями N .

16 Узагальнена модель ядра

Опыт показывает, что у  большинства ядер кроме одночастичных степеней свободы, описываемых оболочечной моделью, проявляются также и коллективные степени свободы. Это подтверждается величинами квадрупольных моментов ядер, а

также наличием возбужденных состояний, отвечающих вращательным и колебательным модам коллективных движений в ядре. Кроме того, в эксперименте обнаружилась несогласованность в линиях спектра, вследствие сделанных приближений. Например, нуклон, который двигается по поверхности заполненной оболочки, деформирует потенциальную яму. Центробежная энергия:

$$U = \frac{L^2}{2mR^2} = \frac{\hbar^2 l(l+1)}{2mR^2} = \left| l=1; R=3 \cdot 10^{-13} \text{ см} \right| \frac{10^{-54} \cdot 1 \cdot 2}{2 \cdot 2 \cdot 10^{-24} \cdot 10^{-25}} = 4 \cdot 10^{-6} \text{ эрг} \cdot \frac{1}{1.6 \cdot 10^{-6}} = 2.5 \text{ MeV}$$

- дополнительное давление на стенку ядра;

Так называемая *обобщенная модель ядра* объединяет оболочечную и капельную модели в одну и рассматривает ядро с точки зрения представления о независимости движения отдельных нуклонов в медленно изменяющемся самосогласованном поле. При этом степени свободы, связанные с движением одного или нескольких слабосвязанных нуклонов в самосогласованном поле, учитываются, как в оболочечной модели, а коллективные степени свободы, связанные с изменением формы и ориентации ядра в пространстве, учитываются так же, как в капельной модели.

17-Області проявлення, інтенсивність та основні характеристики гравітаційних та електромагнітних сил, сил слабкої та сильної взаємодії.

Під елементарними частинками розуміють такі мікрочастинки, внутрішню структуру яких на сучасному рівні розвитку фізики не можна представити як об'єднання других частинок. Кожна така частинка веде себе як єдине ціле. Елементарні частинки можуть перетворюватись одна в одну. Зараз відомо чотири види взаємодій між елементарними частинками: 1) Сильна (взагалі-то

ця взаємодія розпадається на дві – сильна і помірно сильна, але це ми розглядати не будемо); 2) Електромагнітна; 3) Слабка; 4) Гравітаційна. Види взаємодій перераховані в порядку спадання інтенсивності.

Сильна взаємодія.

Цей вид взаємодії називають також ядерним, так як він забезпечує зв'язок нуклонів в ядрі.

Інтенсивність взаємодії прийнято характеризувати безрозмірною сталою взаємодії G^2 . Ця ж стала характеризує імовірність процесів, обумовлених даною взаємодією. Для сильних взаємодій

$G^2 = G_S^2 = 1$. Найбільша відстань, на якій проявляється сильна взаємодія (радіус дії r), складає, як ми знаємо, приблизно 10^{-13} см . Частинка, що пролітає із швидкістю, близькою до швидкості світла, в безпосередній близькості до другої частинки, буде взаємодіяти з нею на протязі часу

$$\tau \approx r/c \approx 10^{-13} / 3 \cdot 10^{10} \approx 10^{-23} \text{ сек}$$

. У відповідності з цим кажуть, що сильна взаємодія характеризується часом взаємодії τ_S порядку 10^{-23} сек .

Електромагнітна взаємодія.

Радіус дії електромагнітної взаємодії не обмежений ($r = \infty$). Константа взаємодії рівна

$$G^2 = G_e^2 = \frac{e^2}{\hbar c} = \frac{1}{137}$$

Таким чином, інтенсивність електромагнітної взаємодії приблизно в 100 разів менша ніж сильної. Час, необхідний для того щоб проявилась взаємодія, обернено пропорційний її інтенсивності

$$\tau_e = \tau_S \frac{G_S^2}{G_e^2} \approx 10^{-21} \text{ сек}$$

(або імовірності). Тому для електромагнітної взаємодії

Слабка взаємодія.

Слабка або розпадна взаємодія відповідальна за всі види β -розпадів ядер (включаючи К-захват), за різноманітні розпади елементарних частинок, а також за всі процеси взаємодії нейтрино з речовиною. Слабка взаємодія (так як і сильна) являється короткодіючою. Стала взаємодії $G^2 = G_w^2 = 10^{-14}$.

Таким чином, час взаємодії. $\tau_w = 10^{-9} \text{ сек}$

(Если плохо видно, то индекс при G и при τ - буквочка «омега»).

Гравітаційна взаємодія.

Радіус дії не обмежений ($r = \infty$). Стала взаємодії дуже мала: $G^2 = G_g^2 = 10^{-39}$. Час взаємодії

складає $\tau_g \approx 10^9 \text{ лет}$. Гравітаційна взаємодія є універсальною, їй підкоряються всі без виключення елементарні частинки. Але в процесах мікросвіту гравітаційна взаємодія помітної ролі не відіграє.

Вид Взаємодії	Стала взаємодії G^2	Час взаємодії τ , сек.
Сильна (ядерна)	1	10^{-23}
Електромагнітна	$1/137 \approx 10^{-2}$	10^{-21}
Слабка (розпадна)	10^{-14}	10^{-9}
Гравітаційна	10^{-39}	10^{16} (10^9 лет)

Значення G^2 і τ для різних видів взаємодії представлені в таблиці:

У відповідності з характером взаємодій, в яких вони можуть брати участь, елементарні частинки поділяються на три класи. (Імовірно існує ще один клас частинок – гравітони (кванти гравітаційного поля). Експериментально ці частинки ще не спостерігались).

1. **Фотони**, γ (кванти електромагнітного поля). Ці частинки беруть участь в електромагнітних взаємодіях, але не беруть участі у сильній і слабкій взаємодії.
2. **Лептони** (грецьке слово лептос означає легкий). До них відносяться частинки, для яких НЕ

характерна сильна взаємодія: мюони (μ^-, μ^+), електрони (e^-, e^+), нейтрино ($\nu, \bar{\nu}$)

). Всі лептони мають спін, рівний $\frac{1}{2}$. Такі частинки підкоряються статистиці Фермі-Дірака (що враховує принцип Паулі), внаслідок чого називаються *ферміонами*. Для всіх лептонів характерна слабка взаємодія. Ті з них, які мають електричний заряд (тобто мюони і електрони) – то взаємодія ще й електромагнітна.

3. **Адрони** (грецьке слово адрос – означає крупний, масивний). Цей клас включає в себе всі сильно взаємодіючі частинки. Поряд із сильним для цих частинок характерні слабка і електромагнітна взаємодія. *Адрони поділяються на дві підгрупи: мезони і баріони.*

Мезони – сильно взаємодіючі нестабільні частинки, які не несуть так званого баріонного

заряду. До їх числа належать π - мезони (π^+, π^-, π^0) і К-мезони, або каони (K^+, K^-, K^0, \bar{K}^0).

Маса К-мезонів складає $\sim 970m_e$ ($494MeV$ для заряджених і $498MeV$ для нейтральних К-мезонів). Час життя К-мезонів складає приблизно 10^{-8} сек. Вони розпадаються з утворенням π - мезонів і лептонів, або тільки лептонів. Заряджені π - мезони розпадаються з утворенням лептонів; π^0 - мезон розпадається переважно з утворенням γ -

фотонів. Розпад мезонів (за виключенням π^0 - мезона) відбувається за рахунок слабкої

взаємодії, внаслідок чого вони відрізняються тривалістю життя ($\sim 10^{-8}$ сек), що значно перевищує „ядерні часи” (рос. «ядерные времена»). Розпад π^0 - мезона на γ - фотони визначається не слабкою, а електромагнітною взаємодією (фотони в слабких взаємодіях участі

не беруть). У відповідності з цим час життя π^0 - мезона ($\sim 10^{-16}$ сек) на багато порядків менше, ніж часи життя інших мезонів. На відміну від лептонів для мезонів характерна не тільки слабка (а якщо вони заряджені – то й електромагнітна), але також і сильна взаємодія, яка проявляється при взаємодії їх між собою, а також при взаємодії між мезонами і баріонами. Спін всіх мезонів рівний нулю, так що принцип Паулі на них не розповсюджується. Частинки з цілим (або нульовим) спіном підкоряються статистиці Бозе-Ейнштейна, у зв’язку з чим носять назву *бозони*.

Підгрупа **баріонів** об’єднує в собі нуклони (р, n) і нестабільні частинки з масою, більшою маси нуклонів, які отримали назву *гіперони* ($\Lambda^0, \Sigma^+, \Sigma^-, \Xi^-, \Xi^0, \Xi^+, \Omega^-$). Для всіх баріонів характерна сильна взаємодія, і відповідно, вони активно взаємодіють з атомними ядрами. Спін всіх баріонів рівний $\frac{1}{2}$, так що всі баріони є ферміонами. За виключенням протона, всі баріони нестабільні. При розпаді баріона, поряд із іншими частинками, обов’язково утворюється баріон. (Саме так! Тут нема помилки.) Ця закономірність являється одним із проявів закону збереження баріонного заряду.

Додатково: В останній час виявлено близько 70 короткоживучих частинок, які отримали назву *резонанси*. Ці частинки представляють собою резонансні стани, що утворені двома або більшим числом елементарних частинок. Час життя резонансів складає всього-навсього $\sim 10^{-23} \div 10^{-22}$ сек. Це вказує на те, що розпад резонансів відбувається за рахунок сильної взаємодії. Розпад інших частинок відбувається за рахунок слабкої (іноді - електромагнітної) взаємодії. Тому і час життя їх значно більший.

18 Гіпотетична частинка гравітон

Доподлинно невідомо, що це таке, але згідно Фізичської Енциклопедії

Гравітон – гіпотетична, електрично нейтральна частинка з нульовою масою спокою, квант гравітаційного поля в квантовій теорії гравітації. Свобідний гравітон розповсюджується в вакуумі зі швидкістю світла. В Ньютоновому притяженні між статичними об'єктами вносять вклад віртуальні гравітони. Утворення та поглинання гравітона при зіткненнях частинок

должно стать заметным при энергиях порядка планковской массы $\sim 10^{19}$ ГэВ. Интенсивность таких процессов в доступной области энергий слишком мала для их экспериментального наблюдения.

Гравитон — гипотетическая элементарная частица — переносчик гравитационного взаимодействия без электрического заряда со спином 2 и двумя возможными направлениями поляризации.

Термин «гравитон» был предложен в 1930-х годах, часто приписывается работе 1934 года Д. И. Блохинцева и Ф. М. Гальперина^{[1][2]}.

Гипотеза о существовании гравитонов появилась благодаря успеху квантовой теории поля (особенно Стандартной модели) в моделировании поведения остальных фундаментальных взаимодействий с помощью подобных частиц: фотоны в электромагнитном взаимодействии, глюоны в сильном взаимодействии, W- и Z-бозоны в слабом взаимодействии. Следуя этой аналогии — за гравитационное взаимодействие также может отвечать некая элементарная частица.

Однако попытки расширить Стандартную модель гравитонами сталкиваются с серьёзными теоретическими сложностями в области высоких энергий (равных или превышающих планковскую энергию) из-за расходимостей квантовых эффектов (гравитация не ренормализуется). Решение этого вопроса было мотивом построения нескольких предложенных теорий квантовой гравитации (в частности, одной из попыток является теория струн). Несмотря на отсутствие в настоящее время полноценной теории квантовой гравитации, возможно квантование слабых возмущений заданного гравитационного поля в первом порядке по теории возмущений. В рамках такой линейаризованной теории элементарным возбуждением и является гравитон^[3]. Предполагаемый спин гравитона равен 2 по той причине, что плоская гравитационная волна носит квадрупольный характер, переходя сама в себя при повороте на 180° вокруг оси, параллельной направлению распространения.

19. Фотони та основні процеси квантової електродинаміки.(рос.)

Фотон (от греч. phos, родительный падеж photós – свет), элементарная частица, квант электромагнитного излучения (в узком смысле – света). Масса покоя m_0 Ф. равна нулю (из опытных данных следует, что во всяком случае $m_0 (4 \cdot 10^{-21} m_e$, где m_e – масса электрона), и поэтому его скорость равна скорости света $c \approx 3 \cdot 10^{10}$ см/сек. Спин (собственный момент количества движения) Ф. равен 1 (в единицах $\hbar = h/2\pi$, где $h = 6,624 \cdot 10^{-27}$ эрг·сек – постоянная Планка), и,

следовательно, Φ . относится к бозонам. Частица со спином J и ненулевой массой покоя имеет $2J + 1$ спиновых состояний, различающихся проекцией спина, но в связи с тем, что у Φ . $m_0 = 0$, он может находиться только в двух спиновых состояниях с проекциями спина на направление движения ± 1 ; этому свойству Φ . в классической электродинамике соответствует поперечность электромагнитной волны.

Т. к. не существует системы отсчёта, в которой Φ . покоится, ему нельзя приписать определённой внутренней чётности. По электрической и магнитной мультипольностям системы зарядов ($2l$ -поля; см. Мультиполь), излучившей данный Φ ., различают состояния Φ . электрического и магнитного типа; чётность электрического мультипольного Φ . равна $(-1)^l$, магнитного $(-1)^{l+1}$. Φ . – абсолютно (истинно) нейтральная частица и поэтому обладает определённым значением зарядовой чётности (см. Зарядовое сопряжение), равным -1 . Кроме электромагнитного взаимодействия, Φ . участвует в гравитационном взаимодействии.

Квантовая электродинамика, квантовая теория электромагнитных процессов; наиболее разработанная часть квантовой теории поля. Классическая электродинамика учитывает только непрерывные свойства электромагнитного поля, в основе же К. э. лежит представление о том, что электромагнитное поле обладает также и прерывными (дискретными) свойствами, носителями которых являются кванты поля — фотоны, фотоны обладают нулевой массой покоя, энергией $E = h\nu$ и импульсом $p = (h/2\pi)k$, где h — Планка постоянная, ν — частота электромагнитной волны, k — волновой вектор, ориентированный по направлению распространения волны и имеющий величину $k = 2\pi\nu/c$, c — скорость света. Взаимодействие электромагнитного излучения с заряженными частицами рассматривается в К. э. как поглощение и испускание частицами фотонов.

К. э. количественно объясняет эффекты взаимодействия излучения с веществом (испускание, поглощение и рассеяние), а также последовательно описывает электромагнитные взаимодействия между заряженными частицами. К числу важнейших проблем, которые не нашли объяснения в классической электродинамике, но успешно разрешаются К. э., относятся тепловое излучение тел, рассеяние рентгеновских лучей на свободных (точнее, слабо связанных) электронах (Комптона эффект), излучение и поглощение фотонов атомами и более сложными системами, испускание фотонов при рассеянии быстрых электронов во внешних полях (тормозное излучение) и т.п. К. э. с высокой степенью точности описывает эти явления, а также любые др. явления взаимодействия электромагнитного излучения с электронами и позитронами. Меньший успех теории при рассмотрении др. процессов обусловлен тем, что в этих процессах, кроме электромагнитных взаимодействий, играют определяющую роль и взаимодействия иных типов (сильные взаимодействия, слабые взаимодействия).

Последовательное построение К. э. привело к пересмотру классических представлений о законах движения материи.

20. Властивості ядерних сил: радіус дії та інтенсивність; тензорний та обмінний характер; ізоспінова інваріантність; насичення.(рос.)

Сильные взаимодействия, одно из основных фундаментальных (элементарных) взаимодействий природы (наряду с электромагнитным, гравитационным и слабым взаимодействиями). Частицы, участвующие в С. в., называются адронами

Общие свойства сильных взаимодействий

Короткодействующий характер С. в. Важнейшая особенность С. в. — их короткодействующий характер; как уже отмечалось, они заметно проявляются лишь на расстояниях порядка 10^{-13} см между взаимодействующими адронами, т. е. их радиус действия примерно в 100 000 раз меньше размеров атомов. На таких расстояниях С. в. в 100—1000 раз превышают электромагнитные силы, действующие между заряженными частицами. С увеличением расстояния С. в. быстро (приблизительно экспоненциально) убывают, так что на расстоянии несколько радиусов действия они становятся сравнимыми с электромагнитными взаимодействиями, а на ещё больших расстояниях практически исчезают

Виявляється, що для стабільних на занадто легких ядер ($A \geq 20$) питома енергія зв'язку в грубому наближенні постійна і становить біля 8 МеВ на нуклон. Цей факт свідчить про те, що ядерні сили є короткодійними – їх радіус дії порядку розмірів самих нуклонів і навіть менше. Така особливість ядерних сил проявляється в їх насиченні. В цьому відношенні ядерні сили аналогічні хімічним силам, обумовлюючим валентність хімічних елементів.

Насиченням ядерних сил пояснюється, чому енергія зв'язку не занадто легких стабільних ядер в грубому наближенні пропорційна масовому числу A . Якщо б насичення не було, а кожній нуклон ефективно взаємодіє з іншими $A-1$ нуклонами, то енергія зв'язку ядра виявилась б пропорційною $A(A-1)/2$, тобто при великих A зростала приблизно другій, а не першій степені A . З насиченням ядерних сил пов'язана і та обставина, що густина ядерної речовини для не занадто легких ядер приблизно стала, тобто не залежить від A . Завдяки цьому радіус ядра R виявляється пропорційний до $A^{1/3}$. Це дає можливість розглядати атомне ядро як краплю нестискуваної рідини, зарядженої додатнім електричним зарядом; таке припущення вводиться в так званій крапельній моделі ядра..

21. Електрослабкі сили.

Слабые взаимодействия, один из четырёх типов известных фундаментальных взаимодействий между элементарными частицами (три других типа — электромагнитное, гравитационное и сильное). С. в. гораздо слабее не только сильного, но и электромагнитного взаимодействий, но гораздо сильнее гравитационного.

О силе взаимодействия можно судить по скорости процессов, которые оно вызывает. Обычно сравнивают между собой скорости процессов при энергиях порядка 10^8 — 10^9 эв, которые являются

характерными для физики элементарных частиц, т. к. именно такого порядка массы (выраженные в энергетических единицах) большинства элементарных частиц (например, масса π -мезона $1,4 \cdot 10^8$ эв, масса протона $9,4 \cdot 10^8$ эв). При таких энергиях процесс, обусловленный сильным взаимодействием, происходит за время $\sim 10^{-24}$ сек; за это время сильно взаимодействующая частица (адрон), движущаяся со скоростью порядка скорости света ($3 \cdot 10^{10}$ см/сек), пролетает расстояние порядка своих размеров ($\sim 10^{-13}$ см). Электромагнитный процесс в этих же условиях длится примерно 10^{-21} сек. Характерное же время процессов, происходящих за счёт С. в. («слабых процессов»), гораздо больше: $\sim 10^{-10}$ сек. Так что в мире элементарных частиц слабые процессы протекают чрезвычайно медленно.

Другая характеристика взаимодействия — длина свободного пробега частицы в веществе. Сильно взаимодействующие частицы обычно задерживаются железной плитой толщиной в несколько десятков см. Нейтрино же, обладающее лишь С. в., проходило бы, не испытав ни одного столкновения, через железную плиту толщиной порядка миллиарда км. Ещё более слабым является гравитационное взаимодействие, сила которого при энергии 10^9 эв в 10^{33} раз (на 33 порядка) меньше, чем у С. в. Однако в повседневной жизни роль гравитационного взаимодействия гораздо заметней роли С. в. Это связано с тем, что гравитационное взаимодействие, так же как электромагнитное, имеет бесконечно большой радиус действия; поэтому, например, на тела, находящиеся на поверхности Земли, действует гравитационное притяжение со стороны всех атомов, из которых состоит Земля. Слабое же взаимодействие обладает настолько малым радиусом действия, что величина этого радиуса до сих пор не измерена: она наверняка меньше 10^{-14} см, а возможно, и 10^{-15} см, что на два порядка меньше радиуса сильного взаимодействия. Вследствие этого, например, С. в. между ядрами двух соседних атомов, находящихся на расстоянии 10^{-8} см, совершенно ничтожно.

22. Відкриття мюонів та загальні властивості лептонів.

не может существовать нейтральный мюон.

Лептоны – це частинки, які не приймають в сильній взаємодії і мають спіні $\frac{1}{2}$. До них відносять електрони, мюони, таони та відповідні ним нейтрино. Лептони приймають участь в слабкій взаємодії. За виключенням нейтрино, лептони приймають участь і в електромагнітних взаємодіях. Всі лептони можна віднести до суто елементарних частинок, оскільки у них, на відміну від адронів, не знайдена внутрішня структура.

Існує три види лептонних зарядів: електронний L_e (для e та ν_e), мюоний L_μ (для μ та ν_μ) і таоний L_τ (для τ та ν_τ). Тут ν_e , ν_μ , ν_τ - електронне, мюонне та таонне нейтрино. З досліду слідує, що це різні нейтрино.

За допомогою лептонних зарядів легко інтерпретується встановлений експериментально закон, згідно якого в замкнутій системі при \forall процесах різниця між числом лептонів та антилептонів зберігається (це саме відноситься і до баріонів).

$$L_e = L_\mu = L_\tau = \begin{cases} +1 \text{ для лептонів } (e^-, \nu_e; \mu^-, \nu_\mu; \tau, \nu_\tau) \\ -1 \text{ для антилептонів } (e^+, \tilde{\nu}_e; \mu^+, \tilde{\nu}_\mu; \tau^+, \tilde{\nu}_\tau) \end{cases}$$

Домовились вважати, що

Для всіх інших елементарних частинок лептонні заряди приймаються рівними нулю. Закон збереження лептонного заряду вимагає, щоб при розпаді, наприклад, нейтрона $n \rightarrow p + e^- + \nu_e$ разом з електроном з електроном народжувалося електронне антинейтрино, так як сумарний лептонний заряд цих двох частинок рівний нулю. З формули для розпаду нейтрона слідує, що оскільки протон p - частинка ($B=+1$), то частинкою є й нейтрон n (також $B=+1$). (Тут B - скоріш за все баріонний заряд частинки). Законом збереження лептонного заряду пояснюється неможливість наступних процесів: $\nu_\mu + p \rightarrow e^+ + n$, $\nu_e + p \rightarrow \mu^+ + n$, хоча іншим законам збереження вони дозволені. Процеси $\nu_e + p \rightarrow e^+ + n$, $\nu_\mu + p \rightarrow \mu^+ + n$, що задовільняють закону збереження лептонного заряду, спостерігали експериментально. Ці два приклади показують, що нейтрино (як електронне, так і мюонне) не тотожні своїм античастинкам. Після того, як було встановлено, що ν_e та ν_μ - різні частинки, і були введені різні лептонні заряди L_e та L_μ . Аналогічно було діло і з введенням таонного лептонного заряду L_τ .

Зведена таблиця для лептонів:

Тип	Символ	Маса, MeV	Спін	Час життя, с	Тип взаємодії		
					Сильна	Слабка	Ел.-магнітна
Електрони	β^\pm	0,51		∞	-	+	+
Нейтрино	ν_e, ν_μ	<10eV	1/2	∞	- -	+ +	- -
τ -лептони	τ^\pm	11784		$5 \cdot 10^{-13}$	-	+	+
мюони	μ^\pm	103		$2,2 \cdot 10^{-8}$	-	+	+

23. Відкриття мезонів та нових баріонів, загальні властивості адронів.

Адронами називаються елементарні частинки, що приймають участь в сильних взаємодіях. Як правило, вони приймають участь і в електромагнітній, і в слабкій взаємодії. Ці частинки утворюють найбільш чисельну групу частинок (більше 400). Адрони поділяються на мезони та баріони. Мезони – це адрони з нульовим або цілочисельним спіном (тобто бозони). До них відносяться π -, K - та η -мезони, а також множина мезонних резонансів, тобто мезонів з часом життя $\sim 10^{-23}$ с. Баріони – це адрони з напівцілим спіном (тобто ферміони) і масами, не менше за масу протону. До них відносяться нуклони (протони і нейтрони), гіперони і множина баріонних резонансів. За виключенням протону, всі баріони нестабільні. Нестабільні баріони з масами, більшими за масу протона, і більшим часом життя (порівняно з ядерним $\sim 10^{-23}$ с) називають гіперонами. Це гіперони Λ , Σ , Ξ та Ω . Всі гіперони мають спін $1/2$, за виключенням Ω , спін якого $3/2$. За час $\tau \sim 10^{-10} \div 10^{-19}$ с вони розпадаються на нуклони і легкі частинки (π -мезони, електрони, нейтрино, γ -кванти). Якщо баріонам та антибаріонам приписати баріонний заряд B такий, що

$$B = \begin{cases} +1 \text{ для баріонів (нуклонів та гіперонів)} \\ -1 \text{ для антибаріонів} \end{cases}, \text{ а всім іншим частинкам – баріонний заряд } B=0, \text{ то для всіх}$$

процесів за участю баріонів і антибаріонів сумарний баріонний заряд буде зберігатися. Це є законом збереження баріонного заряду. Згідно цього закону частинки з $B=+1$ або -1 не розпадаються тільки на частинки з $B=0$. Наприклад, протон p не може перетворитися в позитрон e^+ і фотон γ , хоча це не заборонено законами збереження енергії, імпульсу, моменту і електричного заряду. Заборона на це перетворення пов'язана з порушенням закону збереження баріонного заряду B : у протона $B=+1$, а у позитрона та γ -кванта $B=0$. Якби таке перетворення було можливе, то це б обов'язково призвело би до аннігіляції речовини, так як утворені позитрони аннігілювали би з атомними електронами. З цього ж закону слідує, що антибаріон може народжуватися лише в парі зі своїм баріоном. Наприклад, антипротон народжується в реакції $p + p \rightarrow p + p + p + \bar{p}$. Можуть утворюватися і два антипротони, але тоді з'являться і два нових протони.

Радіус дії сильної взаємодії: $\Delta R_{зв} = 2 \cdot 10^{-13}$ см; $\Delta E \Delta t \geq \frac{\hbar}{2}$; $\Delta t \geq \frac{\hbar}{2\Delta E}$; $\Delta R_{MAX} \cong c\Delta t \cong \frac{c\hbar}{2\Delta E}$ - максимальна

відстань, на яку може відійти народжена частинка. Маса такої частинки, яка може забезпечити взаємодію на такій малій відстані, повинна бути $\sim 200m_e$. Таку частинку знайшли в 1947 році, її маса $273m_e$. Повздовжній віртуальний фотон (вздовж напрямку електричного поля) називають π -мезон. Саме вони є квантами „віртуальної шуби” навколо адронів. Вони відповідають за сильну взаємодію. Їх область існування визначається співвідношенням невизначеності. Є три види π -мезонів: π^0 ; π^+ ; π^- . Для них спін 0. Це нестійкі частинки: $\tau_{в \text{ ядрі}} = 2 \cdot 10^{-24}$ с, в вільному просторі $\tau_{\pi^0} = 0,8 \cdot 10^{-16}$ с; $\tau_{\pi^\pm} = 2,6 \cdot 10^{-8}$ с. Можливі реакції: $\pi^+ \rightarrow \mu^+ + \nu_\mu$; $\pi^- \rightarrow \mu^- + \nu_\mu$; $\pi^0 \rightarrow 2\gamma$, де μ^\pm -мюони, $m_\mu = 207m_e$, $\tau_\mu = 2,2 \cdot 10^{-6}$ с; $\mu^+ \rightarrow \beta^+ + \nu + \bar{\nu}$.

Загальна таблиця адронів:

Тип	Символ	Маса, MeV	Спін	Час життя, с	Тип взаємодії		
					Сильна	Слабка	Ел.-магнітна
Мезони							
Піон	π^\pm	140	0	$2,6 \cdot 10^{-8}$	+	+	+
	π^0	135	0	$0,8 \cdot 10^{-16}$	+	+	-
Каон	K^\pm	494	0	10^{-9}	+	+	+
	K^0	498	0	10^{-9}	+	+	-
Омезон	η^\pm	1869	0	10^{-12}	+	+	+
	η^0	1864	0	10^{-12}	+	+	-
Баріони							
протон	p	939,6	$1/2$	$>10^{17}$	+	+	+
нейтрон	n	939,6	$1/2$	10^3	+	+	-
гіперон	Λ^\pm	1115	$1/2$	$2,6 \cdot 10^{-10}$	+	+	-
	Σ^\pm	1180	$1/2$	$0,8 \cdot 10^{-10}$	+	+	+
	Σ^0	1192	$1/2$	$6 \cdot 10^{-25}$	+	+	-

24. Кварковая структура барионов та мезонов, экспериментальные

проявления

К середине шестидесятых годов число обнаруженных сильновзаимодействующих элементарных частиц - адронов перевалило за 100. Возникла уверенность, что наблюдаемые частицы не отражают предельный элементарный уровень материи.

В 1964 году независимо друг от друга **М. Гелл-Манн** и **Д. Цвейг** предложили модель кварков - частиц, из которых могут состоять адроны. Появление такой модели было вполне естественным. Эксперименты по рассеянию электронов на нуклонах показали, что нейтрон и протон в отличие от электрона имеют сложную структуру. Поэтому гипотеза о новых фундаментальных частицах, из которых можно строить адроны, казалась вполне правдоподобной.

Легко видеть, что кварков в составе нуклона должно быть не меньше двух, чтобы из них можно было получить нулевой электрический заряд нейтрона и положительный - протона. Спины у нуклонов $1/2$, следовательно, для того, чтобы получить такие спины, кварков в нуклоне должно быть нечетное число, а спины их полуцелые. Таким образом, в нуклоне должно быть 3 кварка двух типов. Решая несложную систему уравнений для электрических зарядов, получим $q_1 = -1/3$ и $q_2 = +2/3$. Приписав кваркам такие заряды и положив их спины $1/2$, можно описать не только нуклоны и нуклонные резонансы, но и π и ρ -мезоны. Барионы "конструировались" из трех кварков, мезоны "конструировались" из кварка и антикварка.

Все обнаруженные до 1974 г. адроны, в том числе и странные, для которых необходимо было ввести s-кварк, можно было описать, составляя их из кварков всего лишь трех типов - u, d, s. При этом трехкварковая модель адронов казалась достаточно замкнутой - каждой комбинации кварков соответствовала экспериментально наблюдаемая частица, а "лишних" частиц не получалось.

1974 год завершился для физиков сенсацией. Одновременно две группы физиков объявили о наблюдении новой частицы. Теперь ее называют J/ψ . Масса обнаруженной частицы ~ 3.1 ГэВ. Причиной сенсации было необычайно большое время жизни J/ψ . Оказалось, что ее время жизни почти в 1000 раз больше, чем у известных частиц такой массы. Дальнейшие исследования показали, что причиной такого долгожития является то, что в ее состав входит новый неизвестный ранее s-кварк, названный очарованным кварком. Было высказано предположение, что J/ψ это мезон, состоящий из s-кварка и s-антикварка, т.е. это частица со скрытым очарованием. Так же как с s-кварком связано квантовое число s - странность, s-кварк несет новое квантовое число c, названное "очарованием". Очарованный кварк должен породить новое семейство адронов, имеющих в своем составе s-кварк или s-антикварк. Все эти частицы тяжелые, т.к. масса очарованного кварка больше массы странного кварка. Итак кварков стало 4, но на этом открытие новых кварков не завершилось.

В 1977 году были открыты нейтральные мезоны с массами около 10 ГэВ. Они получили название ипсилон-мезонов. Так же как и J/ψ -мезоны они наблюдались в реакции образования мюонных пар в протон-ядерных столкновениях и на электронно-позитронных коллайдерах и также как J/ψ -мезоны они долго живущие (ширина распада γ -мезона 53 кэВ). Это означало открытие пятого кварка b (от beauty). В состав Υ -мезона входят b-кварк и b-антикварк и он обладает скрытой красотой.

После почти двадцатилетних поисков, в 1995 году был открыт шестой, самый "тяжелый" кварк - t-кварк.

Таким образом, на этом этапе развития наших представлений о структуре материи на первый план выходят "новые элементарные частицы" - кварки. Все адроны состоят из шести кварков и есть достаточно серьезные основания считать, что их не должно быть больше.

Адроны подразделяются на **барионы**, имеющие барионный заряд $B = 1$, и **мезоны**, для которых $B = 0$. Барионы состоят из трех кварков. Мезоны - из кварка и антикварка. Барионы являются фермионами (имеют полуцелый спин), мезоны являются бозонами (имеют нулевой или целочисленный спин). Адроны также характеризуются квантовыми числами s (странность), c (очарование), b (красота), t (истина), изоспином I и его третьей проекцией I_3 .

Мезоны и барионы можно образовать из кварков различных типов, составляя их различные комбинации. Например: $\pi^+ (u\bar{d}), \pi^- (d\bar{u}), K(s\bar{d}), p(uud), \Delta^{++} (uuu)$, ит.д.

25. Систематизация лептонов и кварков: поколения, ароматы, цвета.

Фундаментальные частицы можно разбить на два типа - на частицы вещества - фундаментальные фермионы и калибровочные бозоны, переносящие взаимодействия между частицами вещества.

Фундаментальными фермионами - частицами вещества являются кварки и лептоны. Кварки и лептоны являются фермионами и имеют собственный спин $J = 1/2$.

Поколения

В стандартной модели лептоны и кварки группируются в левоспиральные дублеты - поколения. Сегодня известно 3 поколения лептонов и кварков:

	Лептоны	Кварки
1 поколение:	ν_e, e^-	u, d
2 поколение:	ν_μ, μ^-	c, s
3 поколение:	ν_τ, τ^-	t, b

Оценка количества поколений проводилась по времени жизни Z-бозона, т.е. определялось максимальное количество возможных типов нейтрино (а значит и поколений) на которые может распасться Z-бозон, по сечению в максимуме и ширине резонансной кривой e^+e^- аннигиляции в Z-бозон.

Аромат

Кварки имеют внутренние квантовые числа: электрический заряд Q, спин 1/2, четность P, барионное число B, изоспин I, проекцию изоспина I_3 , странность s, шарм c, bottomness b, topness t. Совокупность этих внутренних квантовых чисел, характеризующих определенный тип кварка, называется также "ароматом" кварка.

Характеристика	Тип (аромат) кварка					
	d	u	s	c	b	t
Электрический заряд Q	-1/3	+2/3	-1/3	+2/3	-1/3	+2/3
Барионное число B	1/3	1/3	1/3	1/3	1/3	1/3
Спин J	1/2	1/2	1/2	1/2	1/2	1/2
Четность P	+1	+1	+1	+1	+1	+1
Изоспин I	1/2	1/2	0	0	0	0
Проекция изоспина I_3	-1/2	+1/2	0	0	0	0
Странность s	0	0	-1	0	0	0
Очарование (charm) c	0	0	0	+1	0	0
Красота (bottomness) b или beauty) b	0	0	0	0	-1	0
Верхний (topness) t	0	0	0	0	0	+1
Масса в составе адрона, ГэВ	0.33	0.33	0.51	1.8	5	
Масса "свободного" кварка, ГэВ	0.007	0.005	0.15	1.3	4.1-4.4	174

Цвет

Простейшая кварковая модель столкнулась с нарушением принципа Паули при построении таких

барионов как $\Omega^-(sss), \Delta^{++}(uuu), \Delta^-(ddd)$. Эти барионы состоят из трех тождественных кварков, находящихся в симметричных состояниях по пространственным координатам, спину и аромату (типу кварка). Для того чтобы сохранить принцип Паули, необходимо было ввести для кварков еще одну дополнительную степень свободы. Эта дискретная переменная получила название цвета и приписывается всем кваркам. Цвет имеет 3 возможных значения, обычно это красный (к), синий (с) и зеленый (з). Существует цветовая симметрия сильных взаимодействий. Сильное взаимодействие кварка не зависит от его цветового состояния, т.е. оно одинаково для всех трех цветов. Поскольку адроны состоят из кварков, то структура адронов в основном определяется сильным и электромагнитным взаимодействием кварков

26. Проміжні бозони та уявлення про об'єднану теорію електрослабких сил - квантову ароматодинаміку.

Промежуточные бозоны - частицы со спином единица, заряженные W^\pm и нейтральные Z^0 , являющиеся переносчиками слабого взаимодействия. **Электрослабое взаимодействие** объединяет электромагнитное и слабое взаимодействия в рамках единого описания. Это и закон Кулона, и магнитные явления, и электромагнитные волны (фотоны). Слабые взаимодействия - приводят к распадам многих частиц, и в большинстве подобны электромагнитным взаимодействиям, но приводят к силам, которые в отличие от дальнодействующих кулоновых являются короткодействующими. Короткодействие означает, что частицы, соответствующие полям, осуществляющим перенос взаимодействий, имеют массу не нулевую, как фотоны, а определенную, причем довольно большую. Тогда вместо закона Кулона для потенциала мы имеем

закон Юкавы: $V(r) = -\frac{g^2}{r} e^{i\mu r}$ $\mu = \frac{Mc}{\hbar}$, здесь M - масса частицы и g - соответствующий полю заряд, который несет на себе частица, c - скорость света и \hbar - постоянная Планка. Всего таких массивных частиц имеется три: две электрически заряженные W^+ и W^- и нейтральная Z^0 .

Частицы W^+ , W^- , Z^0 , называемые **промежуточными бозонами**, имеют массы, определённые экспериментально:

Частица	Масса	Спин
w^\pm	80.33 ГэВ	1
z^0	91.19 ГэВ	1

Единица массы, которая здесь использована: ГэВ = 10^9 эВ ☺, а электронвольт (эВ) есть внесистемная единица энергии, равная энергии, приобретаемой одним электроном при прохождении разности потенциалов 1В. Пользуясь знаменитым соотношением $E=mc^2$, мы связываем единицу энергии с массой.

Далее, взаимодействие устроено так, что *нейтральный промежуточный бозон Z^0 может переходить в пары кварк-антикварк и лептон-антилептон*, а эти пары в свою очередь могут

$$Z \rightarrow e^+ e^-, \quad Z \rightarrow \nu_e \bar{\nu}_e, \quad Z \rightarrow \mu^+ \mu^-, \quad \dots$$

$$Z \rightarrow uu, \quad Z \rightarrow dd, \quad Z \rightarrow ss, \quad \dots$$

объединяться в Z^0 . Идут, например, такие процессы:

$$e^+ e^- \rightarrow Z, \quad \nu_e \bar{\nu}_e \rightarrow Z, \quad \mu^+ \mu^- \rightarrow Z, \quad \dots$$

$$uu \rightarrow Z, \quad dd \rightarrow Z, \quad ss \rightarrow Z, \quad \dots \quad (1), \text{ где}$$

многоточием мы обозначили пары других лептонов и кварков которые можно взять из таблицы

$$(2): \begin{pmatrix} \nu_e \\ e \\ \nu_\mu \\ \mu \\ \nu_\tau \\ \tau \end{pmatrix} \begin{pmatrix} u \\ d \\ c \\ s \\ t \\ b \end{pmatrix} \quad (2) \quad (\text{1-ый столбец - лептоны, 2-ой столбец кварки. (РАЗБУПЛЯЛОВО) Лептоны}$$

объединяются в пары. => Заряженному электрону соответствует нейтральная частица нейтрино электронное ν_e , а позитрону - антинейтрино электронное $\bar{\nu}_e$. Таких пар к настоящему времени открыто три (три рядка таблицы): в дополнение к электронной еще мюон μ (который тяжелее электрона в 207 раз) со своим нейтрино ν_μ и тау-лептон τ (в 3478 раз тяжелее электрона) и его нейтрино ν_τ .

Кварки тоже группируются в пары. первая пара кварков: u (заряд $2/3 e$) и d (заряд $-1/3 e$). Следующая пара кварков: c ($2/3 e$) и s ($-1/3 e$). Наконец, существует тяжелый кварк b ($-1/3 e$), возможный партнер которого с зарядом $2/3 e$ был предсказан и назван t -кварком. Почему он был предсказан? Только по аналогии: три пары лептонов - три пары кварков). *Заряженные промежуточные бозоны w^\pm тоже взаимодействуют в обе стороны с парами кварк-антикварк и*

$$\begin{array}{lll}
W^+ \leftrightarrow e^+ \underline{V}_e, & W^+ \leftrightarrow \mu^+ \underline{V}_\mu, & W^+ \leftrightarrow \tau^+ \underline{V}_\tau, \\
W^+ \leftrightarrow \underline{ud}, & W^+ \leftrightarrow \underline{cs}, & W^+ \leftrightarrow \underline{bt}, \\
W^- \leftrightarrow e^- \underline{V}_e, & W^- \leftrightarrow \mu^- \underline{V}_\mu, & W^- \leftrightarrow \tau^- \underline{V}_\tau, \\
W^- \leftrightarrow \underline{ud}, & W^- \leftrightarrow \underline{cs}, & W^- \leftrightarrow \underline{bt},
\end{array} \quad (3)$$

лептон-антилептон, имеющими суммарный заряд $\pm e$:

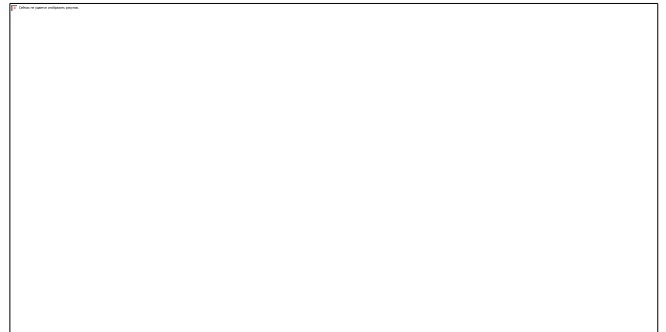
То есть зная набор элементарных частиц (2), можно получить переходы (1) и (3), поскольку нам надо только знать, что в переходах участвуют частицы, принадлежащие некоторой одной паре, и нужно проследить, чтобы сохранялся электрический заряд. (С небольшой интенсивностью возможны переходы между кварками из разных пар, но это исключения.) Электрослабая теория хорошо описала известные факты, но промежуточные бозоны W^\pm и Z^0 пока не были экспериментально зарегистрированы. Для того чтобы породить частицы с такими большими

массами (предсказанная масса W^\pm , например, в 85,5 раз больше массы протона), нужно столкнуть протоны с очень высокой энергией. Таких энергий не было в распоряжении физиков во время создания электрослабой теории. Если, мы устроим столкновение протонного и антипротонного пучков, в каждом из которых энергия частицы равна E , то суммарная энергия

столкновения будет $2E$. С условия $2E > mc^2$ если столкнуть два таких пучка, то может быть

рождена частица с массой m . Рассмотрим процесс $p + \bar{p} \rightarrow W^+ X$ (4) где под X понимается набор всевозможных состояний, например, $\bar{p}n$. (Как в реакции (4) может появиться W^\pm ?) Процесс проиллюстрирован на рисунке:

(Схематическое изображение процесса рождения промежуточного бозона W в протон-антипротонном столкновении. Кварки u и \bar{d} сливаются в W^+). При этом кварк u из протона и антикварк из антипротона сливаются в W^+ согласно одному из элементарных процессов набора (3). Аналогичным образом пары при слиянии, могут дать нейтральный промежуточный бозон Z^0 . (Как увидеть



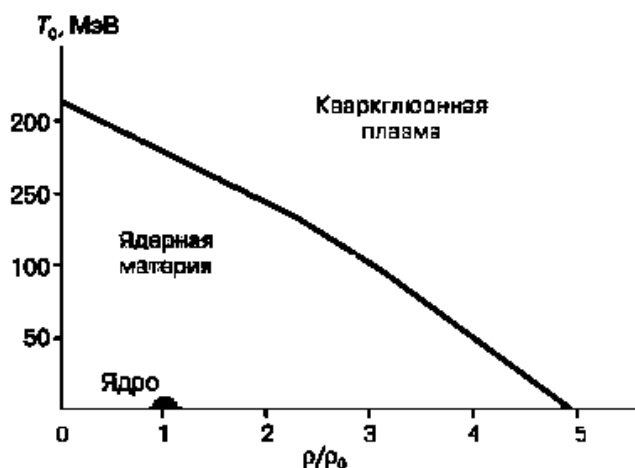
рождение W^\pm или Z^0 ?) Эти частицы за счет переходов (1) и (3) быстро распадаются. Среди

каналов распада W^\pm , согласно (3), есть, например, такие: $W^+ \rightarrow e^+ \underline{V}_e, W^+ \rightarrow \mu^+ \underline{V}_\mu$ (7)

Позитрон или положительно заряженный мюон с высокой эффективностью может быть зарегистрирован экспериментальной аппаратурой, и это будет служить меткой рождения W^\pm . Нейтрино улетают, не оставляя следа, и уносят значительную долю энергии. Что касается Z^0 , то

здесь положение еще лучше. Ведь согласно (3) идут распады $Z \rightarrow e^+ e^-, Z \rightarrow \mu^+ \mu^-$ (5). Таким образом, нужно зарегистрировать пары положительно и отрицательно заряженных лептонов, образующихся в распадах (5). Что и было сделано в 1983 году, и что подтвердило правильность теории.

27. Глюоны, міжкваркові взаємодії та основні ідеї квантової хромодинаміки.



Сама ідея кварків виникла в результаті блискучої спроби класифікувати велику кількість частинок, що беруть участь в сильних взаємодіях і названих адронами. М. Гелл-Ман і Г. Цвейг припустили, що всі адрони складаються з відповідного набору фундаментальних частинок - кварків, їх антикварків і переносчиків сильного взаємодіяння - глюонів. Маса спокою глюонів, як і у фотона, дорівнює нулю. Крім того, глюони електрично нейтральні і не мають слабого заряду. Уже створена теорія, так звані квантова хромодинаміка, яка описує поведінку кваркових систем

в вакуумі. Квантовохромодинамічні розрахунки на якісному рівні, а для деяких випадків на точному кількісному рівні описують експериментальні дані. Згідно з цією теорією, переносчиками сильного взаємодіяння є елементарні частинки - глюони. За сучасними уявленнями частинки, що беруть участь в сильному взаємодіянні і названі адронами, складаються з елементарних частинок - кварків. Кварки представляють собою ферміони зі спіном 1/2 і ненульовою масою. Найбільш дивним властивістю кварків є їх дробний електричний заряд. Кварки формуються в три пари (три покоління дублетів), позначувані

u c t
d s b

таким чином: u, c, t та d, s, b . Кожен тип кварка прийнято називати ароматом, так що існують шість кваркових ароматів. При цьому u -, c -, t -кварки мають електричний заряд

$$\frac{2}{3}|e|, \text{ а } d\text{-, } s\text{-, } b\text{-кварки - електричний заряд } -\frac{1}{3}|e|$$

, де e - заряд електрона. Крім того, існують три кварка даного аромата. Вони відрізняються квантовим числом, звані кольором і приймають три значення: жовтий, синій, червоний. Кожному кварку відповідає антикварк, який по відношенню до даного кварка має протилежний електричний заряд і так зване антикольор: антижовтий, антисиній, античервоний. Приймаючи до уваги кількість ароматів і кольорів, ми бачимо, що всього існують 36 кварків і антикварків. Кварки взаємодіють між собою за допомогою обміну вісьмома глюонами (англійське слово "glue", від якого утворено назва глюонів, має значення "клей", "приклеювати"), які представляють собою безмасові бозони зі спіном 1. В процесі взаємодіяння кольору кварків можуть змінюватися. При цьому сильне взаємодіяння відбувається таким чином: кварк, що входить до складу адрона, випускає глюон, в силу чого стан руху адрона змінюється. Цей глюон поглинається кварком, що входить до складу іншого адрона, і змінює стан його руху. В результаті виникає взаємодія адронів один на одного. Природа устроєна так, що взаємодіяння кварків завжди веде до утворення безкольорових зв'язаних станів, які як раз і є адронами. Відмінна риса кварк-кваркового взаємодіяння через глюони полягає в тому, що з зменшенням відстані між кварками їх взаємодіяння послаблюється. Це явище отримало назву асимптотичної свободи і веде до того, що всередині адронів кварки можна розглядати як вільні частинки. Асимптотична свобода природним чином випливає з квантової хромодинаміки. Існують експериментальні і теоретичні вказівки на те, що з зростанням відстані взаємодіяння між кварками повинно зростати, в силу чого кваркам енергетично вигідно знаходитися всередині адрона. Це означає, що ми можемо спостерігати тільки безкольорові об'єкти - адрони. Одинокі кварки і глюони, які мають кольором, не можуть існувати в вільному стані. Явище утримання елементарних частинок, які мають кольором, всередині адронів отримало назву конфайнменту. Для пояснення конфайнменту пропонувалися різні моделі, однак послідовне описання, що випливає з перших принципів теорії, до сих пор не побудовано. Трудності пов'язані

с тем, что, обладая цветом, глюоны взаимодействуют со всеми цветными объектами, в том числе и друг с другом. По этой причине квантовая хромодинамика является существенно нелинейной теорией и приближенные методы исследования, принятые в квантовой электродинамике и электрослабой теории, оказываются не вполне адекватными в теории сильных взаимодействий. Кварк-глюонная плазма. Квантовохромодинамические расчеты показывают, что при определенных температурах и плотностях ядерного вещества оно может перейти в новое состояние - кварк-глюонную плазму. Рис. 5 иллюстрирует ожидание. Здесь по оси ординат отложена температура, а по оси абсцисс - плотность, нормированная на плотность ядер, так что точка на оси

$$\frac{\rho}{\rho_0} = 1$$

абсцисс при ρ_0 обозначает место, где находятся обычные ядра. Жирная линия - область перехода ядерного вещества в кварк-глюонную плазму.

28. Проблема конфаймента та проявлення кварк-глюонної структури адронів у процесах глибокого непружного розсіювання лептонів; адронні струмені.

	q, e	$m, \text{MeV} (c^2)$	S
u (up, верхній)	$+2/3$	5	$h/2$
d (down, нижній)	$-1/3$	7,5	$h/2$
s (strange, дивний)	$-1/3$	150	$h/2$
c (charm, чарм-кварк)	$+2/3$	1200	$h/2$
b (beauty, б'юти-кварк)	$-1/3$	5000	$h/2$
t (truth, істинний)	$+2/3$	40000	$h/2$

принцип: кварки у вільному стані спостерігати неможливо.

$\pi^+ (u\bar{d})$, $\pi^0 (\frac{1}{\sqrt{2}}(u\bar{u} - d\bar{d}))$, $\pi^- (\bar{u}d)$ маса-однотипна величина. Виміряти реально неможливо!

1964р - експеримент (бомбардування водню електронами великої енергії) - по відтворенні кутові діаграми можна дізнатись про структуру (в водні дають протон, але при вел. енергії з'являються елементи).



$p(uud)$ $n(udd)$
 $\Sigma^+(uus)$ $\Sigma^+(dds)$

Кварки та антикварки з'єднуються між собою шнурками (одні голки), але певної антигої немає.

Проблема: при взаємодії кварки можуть тільки переходити з одних каналів в інші, відірвати неможливо (розміри кварків 10^{-16} см), кварки не можна розділити.

Проводили опыты по прямому просвечиванию нуклонов и др. адронов высокоэнергетическими электронами, происходящий при этом процесс назыв. глубоконеупругим рассеянием. Теоретический анализ его привел к заключению, что внутр. адронов электроны рассеиваются на точечных частицах с зарядами $+2/3$, $-1/3$ и спином $1/2$. На этих частицах электроны резко меняют свои импульсы и энергии, сообщая их кварку. О конечных размерах кварков эти опыты ничего не говорят. Следует только, что на расстояниях от силового центра больше чем 10^{-15} см кварки ведут себя еще как бесструктурные точечные частицы. Проводились многочисленные поиски свободных кварков, проводились опыты по их обнаружению, но никому не улыбнулась удача. Сейчас почти все считают, что кварки в свободном состоянии не существуют. Кварковая модель предполагает, что кварки внутр. адрона существуют, но вылететь отуда не могут. Такое положение назыв. «конфаймент». Кварк, получивший энергию, не вылетает из адрона, а растрчивает её на образование кварк-антикварковых пар, т. е. на образование новых адронов (в основном мезонов). Возможно одной из причин ненаблюдаемости являются их большие массы, и при тех энергиях, которые сейчас достигаются в ускорителях, не возможно рождение свободного кварка. Может быть, что в свободном состоянии кварки принципиально не могут быть из-за больших сил взаимодействия между кварками, которые не ослабевают с расстоянием.

29. Природна та штучна радіоактивність, закон радіоактивного розпаду.

Радіоактивність (дальше Р) є самопроизвольне змінення складу атомного ядра, що відбувається за час, суттєво більший характерного ядерного часу (10^{-22}). Час 10^{-12} с вважається досить великим в ядерних масштабах, за такий час може статися велика кількість ядерних процесів і після якогось часу ядром можна вважати повністю сформованим. Ядра, що підлягають радіоактивним перетворенням, називаються радіоактивними, а інші – стабільними. Розрізняють наступні види радіоактивності: 1) α - розпад 2) β - розпад 3) – спонтанне ділення атомного ядра, 4) протонний розпад 5) двупротонний розпад і др. 1, 2 – процеси описані в 30 шпоре, по відношенню до спонтанного розпаду

можна привести лише приклад такого розпаду: ${}_{92}^{238}\text{U} \rightarrow {}_{54}^{139}\text{Xe} + {}_{38}^{96}\text{Sr} + 3{}_0^1n$ У ядер з великим надлишком протонів, в принципі можлива протонна і навіть двупротонна Р. У великих ядер вона спостерігається найчастіше, однак її важко зафіксувати на фоні конкуруючої альфа і бета Р. У штучних легких ядер з відносно малим часом життя ета Р краще. *Природна радіоактивність* – найпростіша. Ч-ки вітають з ядер без зовнішнього впливу.

$\alpha, \beta, \gamma, W, p, A$ - основні канали радіоактивності. (А- розвал ядра на фрагменти).

Радіоактивний розпад – явище статистичне, всі передположення, які можуть бути зроблені на основі законів радіоактивного розпаду можуть бути тільки ймовірнісними. Ймовірність розпаду ядра за одиницю часу називається *постійною розпаду* λ Р ядер даного сорту. Це означає, що

з N існуючих радіоактивних ядер за одиницю часу розпадеться λN а за час

$dt - \lambda N dt$ ядер. Величина λN називається *активністю* радіоактивного джерела. Ед Изм. *Кюри (Ки)*. $1\text{Ки} = 3,700 \cdot 10^{10}$ расп/с. Ед 1 расп/с – 1 беккерель (Бк) є ще 1 резерфорд (Рд) = 10^6 Бк. На радіоактивний розпад не впливають зовнішні джерела темп, тиск, хімічні реакції. Не вдалося виявити залежності від зовнішніх джерел постійного розпаду. *Основний закон радіоактивного розпаду* – нехай N - кількість (дуже велика) радіоактивних ядер в момент

часу t , а $N + dN$ - в більш пізній момент $t + dt$. Величина dN - від'ємна оскільки

можуть тільки розпадатися. На основі викладеного отримуємо: $dN = -\lambda N dt; N = N_0 e^{-\lambda t}$ N_0 -

кількість нерозпавшихся ядер. Постійну розпаду можна виразити через *середній час життя* Р ядра так як за проміжок часу між t і $t + dt$ розпадається dN ядер, то можна вважати що кожне з них живе час t Сумарний час життя цих dN ядер становить $t dN$, а сумарний час життя всіх ядер вважаємо інтегралом:

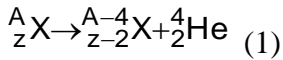
$$-\int_{N_0}^0 t dN = \lambda \int_0^\infty t N dt = \lambda N_0 \int_0^\infty t e^{-\lambda t} dt = \frac{N_0}{\lambda}$$

Таким чином час життя одного Р ядра буде

рівно $\tau = 1/\lambda$ *Період напіврозпаду* $T_{1/2} = \tau \ln 2 = 0.693 \tau$

30.1. Альфа-распад. Спектры альфа частинок.

Явление альфа-распада состоит в том, что тяжелые ядра самопроизвольно испускают альфа-частицы (ядра ${}^4_2\text{He}$). При этом массовое число ядра уменьшается на 4, а атомный номер – на 2:



Исходное ядро часто называют материнским, получившееся дочерним. Основные характеристики – а) область ядер, у которых наблюдается распад; б) период полураспада; в) энергии вылетающих альфа частиц.

А) $Z > 83$ (тяжелые ядра), а также группа ядер с $A = 140-160$ (область редких земель)

Б) период полураспада альфа активных ядер варьируется в широких пределах ($1.4 \cdot 10^{17}$ лет - 10(-6)сек). Энергии вылетающих альфа-частиц 2-4МеВ(тяж. ядра) 2-4,5МеВ(область редких земель).

Очень сильная зависимость периода полураспада от энергии вылетающих частиц. Закон Гейга-Неттола:

$$\log(T_{1/2}) = C + D/\sqrt{E} \quad (2)$$

C, D – константы, не зависящие от A и слабо зависящие от Z. Закон (2) эмпирический.

В) Альфа частицы, вылетающие из ядер определенного сорта, как правило, имеют одну и ту же

определенную энергию. Более точные измерения показывают что спектр вылетающих α - частиц обычно имеет тонкую структуру(состоит из нескольких близких друг к другу энергий). Распад идет по exp (процесс эр годичный - независимый, недетерминированный):

$$N(t) = N(0) \exp(-\lambda t) \quad \text{где } \lambda \text{ - постоянная распада}$$

В силу однородности времени $\Delta N \sim -\lambda N \Delta t$

$$T = (\ln 2) / \lambda \quad \text{-период полураспада.}$$

$$A = \lambda N = \left| \frac{dN}{dt} \right| \quad \text{- Активность источника}$$

$A = [\text{Бк-бекерель}] - 1 \text{ распад/сек}$, $A = [\text{К - кюри}] - 3,7 \cdot 10^{10} \text{ распад/сек}$

Теория альфа-распада

Базируется на прохождении через потенц. барьер – квантовое тунелирование.

Распад является выгодным, когда энергия материнского ядра $>$ энергии образовавшихся частиц.

$$E_\alpha = M(z, A)c^2 - M(z-2, A-4)c^2 - M(2,4)c^2 > 0$$

Це спонтанне тунелювання конгломерату з $n=2$, $p=2$ з ядра. Не отдельный вылет n и p .

Вероятность пройти α через барьер:

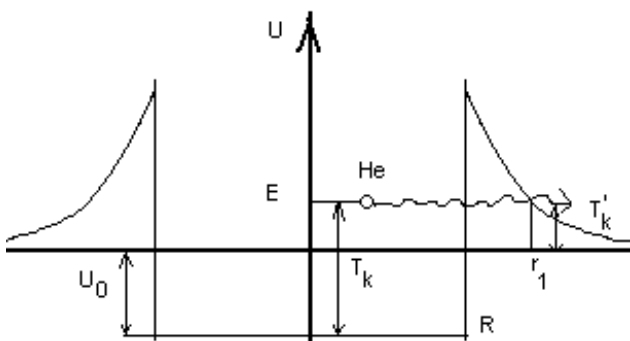
$$P = A \exp\left(-\frac{2}{\hbar} \int_R^{r_1} \sqrt{2M_\alpha (U(r) - E_\alpha)} dr\right)$$

Постоянная распада пропорциональна P. Особенностью этой формулы является то, что в знаменателе exp стоит \hbar (очень малая величина),

что объясняет сильную зависимость периода полураспада от энергии.

$A = \text{const}$ – количество ударов частицы с барьером. При каждом таком ударе альфа частица с вероятностью P покидает ядро

$$A = v_0 / (2R) = 2\omega_0 \quad \omega_0 \text{ – частота стычек. (Грубая оценка – предполагаем, что альфа-частица в ядре имеет скорость } v_0)$$



$$U(r) = \frac{(z-2) \cdot e \cdot 2e}{r} = \frac{2(z-2)e^2}{r} \quad \text{- потенциальный барьер для частиц.}$$

$$E_\alpha = \frac{2(z-2)e^2}{r_1} \quad \text{- энергия, с которой частица покидает ядро.}$$

$$P = \frac{v_0}{2R} \exp\left(-\frac{2}{\hbar} \int_R^{r_1} \sqrt{2M_\alpha E_\alpha \left(\frac{r_1}{r} - 1\right)} dr\right) = \frac{v_0}{2R} \exp\left(-\frac{4(z-2)}{\hbar v} (\pi - 2\varphi_0 - \sin(2\varphi_0))\right)$$

$$\sin(2\varphi_0) = \sqrt{\frac{E_\alpha}{2(z-2)e^2}} \ll 1$$

где v_0 – скорость альфа- частицы в середине ядра, v – средняя асимптотическая скорость частицы при вылете.

$$v = \sqrt{2E_\alpha / M_\alpha} \quad \text{скорость, с которой частица покидает яму ядра.}$$

$$U(R) = 2(z-2)e^2 / R = 60 \text{ MeV} !!! \quad P \approx \frac{v_0}{2R} \exp\left(-\frac{4(z-2)e^2}{\hbar v} \pi\right) \quad \text{при} \quad \sin(\varphi_0) \approx \varphi_0$$

$$v_0 = \sqrt{2U_0 / E_\alpha} \approx 4 * 10^9 \text{ cm / c} \quad \text{где } U_0 \text{ – глубина пот ямы.} \quad v_0 / (2R) = 10^{22} \text{ c}^{-1} \quad \text{но}$$

вероятность выйти мала. Для $Z=80$ $v = \sqrt{2E / M} \approx 10^9 \text{ cm / c}; \quad E = 2 \text{ MeV}$

$P = [1/c] = 4 * 10^{21} \exp(\dots) \approx 4 * 10^{-69} \text{ c}^{-1}$ Для $P = 8 \text{ MeV}$ $P = 4 * 10^{-24} \text{ c}^{-1}$ - то есть вероятность увеличивается быстрее. Почему вылетает He^{2+} , а не отдельно $2p$ и $2n$? Потому что отдельно нейтрон забирал бы с собой большую энергию связи.

Чистых ядер почти нет, электроны экранируют. Кулоновский потенциал:



$$\frac{z_1 z_2 e^2}{r} = U_k(r) \quad U_{ek}(r) = \frac{z_1 z_2 e^2}{r} e^{-r/a}$$

Введение экранирования показывает, что при тунелировании часть имеет дополнительную энергию.

$$E_{eff} = \frac{z_1 z_2 e^2}{r_2}; \quad E = \frac{z_1 z_2 e^2}{r_1} = \frac{z_1 z_2 e^2}{r_2} e^{-r_2/a} \quad \text{- надо}$$

выразить $z_1 z_2 e^2$ и подставить в E_{eff}

$$E_{eff} = E \frac{r_2}{r_1} e^{r_2/a}, \quad \frac{E_{eff}}{E} = e^{r_2/a} > 1$$

Если мы б смогли сжать электронную плотность

(вырожденный Ферми газ: коллективные электроны), то все ядра распадались за считанные секунды. Единственный способ управления α -распадом и изменение электронной плотности.

Спектр альфа-частиц

Резкая зависимость вероятности альфа-распада от энергии приводит к тому, что распады на возбужденные уровни дочернего ядра идут с очень низкой интенсивностью. Экспериментально удается наблюдать только распады на вращательные уровни, имеющие относительно низкие энергии возбуждения.

30.2 Бета-перетоврення. Електронний та позитронний розпади.

Електронне та нейтрінне захоплення.

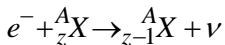
Явление бета-распада состоит в том, что ядро самопроизвольно испускает электрон e^- и легчайшую электрически нейтральную частицу антинейтрино $\tilde{\nu}$, переходя при этом в ядро с тем же массовым числом A , но с атомным номером A на единицу большим:



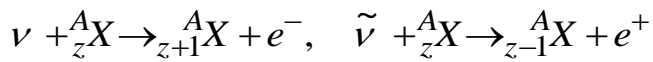
Тем самым при бета-распаде один из нейтронов ядра превращается в протон. Другим видом бета-распада является процесс, в котором ядро испускает позитрон e^+ и нейтрино ν . При этом один из протонов ядра превращается в нейтрон:



В бета-распадные явления входит также электронный захват (К-захват) – ядро поглощает один из электронов атомной оболочки (обычно из К-оболочки) испуская нейтрино. При этом один из протонов превращается в нейтрон:



Родственными бета-распаду являются процессы взаимодействия нейтрино и антинейтрино с ядрами:



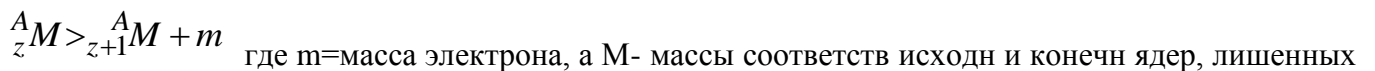
Главной особенностью бета распада является то, что он обусловлен не ядерными и не электромагнитными силами, а слабыми взаимодействиями. За счет того, что интенсивность слабых взаимодействий на 24 порядка меньше ядерных, периоды полураспада бета-активных ядер в среднем имеют порядок минут и часов.

Бета-распад - процесс не внутриядерный, а внутринуклонный. В ядре распадается одиночный нуклон. Это видно из того, что бета-активным является свободный нейтрон:

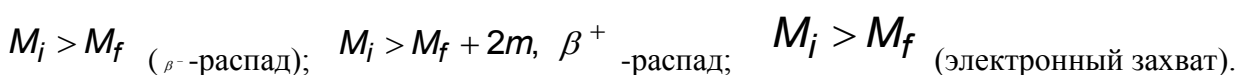


одиночный протон: $p \rightarrow n + e^+ + \nu$ Длина свободного пробега нейтрино 10^{21} см (пронизывает звезды). Для того чтобы выполнялись законы сохранения энергии и момента ядро при бета-распаде должно перестраиваться. Поэтому период, а также другие характеристики бета-распада в сильнейшей степени зависят от того, насколько сложна эта перестройка. В результате периоды бета распада варьируются в столь же широких пределах, как и периоды альфа-распада.

Бета-активные ядра имеются во всей области значений массового числа A . Электронный захват имеет особенно существенное значение в случаи тяжелых ядер, у которых К-слой расположен близко к ядру. Можно сказать, что в этом случае у электрона К-слоя есть конечная вероятность находится внутри ядра. Электронный захват всегда сопровождается рентгеновским излучением. Допустим, что был захвачен электрон из К-слоя. На свободн место в К-слое переходит эл из L-слоя ... В результате возбуждается весь спектр характеристического рентгеновского излучения атома. Рассмотрим баланс энергии при бета-распаде. Сейчас считается, что масса покоя нейтрино и антинейтрино равна нулю. Поэтому бета распад разрешен энергетически если



своих электронных оболочек. В справочных таблицах приводятся массы атомов (M_f, M_i - массы соответственно исходного и конечного атомов):



30.3 Проблема массы нейтрино

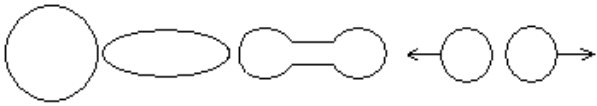
Нейтрино (антинейтрино) образуется при распаде нейтрона на протон и электрон (см выше). Эта частица имеет нулевой заряд и очень малую массу (по словам Высоцкого еще не доказано имеет ли она массу покоя).

Цитата из Шаримов, Юдин “Ядерная физика”:

Была выдвинута гипотеза двухкомпонентного нейтрино, согласно которой масса покоя нейтрино строго равна нулю. Поясним эту гипотезу. Допустим, что у какой то частицы спин направлен точно по импульсу. Если масса покоя такой частицы не ноль, то ее скорость меньше скорости света. При этом в системе координат, движущейся быстрее частицы, импульс имеет свое направление и спин станет направлен не по импульсу, а против него. Поэтому у частицы со спином $\frac{1}{2}$ и ненулевой массой должно быть два различных поляризационных состояния (спин по импульсу и против импульса).

Если, однако, масса покоя частицы равна нулю, то знак проекции спина на импульс становится инвариантным (одинаковым во всех движущихся относительно друг друга системах координат). Знак проекции спина на импульс можно изменить с помощью зеркального отражения. В теории двухкомпонентного нейтрино делается возможное только при нулевой массе покоя допущение о том, что при зеркальном отражении нейтрино переходит в антинейтрино. Экспериментальные данные указывают на то, что у нейтрино спин направлен против импульса, а у антинейтрино – по импульсу. Гипотеза двухкомпонентного нейтрино согласуется с имеющейся на данный момент (1972г) совокупностью экспериментальных данных.

31.0 Розпад ядер з точки зору деформації ядерної матерії.



Збудимо сферичне ядро => коливання ядерної матерії => видовження => перетяжка, енергетично вигідно перетяжку розірвати => 2 ядра. Основні

механізми взаємодії: 1) з-н електростат. енергетично вигідних процесів 2) збільшення еф-на повня => це енергетично не вигідно => протиріччя факторів. Який з цих процесів стає більш ефективним. Нехай ядро випадковим чином деформується => поліном

испускание γ -лучей есть внутреядерный, а не внутринуклонный процесс. Возбуждённые ядра образуются при β -распаде в тех случаях, когда распад материнского ядра в основное состояние дочернего ядра оказывается запрещённым. Дочернее ядро в этом случае может получиться как в нижнем так и в одном из верхних возбуждённых состояний. В последнем случае происходит каскадный процесс переходов через несколько возбуждённых состояний. Возбуждённые ядра,

способные к γ -распаду, могут возникать также и в результате предшествующего α -распада. Однако Γ -кванты, испускаемые таким путём, обычно обладают невысокими энергиями

$\leq 0,5 \text{ MeV}$. Это связано с тем что для испускания γ -квантов высоких энергий материнские ядра

должны испускать α -частицы с такой же высокой энергией. Энергия α -частицы должна быть достаточной не только для преодоления потенциального барьера, но и для сильного

возбуждения, возникающего дочернего ядра. Энергия γ -квантов после β -распада ядер может

достигать 2,5 MeV. Процесс который может произойти вместо γ -излучения – энергия от возбуждённого ядра передаётся электрону, этот конкурирующий процесс называется *внутренней конверсией* электронов

31. у-випромінювання ядер.

γ - промінь ядра

(випромінювання короткого діапазону, внаслідок релаксації ядерних рівнів) (по діапазону - не можна відрізнити гамма від рентгенівського), тому дивитись по походженню.

- пеняні випромінювання - дипольні переходи (є внутрішні дипольні переходи)
- γ -випромінювання - дипольні переходи (в атомах - тільки дипольні)



(це означає \uparrow в 3-5 порядків) ядра замкнені оболонками, якщо з'явиться щось велике, то вийде стільки квантів.

Дипольні переходи

$\Delta E \pm 1, \Delta l \pm 1$

Квадрупольні, шестипольні

$\Delta l = 0, \pm 2, \pm 4, \Delta m = 0, \pm 1, \pm 2, \pm 3, \pm 4$

Остаточні переходи

$E_3, M_2, \Delta l = \pm 1, \pm 3, \Delta m = 0, \pm 1, \pm 2, \pm 3$

$E_4, M_3, \Delta l = \dots \pm 4, \Delta m = \pm 4$
 $E_5, M_4, \Delta l = \dots \pm 5, \Delta m = \pm 5$

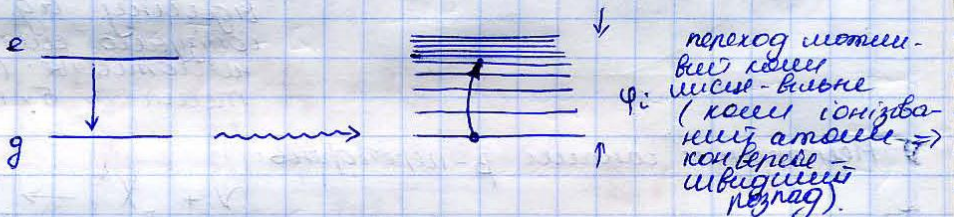
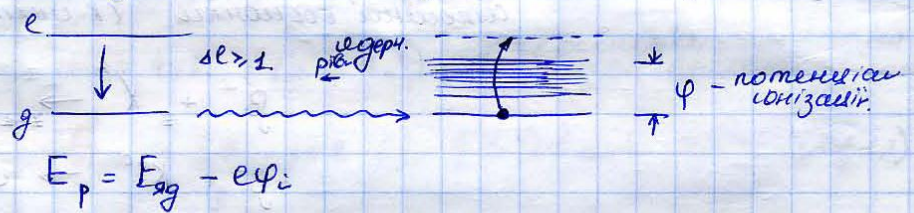
зміна дипольності на одиницю це та ж зміна на 4-5 порядків.

$1/\tau = 4\omega^3 |d_{eg}|^2 / 3\hbar c^3$

$|d_{eg}| \Rightarrow |Q_{eg}| = \frac{6\pi(\nu+1)}{c^3} \left(\frac{\omega_{eg}}{c}\right)^{2\nu-2}$

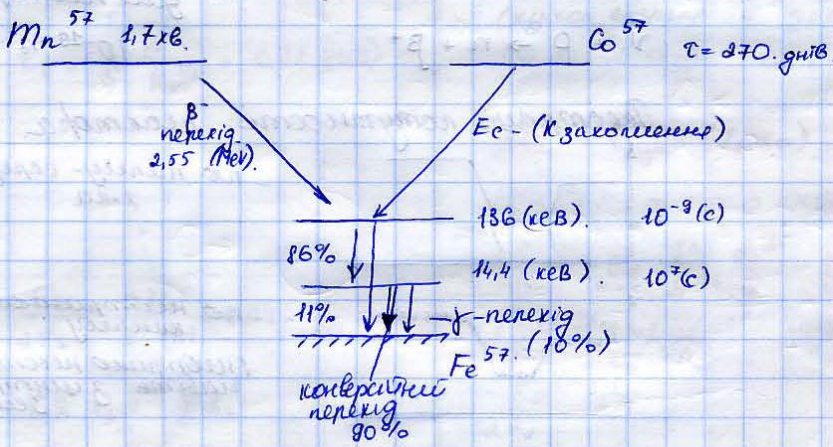
Промінь через канал внутрішньоелектронної конверсії

Електронна конверсія:



Приклад:

можна змінити час життя на 6 порядків. Це один вилів!



В конкретних ядерних переходах - швидкий атом різних типів промінь (переходів) β, α, γ

- дуже важливі типи промінь (додають новітні аспекти хімічного аналізу) (конверсійний метод по структурі твердих тіл спектроскопія)

32. Ядерна ізомерія, внутрішня конверсія

Збуджене ядро може перейти в основний стан не тільки випускаючи γ квант, а й шляхом безпосередньої передачі енергії збудження одному із електронів атомних оболонок (К, L, M і т.д.). Цей процес, який конкурує з гама випроміненням називається *внутрішньою конверсією електронів*, а самі електрони – *електронами внутрішньої конверсії*. Внутрішня конверсія може конкурувати з гама випроміненням, але вона може існувати і без нього. Відношення середнього числа електронів внутрішньої конверсії до середньої кількості випромінюваних гама квантів називається *коефіцієнтом внутрішньої конверсії (КВК)* переходу. КВК залежить від енергії та мультипольності переходу. Тому, вимірюючи КВК, можна встановити мультипольність і, таким чином, спін збудженого ядра. Енергія електрона внутрішньої конверсії визнач. виразом:

$E_e = E - \varepsilon$, де E - енергія, що вивільняється при ядерному переході, а ε - енергія зв'язку електрона в ел. оболонці. Очевидно, що електрони внутрішньої конверсії моноенергетичні. Це і дозволяє їх відрізнити від електронів β -розпаду, спектр яких неперервний. Внутрішня конверсія супроводжується рентгенівським випроміненням, яке виникає внаслідок переходів електронів з зовнішніх орбіт на вивільнені місця на внутрішніх орбітах. В результаті конверсії можуть з'явитися і Оже електрони. Якщо значення енергії ε перевищує подвоєну власну енергію електрона

$E > 2mc^2 = 1,02MeV$, то може виникати процес парної конверсії, при якому ядро втрачає енергію шляхом одночасного випускання електрона і позитрона. Електронна оболонка не впливає на такий процес. Однак ймовірність такого процесу не перевищує тисячної долі ймовірності випускання гама кванта

Середній час гама активних ядер невеликий ($10^{-7} - 10^{-11}c$). Однак якщо у атома великий ступінь заборони та мала відстань між енергетичними рівнями, то можуть виникати довго живучі чи метастабільні гама активні ядра з часом життя порядку години а то і більше. Такі метастабільні ядра називаються *ізомерами*. Часто ізомерний рівень має спін, який сильно відрізняється від спінів нижчележачих рівнів і характеризується низькою енергією збудження. Цій умові відповідають значення Z та N , які лежать безпосередньо перед магнітними числами 50, 82 та 126 зі сторони менших Z та N . Як правило ізомерні стани співпадають із першим збудженим станом ядра. Відомо близько 100 довгоживучих ядер. Найбільше число ізомерних станів зустрічається у ядер з непарним масовим числом A .

33. Ефект Мессбауера

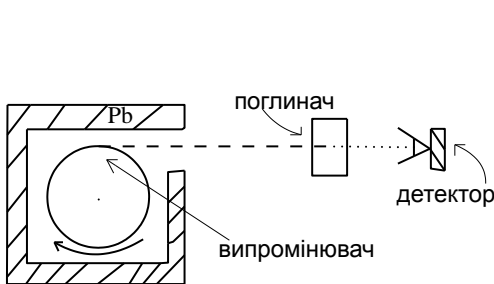
Резонансне поглинання гама – променів отримало таку назву. Це явище аналогічне *оптичній резонансній флуоресценції*. Воно полягає у тому, що якщо збуджений атом (чи ядро) випромінює фотон, то інший такий само, але не збуджений атом (чи ядро) здатний з великою ймовірністю його поглинути. В процесі випусканні гама квантів (фотонів) енергія збудженого ядра передається не тільки гама – кванту, але і самому ядру у вигляді кінетичної енергії поступального руху. Тому, якщо обидва ядра знаходяться у стані спокою, то енергії випроміненого кванта буде не достатньо для того, щоб збудити ядро. Аналогічно необхідна додаткова енергія для процесу поглинання.

$$0 = \hbar\omega/c - MV$$

Запишемо закони збереження імпульсу та енергії: $E_2 = E_1 + \hbar\omega + MV^2/2$ - частота яка випромінюється, E_2 та E_1 енергетичні стани випромінювача відповідно до і після випром. M –

маса ядра, V - швидкість випромінювача. Звідки $\hbar\Omega = E_2 - E_1 = \hbar\omega + \frac{\hbar^2\omega^2}{2Mc^2}$; Ω - частота переходу.

$$(\hbar\omega)^2 + 2Mc^2\hbar\omega - 2Mc^2\hbar\Omega = 0 \quad \text{звідки} \quad \hbar\omega = -Mc^2 \pm Mc^2 \sqrt{1 + 2\frac{\hbar\Omega}{Mc^2}} \approx -Mc^2 \pm Mc^2 \left(1 + \frac{\hbar\Omega}{Mc^2} - \frac{(\hbar\Omega)^2}{(Mc^2)^2} \right)$$



Беремо „+“: $\hbar\omega = \hbar\Omega - \frac{(\hbar\Omega)^2}{Mc^2}$ Другий доданок відповідає за енергію віддачі. Таким чином частоти випромінення та поглинання запишуться у вигляді:

$$\omega_{\text{випр., погл}} = \hbar\Omega \pm \frac{\hbar\Omega^2}{2Mc^2}$$

Останній доданок – частота розщеплення. Для того, щоб ефект мав місце,

необхідно, щоб частотний інтервал $\omega_{\text{випр.}} - \omega_{\text{погл.}}$ був меншим ніж природна ширина ліній. Уширення ліній зумовлено різними причинами. наприклад, у газовому середовищі значним є доплерове уширення. За допомогою доплерового зсуву можна також можна звужити інтервал

$\omega_{\text{випр.}} - \omega_{\text{погл.}}$. Для цього випромінювач розміщується на центрифусі. Такиим чином, в момент випромінення зразок рухається назустріч поглиначу. Випромінювані фотони отримують додатковий імпульс, якого для деяких значень частот обертання достатно, щоб зпрацював ефект Мессбауера.

Основне застосування ефекту пов'язане з тим, що він дає унікальний метод вимірювання найменших змін енергії, які не можуть бути виміряні ніяким другим методом. Так за допомогою ефекту Мессбауера вдалося знайти в лабораторних умовах гравітаційний зсув спектральних ліній, вплив електронних оболонок на процеси, які проходять всередині ядра. Мессбаурські спектри сильно відрізняються при переході до різних хімічних сполук. Також вони чутливі до механічних навантажень.

34. Протонний та двопротонний розпади, спонтанний поділ ядер.

Радіоактивність є спонтанна зміна складу ядра. Спонтанний поділ ядра можна проілюструвати на α -розпаді. α частинка являє собою іонізоване ядро гелію, яке є дуже стабільним. В тяжких ядрах сукупність нуклонів знаходяться у потенціальній ямі, зумовленій близькою взаємодією. 2 протони і 2 нейтрони можуть групуватися у ядрі утворюючи альфа частинку. Ця частинка знаходиться у тій ямі. Взагалі кажучи, можливий тунельний перехід цієї частинки через бар'єр, хоч він і мало ймовірний. Таким чином, ядро може самовільно (спонтанно) поділитися.

Розрізняють такі види радіоактивного розпаду: 1) α 2) β 3) спонтанний розпад 4) протонний розпад, 5) двопротонний розпад та інші. У ядер з надлишком протонів можливий протонний та навіть двопротонний розпад, але таку радіоактивність важко помітити внаслідок сильного фону

конкуруючих α - і β^- - розпадів, які призводять до утворення ізотопів таких же само хімічних елементів. Протонна радіоактивність можлива лише у невеликій кількості отриманих штучно елементів з відносно малими часами життя, які мають великий надлишок протонів. Двопротонна радіоактивність більш ймовірна, ніж одно протонна. Справа у тому, що між протонами діють сили спарювання. В результаті із ядра може вилетіти не тільки одиночний протон, але й біпротон, тобто 2 спарені протони з протилежними спінами.

35. Детекторы ядерных частиц

Регистрация заряженных частиц основана на явлении ионизации или возбуждении атомов, которое они вызывают в веществе детектора. На этом основана работа таких детекторов как камера Вильсона, пузырьковая камера, искровая камера, фотоэмульсии, газовые сцинтилляционные и полупроводниковые детекторы. Незаряженные частицы (-кванты, нейтроны, нейтрино) детектируются по вторичным заряженным частицам, возникающим в результате их взаимодействия с веществом детектора.

Нейтрино непосредственно не регистрируются детектором. Они уносят с собой определённую энергию и импульс. Недостачу энергии и импульса можно обнаружить, применяя закон сохранения энергии и импульса к другим зарегистрированным в результате реакции частицам. Быстрораспадающиеся частицы регистрируются по их продуктам распада. Большое применение нашли детекторы, позволяющие непосредственно наблюдать траектории частиц. Так с помощью камеры Вильсона, помещенной в магнитное поле были открыты позитрон, мюон и -мезоны, с помощью пузырьковой камеры - многие странные частицы, с помощью искровой камеры регистрировались нейтринные события и т.д.

1. Счётчик Гейгера. Счётчик Гейгера представляет собой, как правило, цилиндрический катод, вдоль оси, которого натянута проволока - анод. Система заполнена газовой смесью. При прохождении через счётчик заряженная частица ионизирует газ. Образующиеся электроны, двигаясь к положительному электроду - нити, попадая в область сильного электрического поля, ускоряются и в свою очередь ионизуют молекулы газа, что приводит к коронному разряду. Амплитуда сигнала достигает нескольких вольт и легко регистрируется. Счётчик Гейгера регистрирует факт прохождения частицы через счётчик, но не позволяет измерить энергию частицы.

2. Пропорциональный счетчик. Пропорциональный счетчик имеет такую же конструкцию, как и счётчик Гейгера. Однако за счёт подбора напряжения питания и состава газовой смеси в пропорциональном счетчике при ионизации газа пролетевшей заряженной частицей не происходит коронного разряда. Под действием электрического поля создаваемого вблизи положительного электрода первичные частицы производят вторичную ионизацию и создают электрические лавины, что приводит к усилению первичной ионизации созданной пролетевшей через счётчик частицы в $10^3 - 10^6$ раз. Пропорциональный счетчик позволяет регистрировать энергию частиц.

3. Ионизационная камера. Так же как в счетчике Гейгера и пропорциональном счетчике в ионизационной камере используется газовая смесь. Однако, по сравнению с пропорциональным счетчиком напряжение питания в ионизационной камере меньше и усиления ионизации в ней не происходит. В зависимости от требований эксперимента для измерения энергии частиц используется либо только электронная компонента токового импульса, либо электронная и ионная.

4. Полупроводниковый счётчик. Устройство полупроводникового счётчика, которые обычно изготавливаются из кремния или германия, аналогично устройству ионизационной камеры. Роль газа в полупроводниковом счетчике играет определенным образом созданная чувствительная область, в которой в обычном состоянии нет свободных носителей заряда. Попав в эту область заряженная частица вызывает ионизацию, соответственно в зоне проводимости появляются электроны, а в валентной зоне - дырки. Под действием приложенного к напыленным на поверхность чувствительной зоны электродам напряжения, возникает движение электронов и дырок, формируется импульс тока. Заряд импульса тока несет информацию об количестве электронов и дырок и соответственно об энергии, которую заряженная частица потеряла в чувствительной области. И, если частица полностью потеряла энергию в чувствительной области, проинтегрировав токовый импульс получают информацию об энергии частицы. Полупроводниковые счётчики обладают высоким энергетическим разрешением. Число пар ионов $n_{\text{ион}}$ в полупроводниковом счётчике определяется формулой

$$n_{\text{ион}} = E/W,$$

где E - кинетическая энергия частицы, W - энергия, необходимая для образования одной пары ионов. Для германия и кремния $W \approx 3-4$ эВ и равна энергии необходимой для перехода электрона из валентной зоны в зону проводимости. Малая величина W определяет высокое разрешение

полупроводниковых детекторов, по сравнению с другими детекторами, в которых энергия первичной частицы тратится на ионизацию ($E_{\text{ион}} \gg W$).

5. Камера Вильсона. Принцип работы камеры Вильсона основан на конденсации пересыщенного пара и образовании видимых капель жидкости на ионах вдоль следа пролетевшей через камеру заряженной частицы. Для создания пересыщенного пара происходит быстрое адиабатическое расширение газа с помощью механического поршня. После фотографирования трека, газ в камере снова сжимается, капельки на ионах испаряются. Электрическое поле в камере служит для “очистки” камеры от ионов образовавшихся при предыдущей ионизации газа

6. Пузырьковая камера. Принцип действия основан на вскипании перегретой жидкости вдоль трека заряженной частицы. Пузырьковая камера представляет собой сосуд, заполненный прозрачной перегретой жидкостью. При быстром понижении давления, вдоль трека ионизирующей частицы образуется цепочка пузырьков пара, которые освещаются внешним источником и фотографируются.

После фотографирования следа давление в камере повышается, пузырьки газа схлопываются и камера снова готова к работе. В качестве рабочей жидкости в камере используется жидкий водород одновременно служащий водородной мишенью для исследования взаимодействия частиц с протонами. Камера Вильсона и пузырьковая камера имеют огромное преимущество, которое заключается в том, что можно непосредственно наблюдать все заряженные частицы, образующиеся в каждом акте реакции. Для того, чтобы определить тип частицы и ее импульс камеры Вильсона и пузырьковые камеры помещают в магнитное поле. Пузырьковая камера имеет большую плотность вещества детектора по сравнению с камерой Вильсона и поэтому пробеги заряженных частиц полностью заключены в объеме детектора. Расшифровка фотографий с пузырьковых камер представляет отдельную трудоемкую проблему.

7. Ядерные эмульсии. Аналогично, как это происходит в обычной фотографии, заряженная частица нарушает вдоль своего пути структуру кристаллической решётки зерен галоидного серебра делая их способными к проявлению. Ядерная эмульсия является уникальным средством для регистрации редких событий. Стопки ядерных эмульсий позволяют регистрировать частицы очень больших энергий. С их помощью можно определить координаты трека заряженной частицы с точностью ~ 1 микрона. Ядерные эмульсии широко используются для регистрации космических частиц на шарах-зондах и космических аппаратах.

8. Искровая камера. Искровая камера состоит нескольких плоских искровых промежутков, объединённых в одном объёме. После прохождения заряженной частицы через искровую камеру на её электроды подаётся короткий высоковольтный импульс напряжения. В результате вдоль трека образуется видимый искровой канал. Искровая камера, помещённая в магнитное поле, позволяет не только детектировать направление движения частицы, но и по искривлению траектории определять тип частицы и её импульс. Размеры электродов искровых камер могут достигать до нескольких метров.

9. Стриммерная камера. Это аналог искровой камеры, с большим межэлектродным расстоянием ~ 0.5 м. Длительность высоковольтного разряда подаваемого на искровые промежутки составляет $\sim 10^{-8}$ с. Поэтому образуется не искровой пробой, а отдельные короткие светящиеся световые каналы - стриммеры. В стриммерной камере можно регистрировать одновременно несколько заряженных частиц.

10. Пропорциональная камера. Пропорциональная камера обычно имеет плоскую или цилиндрическую форму и в каком-то смысле является аналогом многоэлектродного пропорционального счетчика. Высоковольтные проволочные электроды отстоят друг от друга на расстоянии нескольких мм. Заряженные частицы, проходя через систему электродов, создают на проволочках импульс тока длительностью $\sim 10^{-7}$ с. Регистрируя эти импульсы с отдельных проволочек можно с точностью до нескольких микрон восстановить траекторию частиц. Разрешающее время пропорциональной камеры составляет несколько микросекунд. Энергетическое разрешение пропорциональной камеры $\sim 5-10\%$.

11. Дрейфовая камера. Это аналог пропорциональной камеры, позволяющий с ещё большей точностью восстановить траекторию частиц. Искровая, стриммерная, пропорциональная и дрейфовая камеры обладая многими преимуществами пузырьковых камер, позволяют запускать их от интересующего события, используя их на совпадения со сцинтиляционными детекторами.

12. Сцинтиляционный счётчик. Сцинтиляционный счётчик использует свойство некоторых веществ светиться (сцинтилировать) при прохождении заряженной частицы. Кванты света, образующиеся в сцинтиляторе, затем регистрируются с помощью фотоумножителей. Используются как кристаллические сцинтилляторы, например, NaI, BGO, так и пластиковые и жидкие. Кристаллические сцинтилляторы в основном используются для регистрации гамма-квантов и рентгеновского излучения, пластиковые и жидкие - для регистрации нейтронов и временных измерений. Большие объёмы сцинтиляторов позволяют создавать детекторы очень высокой эффективности, для регистрации частиц с малым сечением взаимодействия с веществом.

13. Калориметры. Калориметры представляют собой чередующиеся слои вещества, в котором тормозятся частицы высоких энергий (обычно это слои железа и свинца) и детекторы, в качестве которых используют искровые и пропорциональные камеры или слои сцинтиляторов. Ионизирующая частица высокой энергии ($E > 10^{10}$ эВ), проходя через калориметр, создаёт большое число вторичных частиц, которые, взаимодействуя с веществом калориметра, в свою очередь создают вторичные частицы - образуют ливень частиц в направлении движения первичной частицы. Измеряя ионизацию в искровых или пропорциональных камерах или световой выход сцинтиляторов, можно определить энергию и тип частицы.

14. Черенковский счётчик. Работа черенковского счётчика основана на регистрации излучения Черенкова - Вавилова, возникающего при движении частицы в среде со скоростью v превышающей скорость распространения света в среде ($v > c/n$). Свет Черенковского излучения направлен вперёд под углом по направлению движения частицы.

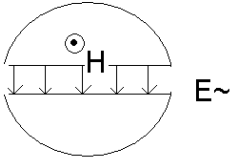
$$\cos \theta = c/vn.$$

Световое излучение регистрируется с помощью фотоумножителя. При помощи черенковского счётчика можно определить скорость частицы и отсеleccionировать частицы по скоростям.

37 Лінійні та циклічні прискорювачі заряджених частинок, накопичення частинок, зустрічні пучки.

$$\lambda = \frac{2\pi\hbar}{p} = \frac{2\pi\hbar}{\gamma m v}$$

Для дослідження структури ядра у якого $\lambda_{ел} < d_{ядра}$



$$\gamma \geq \frac{2\pi\hbar}{m v R_n} = \frac{6 \cdot 10^{-27}}{10^{27} \cdot 3 \cdot 10^{10} \cdot 10^{-13}} = 10^3 \quad W = \gamma m c^2 = 700M \quad (\text{для}$$

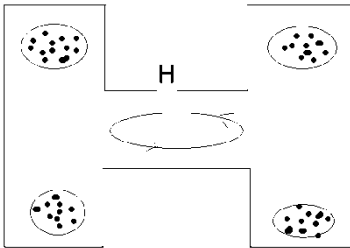
електрону) для важких частиннок $\sim 1\text{GeV}$. В в найбільших прискорювачах $70 \sim \text{GeV}$. До сотого елементу для синтезу нових ядер вккористувався реакторний метод – опромінення потоком нейтронів. Після сотого ядра починають розпадатися по альфа каналу і нейтрони не встигають накопичуватися, тоді використовують зіткнення важких ядер.

Лінійні прискорювачі: (єсть куча трубок, они они через одну підключены к разным полюсам источника переменного тока) при перельоті частинок змінюється фаза джерела струму, і частинки прискорюються. Однорідний потік збирається в порції. У зв'язку із складністю виготовлення, використовують прискорювач біжучої хвилі - теж саме, але джерело струму під'єднується до кінців кожної трубки.

Циклічні прискорювачі: (перша картинка), в середину подається частинка в проміжках

$$\omega = \frac{eH}{\gamma m c}$$

розганяється, в середині зваертається. $\gamma m c$ - Ларморова частота. Параметри полів підбираються так, щоб частинка прискорювалася.



Бетатрон (картинка2) Коли магнітне поле змінюється, збуджується

$$E_{PC} \text{ самоіндукції} \quad \varepsilon = \frac{d\Phi}{dt} \quad \Phi = \pi r^2 B_{\text{середнее}} \text{ середне у}$$

круговій траєкторії електрона. Полюсам магніту придається така геометрична форма, прия яким не просто передається енергія електронам, а ще і вдається їх вдержати на орбіті. Дає прискорення порядку 100MeV при радіусі орбіти в 2м , і вазі магніту 130тон

(важкий падло).

Синхротрон: те ж саме що і бетатрон, але замість щільного кільця у нього секції. У ньому компенсуються релятивістські ефекти. Їх роблять великого радіусу, щоб при зміні траєкторії частинки втрачали мало

38. Прискорення заряджених частинок за допомогою потужного лазерного імпульсу.

Ця гадость працює наступним чином – дуже потужний лазерний імпульс шарабанить у фольгу, і виходить така ситуація (на атомке решали такі задачки), що фотони доганяють електрони, і шарабаняють їх ззаду, що їх дуже сильно прскорює (на практиці до порядку 10Гев). Маємо:

$$H^{\wedge} = \frac{(\vec{p} + e/cA)^2}{2\mu} + u = \frac{p^{\wedge 2}}{2\mu} + u + \frac{e}{\mu c} \vec{A} \vec{p} + \frac{e^2 A^2}{2\mu c}$$

Останній доданок мона

представити як потенціальну енергію. $\Delta u = \frac{e^2 A^2}{2\mu c^2}, E = \frac{1}{c} \frac{\partial A}{\partial t} = \frac{mA}{c} \quad \vec{A} \approx \frac{cE}{\omega}$

$$I = \frac{E^2}{4\pi} c = \frac{\omega^2 A^2 c}{4\pi c} \Rightarrow \Delta u = \frac{2\pi e^2 I}{\mu \omega^2 c}$$

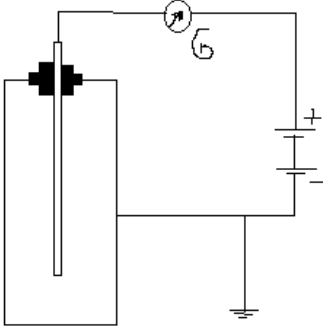
це питання треба для Джинні, щоб мало писать

39. Спостереження процесів народження та розпаду частинок.

40. Методи спостереження короткоживучих частинок

Детекторами називаються прибори, служачі для реєстрації частиц. Вони розділяються на счетчики (електронні детектори), виробляючі електронний імпульс, коли залітає заряджена частина, і трекові детектори, дозволяють також залишати слід траєкторії частини. До счетчиків належать імпульсні іонізаційні камери, пропорційні счетчики, счетчики Гейгера – Мюллера, сцинтиляційні, черенковські і напівпровідникові счетчики. До трекових детекторів – камери Вільсона, бульбкові камери, товстослойні фотоемульсії, широкозорні іскрові і стримерні, пропорційні і дрейфові камери.

Осн. Хар-ки: 1.) Ефективність – число зареєстрованих частиц / реальне кол-во. 2.) просторове розрешення – погрешність реєстрування в просторі. 3.) Временне розрешення – мінімум період між двома част., щоб детектор розумів їх окремо одне від одного. 4.) время восстановления – время после реєстрації однієї частини, для підготовки до реєстрації наступної.



Найбільш обширна група Іонізаційні детектори (іонізація молекул і атомів.). Електричний конденсатор (плоский, сферичний, циліндричний) заповнений газом, між електродами якого прикладено різницю потенціалів. Іонізуюча частина утворює на шляху електрони і іони, які йдуть до обкладок конденсатора, причому ми бачимо різницю потенціалів і струм, що і вимірюємо на гальванометрі G

Пропорційний счетчик – використовують коаксіальні електроди. Заповнення інертним газом з невеликою приміслю багатоатомних ядер. При попаданні частини. Велика частина утворених

електронів дрейфують в електричному полі до анода без розмноження. Вблизи анода поле E настільки велике, що електрони викликають вторичну ударну іонізацію – виникає незалежний електричний заряд. Коротше до анода приходять електронні лавини всього з однієї влітаючої частини. Цей коефіцієнт. Називається коефіцієнт газового посилення.

Счетчик Гейгера- Мюллера практично те саме, тільки сильні неоднорідні поля, і електрон утворений в результаті влітання частини розганяється настільки, що іонізує ще електрони, які теж розганяються і отримується ні фігурна лавина. Потім її гасить опір резистора $10^8 - 10^9$.

Сцинтиляційні – це речовина, здатна люмінувати під дією заряджених частиц і фотоумножувача (ФЭУ) – дуже чутливий і швидкий.

Черенковські – використовують ефект коли частинка рухається зі швидкістю, більшою фазовою швидкістю світла в цій речовині.

Напівпровідникові счетчики – використовують перехідне випромінювання в рентгеновській області. Принцип такий як і у іонізаційного, тільки замість газу – напівпровідник.

Трековий детектор – камера Вільсона – заснована на конденсації перенасичених парів води і спирту на іонах, утворених при русі вздовж траєкторії зарядженої частини.

Дифузійна камера – на відміну від Вільсона, де перенасичення створювалося адиабатичним розширенням, тут за рахунок неперервного потоку пари з гарячої поверхні кришки до більш холодного дна.

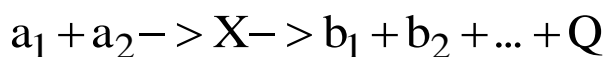
Бульбкова камера – отримуємо рідину з температурою вищою температури кипіння, вона нестабільна і ось-ось закипить (рідкий водень, суміш неону з воднем,...). Частина при проходженні утворює центри кипіння вздовж своєї траєкторії.

Найбільш дешевий трековий детектор – товсті ядерні фотоемульсії. Працює за принципом фотографії

41 Переріз та канали реакцій, закони збереження, класифікація реакцій

Класифікація ядерних реакцій:

По взаємодіючим частинкам :Прямі або з утворенням проміжного стану. Прямі характеризуються малим часом взаємодії. Приклад проміжної реакції



в даному випадку X – компаунд ядро, Q – енергія яка виділяється в реакції. В залежності від значення Q реакції бувають: $Q > 0$ – екзотермічні ; $Q < 0$ – ендотермічні реакції. Пряма реакція має вигляд $a + A \rightarrow b + B + Q$, де Q - визначається за

формулою $Q = E_a + E_A - E_b - E_B$ Кожний з шляхів проходження реакції називається

каналами. Наприклад: $a + A \rightarrow b + B$ або $a + A \rightarrow c + C$ або $a + A \rightarrow d + D$, тобто можливе протікання реакцій по різним шляхам и кожен з шляхів є каналом протікання реакцій.

В процесі ядерних реакцій повинні виконуватись **закони збереження:**

- 1) Енергій
- 2) Заряду
- 3) Числа нуклонів, баріонного заряду, для реакцій без античастинок або частинок з не релятивістською енергією.
- 4) Закон збереження імпульсу для кінцевих продуктів
- 5) Закон збереження моменту імпульсу

Як правило частинки не вилітають синхронно, тому для багатьох частинок можна розбити реакції на проміжні.

Частина енергій йде на рух всієї системи, тому порогова енергія для ендотермічних реакцій $E_0 \neq Q$, $E_0 = \frac{M_a + M_A}{M_a} Q$

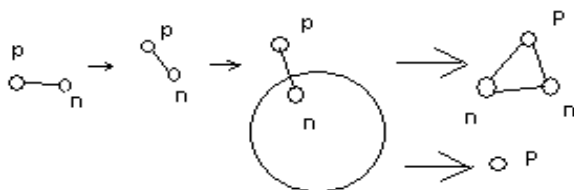
При взаємодії важкого ядра з дейтронами (ядро яке утворене з протону и нейтрону) виділяють два типи реакцій :

- 1) Реакцій зриву
- 2) Реакцій підхвату

Для такої реакції її енергетичний поріг буде нижче, за рахунок того що нейтрон здатен проникнути в ядро, а протон залишається ззовні, за рахунок того що він має заряд. Розглядаючи механізм взаємодії можна спостерігати два види реакцій:

- 1) Підхвату, коли утвориться частинка з двома нейтронами и одним протоном
- 2) Зриву, коли протон в результаті реакції залишиться один

На малюнку зображений ланіт дейтрона, який по мірі наближення до ядра обертається за рахунок сил відштовхування, на важке ядро і можливі варіанти проходження реакцій



Ефективний переріз ядерних реакцій

Розглянемо ядро A на яке налітає однорідний потік частинок a з концентрацією n_a Тоді реакцію можна записати в вигляді $a + A \rightarrow b + B + Q$ Ймовірність такого процесу відповідно

пропорційна $W_{aA,bB} \sim n_a v_a$ Де ймовірність має розмірність обернених секунд. Тоді ведем лану

$$n_a v_a = \left[\frac{1}{\text{cm}^2 \text{c}} \right]$$

Записуючи останню формулу в вигляді рівності, отримаємо

$$W_{aA,bB} = \sigma_{ab} n_a v_a, \text{ де } \sigma_{ab} - \text{ефективний переріз реакцій. В загальному випадку можливе}$$

пружне або не пружне розсіювання, введемо відповідні позначення: $W_{aA,bB}^s$ - пружне, $W_{aA,bB}^a$

- не пружне, Тоді для перерізів $\sigma_{ab}^s = \frac{W^s}{n_a v_a}$ та $\sigma_{ab}^a = \frac{W^a}{n_a v_a}$ та загальний переріз розсіювання

$$\sigma_{ab} = \sigma_{ab}^s + \sigma_{ab}^a$$

Виведення формули перерізу реакцій :

З минулого нам відома формула для ймовірності

$$W_{aA,bB} = \frac{2\pi}{\hbar} |H_{aA,bB}^{int}|^2 \delta(E_{кін} - E_{початкова})$$

- ймовірність переходів без виродження

$H_{aA,bB}^{int} = \int \varphi_{aA} \hat{H} \varphi_{bB} dq$ - енергія взаємодії. Перейдемо до системи центра мас ввівши

позначення $\mu_b = \frac{M_B M_b}{M_B + M_b}$; $\bar{R} = \frac{\bar{r}_b M_b + M_B \bar{r}_B}{M_b + M_B}$; $\bar{r} = \bar{r}_b + \bar{r}_B$. Провівши сумування по всі

імпульсам $W_{aA,bB} = \sum_{P_b} \frac{2\pi}{\hbar} |H_{aA,bB}^{int}|^2 \delta(E_{кін} - E_{початкова}) d(E_{кін})$. Використовуючи правило

квантування Бора-Зомерфельда

$$\int P_x dx = 2\pi\hbar n \quad \delta(\int P_x dx) = 2\pi\hbar$$

Кількість станів в $\Delta P_x \Delta x$ рівна

$$N = \frac{\Delta P_x \Delta x}{2\pi\hbar} = g \frac{\int d^3 P^* d^3 x}{(2\pi\hbar)^3} = g V \frac{\int P^2 dP \int d\Omega}{(2\pi\hbar)^3} = \frac{g V 4\pi}{(2\pi\hbar)^3} \int_0^P P^2 dP$$

, де g - кратність виродження. Тоді

$$dN = \frac{g V 4\pi}{(2\pi\hbar)^3} P^2 dP$$

та $P_b = m_b v_b$ та

$$E_{кін} = m_b v_b^2 / 2 \Rightarrow dE_b = m_b v_b dv_b = v_b dP_b$$

тоді $\frac{dN_b}{dE_b} = \frac{g V P_b^2}{2\pi\hbar^2 v_b} = \rho(E_b)$ -

кількість станів на одиничний інтервал енергій. Тоді вираз для ймовірності

$$W_{aA,bB} = \frac{2\pi}{\hbar} |H_{aA,bB}^{int}|^2 \frac{g V P_b^2}{2\pi\hbar^2 v_b}$$

Тоді переріз буду мати вигляд

$$\sigma_{a,b}^2 = \frac{W_{aA,bB}}{n_a v_a} = \frac{2\pi}{\hbar} |H_{aA,bB}^{int}|^2 \frac{g V P_b^2}{2\pi\hbar^2 v_b n_a v_a}$$

Ввівши пере позначення $\sigma_{a,b}^2 = \frac{|M_{ab}|^2 g P_b^2}{v_b v_a}$

- переріз ефективної взаємодії двох частинок.

Розглянемо деякі варіанти

1) Пружне розсіяння $a + A \rightarrow a + A$ тоді $v_a = v_b$

$$\sigma_{a,b}^2 = \frac{|M_{ab}|^2 g m_b^2 v_b}{v_a} \neq f(v_a, v_b) = const$$

не залежить від швидкості

2) Екзотермічні реакції при малій швидкості $a + A \rightarrow b + B + Q$ де $Q > 0$, та $Q \gg \frac{m_a v_a^2}{2}$;

$$Q \approx \frac{m_b v_b^2}{2} \quad \text{Частинки які утворилися мають велику різницю в масі} \quad v_b = v_B \frac{M}{m} \gg v_B \quad \text{тоді}$$

$$T_b = \frac{M_B}{M_b} T_B \quad \text{та} \quad v_b = \sqrt{\frac{2Q}{m_b}} \Rightarrow \sigma_{ab} = \frac{|M_{ab}|^2 m_b \sqrt{2Q/v_b}}{v_a} \sim \frac{1}{v_a} \quad \text{Переріз сильно зростає при малих швидкостях руху налітаючих частинок.}$$

3) Ендотермічна реакція , нехай $T_a \geq \frac{M_a + M_A}{M_a} |Q|$ тоді $v_a \geq \sqrt{2Q(\frac{M_a + M_A}{M_a})/M_a}$ Нехай

$$T_a \geq T_{\text{порогове}} \quad (\text{трошки більше}). \text{Тоді} \quad v_a = \sqrt{2Q(M_a + M_A)/M_a^2}; v_b = \sqrt{2(T_a - T_{\text{порог}})/M_a} \quad . \quad \text{Тоді}$$

для перерізу реакцій $\sigma_{ab} \sim \frac{v_a}{v_b} \sim \sqrt{(T_a - T_{\text{порог}})}$.Отже переріз реакцій зростає з ростом швидкості и температури налітаючих частинок при ендотермічному процесі і зрає при екзотермічному процесі.

Для перерізу вводиться спеціальна одиниця $1_{\text{бадн}}(1_{\text{бн}}) = 10^{-24} \text{ см}^2$

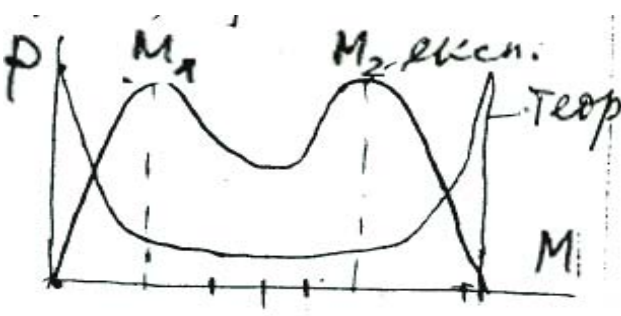
43. Поділ та синтез атомних ядер.



Деление атомных ядер. Если возбудить ядро, то будут происходить колебания ядерной материи, оно удлинится, образуется перетяжка, которую энергетически выгодно увеличивать =>

образуется 2 ядра. С одной стороны из-за кул-ого взаимодействия яд-ру выгодно растягиваться, с другой из-за изменения сферической формы –нет. Теперь посчитаем это. Пусть ядро случайным образом деформировалось, разложим изменение на полиномы Лежандара:

$$r(\theta) = R(1 + \sum a_\Lambda P_\Lambda(\cos\theta)) = R(1 + a_0 + a_2 P_2(\cos\theta) + \dots) \text{ Объем}$$



$$V = \int_0^{2\pi} \int_0^\pi \int_0^r \sin\theta \cdot d\theta \cdot d\varphi \cdot r^2 = \frac{4\pi}{3} R^3 (1 + 3a_0 + \frac{3}{5} a_2^2)$$

должен оставаться const => (с точностью до 2-го полинома) =>

$$a_0 = -\frac{1}{5} a_2^2 \text{ Тогда площадь}$$

$$S = 2\pi \int_0^{2\pi} \sin\theta \cdot r^2 \sqrt{1 + \frac{1}{r^2} \left(\frac{dr}{d\theta}\right)^2} d\theta =$$

$$= 4\pi R^2 \left(1 + \frac{2}{5} a_2^2\right)$$

Далее изменение кул-ской энергии при деформации

$$\Delta W_{ij} = \frac{e^2}{|r_i - r_j|}$$

$$W_q = \sum \frac{1}{2} \frac{e^2}{|r_i - r_j|} = \left\langle \frac{1}{r} \right\rangle Z^2 \frac{e^2}{2} = \left(\frac{6}{5} (1 - \frac{a_2^2}{5}) \right) Z^2 \frac{e^2}{2}$$

т.к. энергия ядра

$$W = ZA + C_S A^{2/3} + C_q \frac{Z^2}{A^{1/3}} + \dots$$

то разница энергий дефор-го и не деф-го ядра будет

$$\Delta W = W_{деф} - W_{недеф} = C_S A^{2/3} \frac{2}{5} - C_q \frac{Z^2}{A^{1/3}} \frac{a_2^2}{5} = \frac{2C_S a_2^2 A^{2/3}}{5} \left(1 - \frac{C_q}{2C_S} \frac{Z^2}{A}\right)$$

т.к

$$\frac{C_q}{2C_S} \approx \frac{1}{48}, \text{ то для ядер с } \frac{Z^2}{A} > 48 \dots \Delta W < 0$$

, т.е они устойчивы к делению, На какие части наиболее вероятно разлетиться ядро – надо взять макс от вероятности тунелирования

$$P = \frac{V_0}{2R} \exp\left(-\frac{2Z_1 Z_2 e^2}{\hbar v}\right)$$

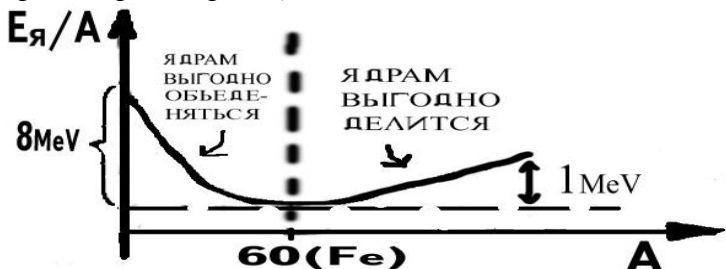
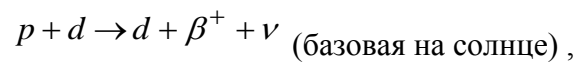
частицы из ядра

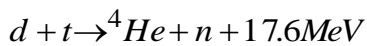
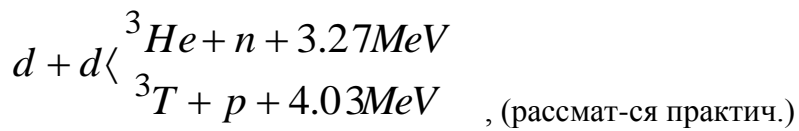
, где v - скорость разлета осколков, Z₁, Z₂ - их

заряд. Но теор.не совпадает с практ (см. рис. Там M₁/M₂ = 2/3)

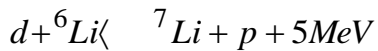
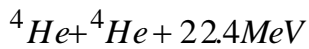
Термоядерные реакции синтеза .

Вот несколько наиболее эффективных реакций с выделением энергии:





(Резонасная реак. $T=130 \text{ MeV}$)



Критерий Лоусона показывает когда реакция энергетически выгодна, т.е. энергия выделившаяся в

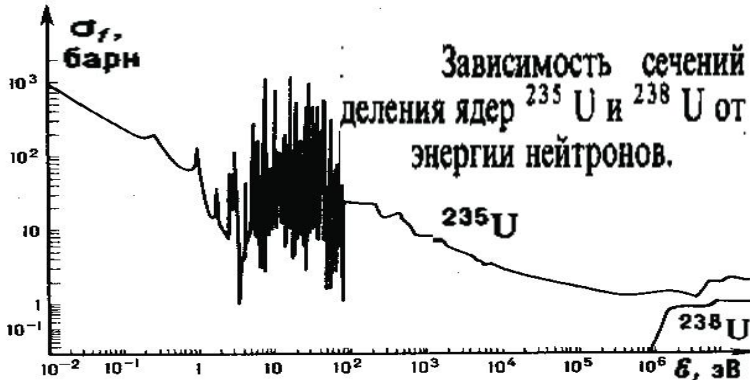
ед. объема $\Delta W = NQ = \sigma_{ab} v n_a n_b Q \Delta t$ должна быть больше чем расход энергии на

нагревание и поддержания температуры $\Delta W = S \sigma T^4 / V + \frac{3}{2} (n_a + n_b) kT$ (S и V берем для

шара, тогда первое слакаемо $\sim T^4 / R$) откуда получаем критерий $n \Delta t \geq \frac{6kT}{\langle \sigma v \rangle Q}$

44. Ланцюгова реакція, стаціонарні та імпульсні ядерні реактори.

Цепная реакция-ре-ция в которой частица вызываю-щая ее воспроизводится как продукт реакции. Напр.



$^{235}\text{U} + n \rightarrow ^{236}\text{U} \rightarrow ^{138}\text{La} + ^{95}\text{Mo} + (\approx 2,5n) + (\approx 220\text{MeV})$ Под действие одного n рождается $\sim 2,47$ n , коэффициент размножения нейтронов k – отношение количества ней-ов в следующем поколении к кол-ву в предыдущем. (поколение -1 акт дел-ия ядра) Тепловые n действуют на ^{235}U (которого в природе 0,28% -остальное ^{238}U (он реагирует только с быстрыми n)) Для торможения n используют спец. среду – термолизатор (D_2O или графит) Т.к кроме деления, ядро может просто захватить n с дальнейшим испусканием γ -кванта ,то вероятность что ,будет деления ядра

$$f = \frac{\sigma_n}{\sigma_n + \sigma_\gamma}, \text{ где } \sigma_\gamma \text{ и } \sigma_n \text{ сечения захвата и деления, } f \text{ зависи от температуры, Некоторые}$$

n вылетают за предел среды, их кол-во \sim площади вещества, кол-во образующихся n -объему, поэтому испол-ся среда достаочно большого объема (размер активной зоны реактора ок.10м).Через N поколений нейтронов будет

$$\left(1 + \frac{\alpha}{n}\right)^n \approx e^\alpha = e^{0.03N}, \text{ время жизни 1 поколения } t \approx 10^{-3} \text{ c. Через 1000 поколения (T=1c)}$$

$$n(1000) = n(0)e^{30} \approx n(0)10^{12} - \text{ процес размножения взрывной. Чтобы им управлять}$$

используют вещества которые поглощают тепловые n (^{43}Cd и ^{10}B) в виде стержней которые опускают и поднимают в среду, но это механический процес (длиться 0,2-0,3с), поэтому он регулирует только запаздывающие нейтроны (Δt 1с..1мин)Стационарный реактор- для контроля

реакции используются стержни(^{43}Cd и ^{10}B) В импульсном с помощью модулятора реактивности создается надкритическое состояние(коэф. размнож. ней-ов >1 .)и интенсивность деления быстро нарастает, затем реактор переводиться в подкритическое сосотяние и процес затухает. Служит источником нейтронов, выделяющеся тепло не используется. По способу инициирования и гашения импульсов деляться на : самогасящееся, периодические и бустеры. Подробнее о реакторах см 45

45. Конструкція ядерного реактора, порогові параметри та кінетика процесів контрольованої ланцюгової реакції ділення важких ізотопів.

При делении атомных ядер тяжелых элементов высвобождается колоссальное количество энергии. Вещества, используемые в ядерных реакторах для осуществления ядерных реакций деления, называются *ядерным топливом*. При делении ядер также образуются нейтроны, которые потом способствуют развалу (с определенной вероятностью) других ядер. В подобных реакциях участвуют даже тепловые ($E \sim kT$). Если энергия нейтрона $E > 1 \text{ MeV}$, то это быстрый нейтрон. Ядра урана(238) и тория(232) не делятся медленными нейтронами, только быстрыми. Основной характеристикой деоящегося ядра является кол-во вторичных нейтронов, после деления одного ядра - ν . Величина η -- число вторичных нейтронов приходящихся на единичный акт захвата ядром. Числа η и ν не равны, так как ядро может не только делиться но еще и захватывать нейтрон, и потом испускать гамма-квант. Пусть σ_{nf} – сечения деления ядер, а σ_{ny} -- сечение захвата нейтрона, тогда среднее число испущенных нейтронов, приходящихся на один акт захвата нейтрона способным к делению ядром будет

$$\eta = \nu \frac{\sigma_{nf}}{\sigma_{nf} + \sigma_{ny}}$$

При ядерной реакции налюодается лавина нейтронов. В реакторах используется ^{238}U легированный ^{235}U . ^{235}U дает бытсрые нейтроны, необходимые для распада 238-го. Величина, характеризующая активную зону реактора наз *коэффициентом размножения*. То есть если в первом поколении было N_1 нейтронов, то в n -ном будет $N_n = N_1 k^n$. То есть, если $k=1$, то реакция стационарна. Основная часть вторичных нейтронов появляется при делении ядер ураиа-235 тепловыми нейтронами. По при делении образуются главным образом быстрые нейтроны. Чтобы сделать их более эффективными, используют различные *замедлители*, при рассеянии на ядрах которых нейтроны и замедляются до тепловых скоростей. Поэтому рассматриваемый реактор является *реактором на тепловых нейтронах*. В процессе замедления нейтрон может поглотиться ядрами $^{\bullet}\text{U}$ и ядрами замедлителя и ядрами других конструктивных элементов реактора. Ясно, что коэффициент размножения пропорционален вероятности p того, что нейтрон не будет поглощен такими ядрами. Конечно, некоторые ядра урана-238 разделятся быстрыми нейтронами, еще не успевшими замедлиться. Это обстоятельство учитывается введением множителя ϵ — *коэффициента размножения на быстрых нейтронах*. Коэффициент размножения па быстрых нейтронах есть отношение числа нейтронов, возникших при делении на быстрых и тепловых нейтронах, к числу нейтронов, возникших при делении только па тепловых нейтронах. Введем еще коэффициент теплового использования f — вероятность того, что замедлившийся нейтрон будет поглощен ядрами изотопов урана, а не ядрами замедлителя и других конструктивных материалов

реактора. Тогда $k_{\infty} = \eta p f \epsilon$ Поскольку размеры активной зоны конечны, часть нейтронов

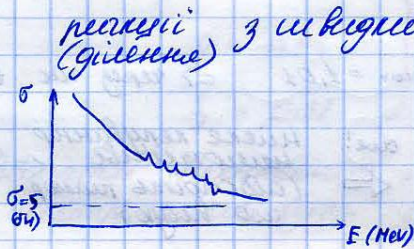
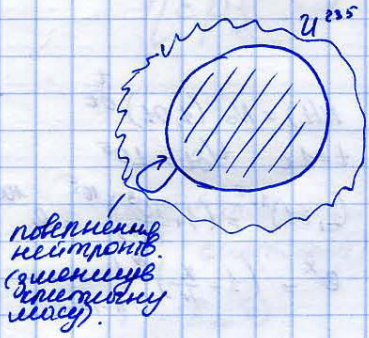
будет уходить из нее наружу. Поэтому можно положить $k = k_{\infty} P$, где P — вероятность того, что нейтрон не уйдет из активной зоны. Эта формула справедлива для

реакторов любого вида. Для работы реактора необходимо, чтобы $k \equiv k_{\infty} P \geq 1$.(*) В пределе, когда $k=1$, ценная реакции, происходящая в реакторе, является самоподдерживающейся, стационарной. Размеры и массу активной зоны, а также вероятность P , когда в реакторе становится возможной самоподдерживающаяся цепная реакция, т. е.

Когда $P = P_{\text{крит}} = 1 / k_{\infty}$ наз. Критическими.

46. Неконтрольовані ядерні реакції ділення та синтезу (ядерний вибух), атомна та воднева бомба.

Динаміка і характеристики ядерної бомби.

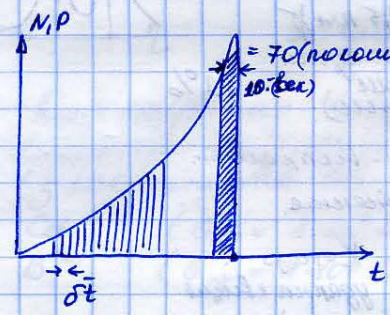


Час покоління:
 $\sigma_{nf} = 5 \cdot 10^{-24} \text{ (см}^2\text{)}$
 $\bar{v} = \frac{1}{\sigma_{nf} f} = \frac{1}{5 \cdot 10^{24} \cdot 5 \cdot 10^{22}} = 4 \text{ (см)}$
 $\delta t = \frac{\bar{v}}{v} = 2 \cdot 10^{-9} \text{ (с)}$
 (тривалість одного покоління, думки швидко протікає)

Критична маса (щоб встиг проореагувати)

$M_{кр} = \frac{4}{3} \pi \bar{v}^3 \rho$

^{235}U	$M_{кр} = 47 \text{ (кг)}$	^{239}Pu	$M_{кр} = 5 \text{ (кг)}$
	$\bar{v} = 8,5 \text{ (см)}$		$\bar{v}_{кр} = 4,1 \text{ (см)}$

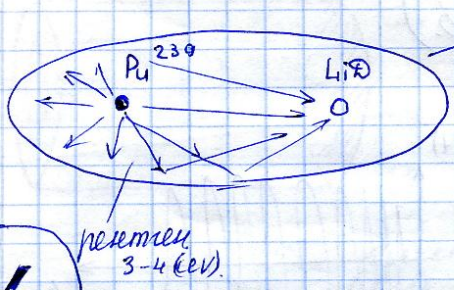
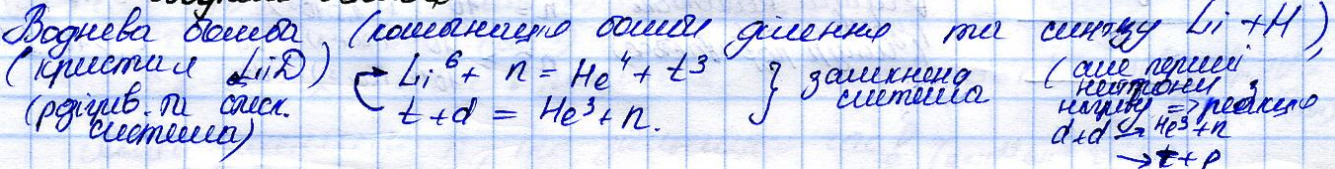


Динаміка потужності:
 (10 кілотон)
 кінет. енергія → нейтрони → рентген.

Ще шотко зменшити критичну масу (розміри ядра):
 $M_{кр} = \frac{4}{3} \pi \bar{v}^3 \rho \rightarrow M_{кр} = \frac{4}{3} \pi \frac{M_0^3}{\sigma^3 \rho^3} \rho \sim \frac{1}{\rho^2}$
 $\bar{v} = \frac{1}{\sigma n} = \frac{M_0}{\sigma \rho}$
 M_0 - маса одного ядра (сильно стиснути ядро)

Реактор на шв. нейтронах - сильно регульована бомба.

Воднева бомба

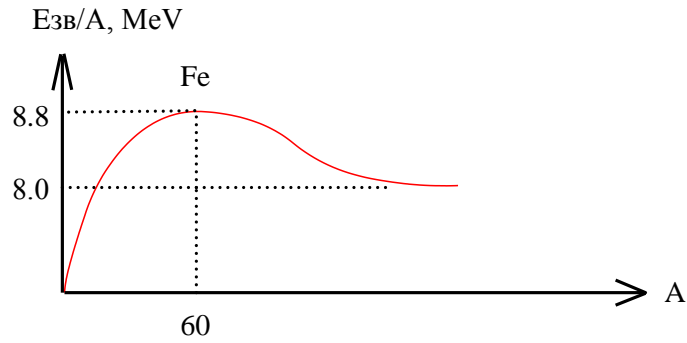


емісія (забезпечує синхронізацію)
 коу-кау (покриває, що відкриває - балістична) (щоб жоден рентген не проходив)



28.11.06

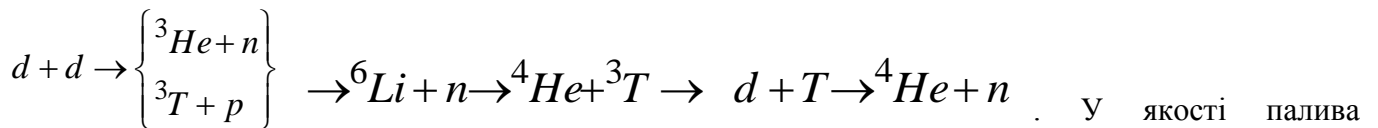
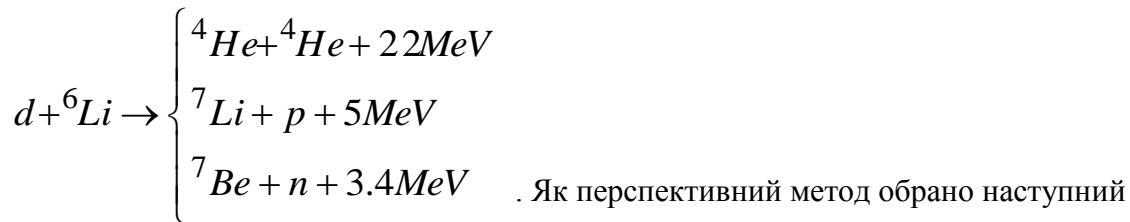
47. Проблеми керованого термоядерного синтезу, критерій Лоусона



Маємо такий графік залежності енергії зв'язку на один нуклон. Відповідно, будь-який процес ядерних перетворень буде супроводжуватись перетворенням ядер у бік заліза. Також з графіка видно, що перехід від важких ядер до заліза супроводжується виділенням лише 0.8 MeV і ніяк не більше, а при синтезі з легких енергія може досягати 8MeV, тож синтез є принципово вигіднішим, ніж розпад важких ядер. На сьогодні досліджені такі реакції

синтезу, які є найбільш ефективними

$p + p \rightarrow d + \beta^* + \nu$, $\delta = 10^{-23} \text{ бн}$, де δ - переріз реакції, у даній реакції основну роль відіграють слабка взаємодія і така реакція протікає на Сонці



використовується LiD – прозорі кристали. У процесі першої стадії утворюється тритій. На початку реакції його не вводять, бо він сильно радіоактивний і, відповідно, має маленький час життя. Але потрібні високі температури для того, аби зблизити реагуючі речовини настільки, щоб почалась

реакція. Отже, нехай летить потік частинок а на частинку б. Тоді $W_{ab} = \delta_{ab} * I_a * \Delta t$ -

ймовірність того, що за час Δt відбудеться реакція (відбудеться акт зіткнення). $I_a = n_a * v_a$ -

потік частинок а, v_a - шв. руху частинок а, δ_a - ефективний переріз реакції.

$N / \Delta t = W_{ab} * n_b = \delta_{ab} * v_a * n_a * n_b * \Delta t$ - кількість ядер б, які злились з ядрами а в одиниці

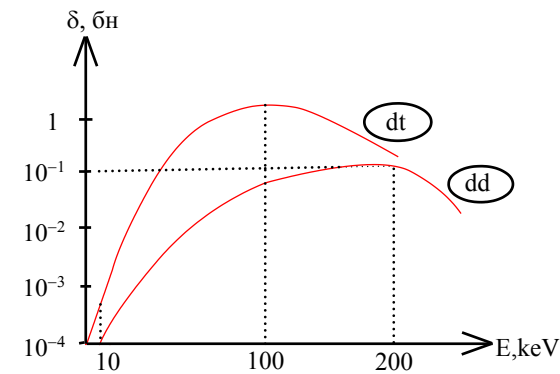
об'єму за одиницю часу. $\Delta W = NQ$ - енергія, яка виділяється у об'ємі, (де Q-енергія, яка виділяється при одному акті злиття). Паралельно існуюватимуть втрати енергії, які відбуватимуться двома каналами – за законом Вінера (випромінювання ел.магнітних хвиль) і з поверхні, як з абсолютно

чорного тіла $\Delta E = \frac{S\delta T^4}{V} + \frac{3}{2}(n_a + n_b)KT$. Будемо працювати у тій області, де перший член

виразу для енергії втрат $\rightarrow 0$. $\frac{S\delta T^4}{V} = \frac{\pi R^2 \delta T^4}{\frac{4}{3}\pi R^3} \sim \frac{T^4}{R}$, тому беремо $T < 100 \text{ keV}$. Аби реакція

пішла, необхідно, щоб $\Delta W > \Delta E$. Відповідно, $\delta_{ab} v_a n_a n_b Q \Delta t > \frac{3}{2} (n_a + n_b) K T$. Нехай

$$n_b = n_a = n/2 \rightarrow \delta_{ab} v \frac{n^2}{4} Q \Delta t \geq \frac{3}{2} n K T$$

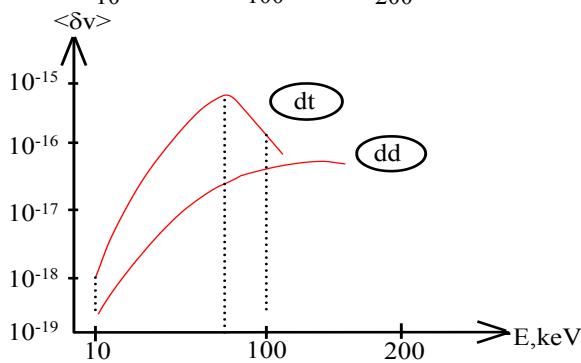


Усереднивши всі частинки по швидкості, маємо

$$n \Delta t \geq \frac{6 K T}{\langle \delta v \rangle Q}$$

- критерій Лоусона, який зв'язує концентрацію плазми із часом утримання цієї плазми. Виконання цього критерію автоматично призводить до

виконання умови $\Delta W > \Delta E$ - тобто, виділяється енергії більше, ніж втрачається. Тепер розглянемо, яку ж реакцію синтезу доцільно використовувати. Мах. δ для dt при $E=100$ keV. Але ми накладали умову, що температура, або відповідно - енергія, має бути менша 100 keV. Тому розглядати окремо ефективний переріз



не можна, потрібно брати до уваги величину $\langle \delta v \rangle$.

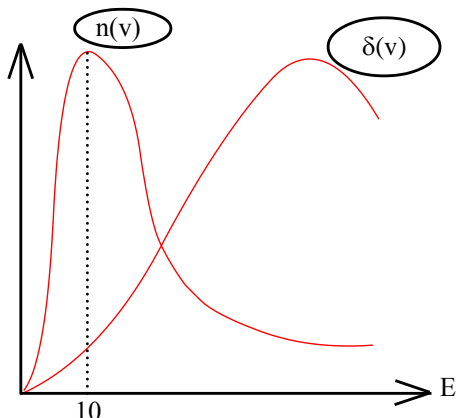
З графіка $\langle \delta v \rangle = f(E)$ видно, що максимум змістився. Для повноти картини розглянемо іще залежність $n(v)$ і $\delta(v)$, або, відповідно, від E . Бачимо, що мах. концентрації спостерігається при $E=10$ keV. Тому, оптимальною температурою вважатимемо саме $T=10$ keV, незважаючи на те, що $\langle \delta v \rangle$ - має максимум при трохи вищій температурі. При такій

температурі критерій Лоусона для реакції

$$dd: n \Delta t \geq \frac{6 * 10^4}{10^{-19} * 4 * 10^6} = 1.5 * 10^{17};$$

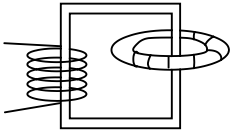
$$dt: n \Delta t \geq 5 * 10^{14}$$

. Тобто, реакцію злиття дейтерій-третій провести легше, ніж дейтерій-дейтерій. Проте, проведення таких реакцій є проблемним - потрібно розігріти газ до мільйонів градусів, при цьому утворюючи плазму такої ж температури, який нам задає критерій Лоусона. Утримати плазму хоча б 1 секунду не вдається через те, що вона є діамантною і буде витікати через будь-які неоднорідності поля існують додаткові нестійкості плазми. Тому намагаються збільшувати концентрацію. Але при малих часах утримування значення густини становить у сотні раз більше від густини твердого тіла - таке створити теж надзвичайно важко.



48. Методи реалізації контрольованих

термоядерних реакцій



Ми маємо критерій Лоусона, який задає співвідношення між концентрацією речовини та часом її утримання. Ця умова є необхідною, бо інакше не буде виконуватись енергетичний баланс реакції. Поки-що ми не можемо утримувати навіть у лабораторних умовах плазму стільки часу, скільки забажаємо. На це є причини : плазма є діамантною, тому вона виштовхується із області сильного поля у область слабшого і таким чином повністю витіче. Були спроби створити пастку у вигляді труби, навколо якої проходило магнітне поле а на краях розмістити додаткові катушки аби створити там область сильнішого поля і відкинути плазму у область слабшого – тобто в центр пастки. Нажаль, дана конструкція має конус втрат – тобто такий кут між вектором швидкості і віссю циліндра, при якому або меншому частинка, маючи певну енергію кінетичну та певну масу може покинути пастку. У процесі співударінь частинок вони набувають довільних напрямків і майже довільних швидкостей. За таких умов концентрація плазми зменшується таким чином, що при макс. можливих початкових концентраціях енергія, яку надали плазмі для розігріву менша енергії, яку отримали. Тому було запропоновано зробити камеру без кінців – тобто тороїдальну камеру.

Критерій Лоусона $n\Delta t = (10^{14} - 10^{16})$. **ТОКАМАК.** Мах. $n=10^{14}-10^{16}$. Тому час утримання має бути > 1 с. Являє собою зображене зліва. Через чаз пропускають потік електронів і іонізують газ. Потім подають потужний магнітний імпульс, який стискає плазмовий шнур, розігрівуючи його і піднімаючи концентрацію до вищезазначеної. При цьому магнітне поле направлене вздовж осі тора. Коли іонізована частинка хоче залишити об'єм, то у неї буде складова, перпендикулярна полю. Відповідно виникне сила, яка буде закручувати іон навколо осі тора і не даватиме залишити

об'єм. $\oint Hdl = \frac{4\pi I}{c}$; $2\pi R H = \frac{4\pi I}{c}$; $H = \frac{2I}{Rc}$; $P = \frac{H^2}{4\pi}$ - тиск, який створюватиме

поле. $\frac{H^2}{4\pi} = \frac{4I^2}{4\pi R^2 c^2} = \frac{I^2}{\pi R^2 c^2} = nKT$ - умова рівноваги. Вважаємо, що процес іде по

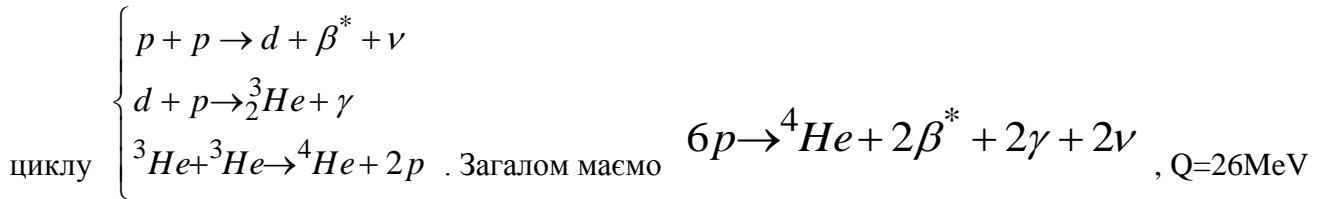
адіабаті $TV^{\gamma-1} = const, \gamma = 1.67$. Нехай, $n = n_0 \frac{R_0^2}{R^2}$; $T = T_0 \left(\frac{R_0}{R} \right)^{2(\gamma-1)}$;

$$KT = \frac{I^2}{\pi n_0 R_0^2 c^2}$$

Підставимо $I = 10 \text{ MA}$; $n_0 = 10^{18} \text{ cm}^{-3}$, $R_0 = 1 \text{ cm}$. $KT = 100 \text{ keV}$ $n = 10^{26} \text{ cm}^{-3}$. Така високотемпературна плазма є дуже нестійкою і будь-яка флуктуація зростає. Хоч лабораторні зразки і задовольняють критерій Лоусона, але це завдяки надзвичайного ускладнення – додавання датчиків неоднорідності плазми і корегування стаціонарністю процесу додатковими магнітами.

Інерційний термояд. $N = 10^{23}-10^{25}$, $\Delta t = 10^{-9} \text{ c}$ - тобто, плазму потрібно стиснути у 100 раз порівняно із твердим тілом. Стиснення відбувається лазерними променями. 192 неодимових лазера фокусуються на мішені з різних боків аби дати рівномірне стиснення. Потужність імпульса складає 10^{12} Вт . Для одночасності імпульсів беруть 1 затравочний лазер і по оптичному хвилеводу підводять до кожного лазера – при цьому довжина оптичного шляху є однаковою. Але, при нагріванні мішені – замороженої кульки дейтерію-третію зовнішня частина нагрівається, розширюється і створює корону із плазми. Оскільки неодимовий лазер в основному працює в м'якому ультрафіолеті, то майже всі промені затримуються короною і нагрівається лише вона, а не

вся кулька. Тому потрібно на завершальній стадії використовувати γ -лазери, але таких установок іще нема. **Мюонний каталіз.** Проблемою утримання є високі температури і неможливість досить довго утримувати плазму. А висока температура необхідна для подолання кулонівського бар'єру між ядрами. Бар'єр можна знизити майже до нуля, якщо в атомах дейтерію і тритію електрон замінити мюоном, який має такий же заряд але масу в 206 раз $>$ маси електрона. Тому, він буде майже ковзати по ядру. Реакцію проводять при кімнатних температурах стискаючи гази не дуже сильно – бар'єра вже нема, потрібно подолати лише газо-кінетичне розштовхування. Але мюони не стабільні, живуть частки секунд, тому необхідно мати мюонні фабрики безпосередньо біля реактора + це не дешевий і енергетично не вигідний процес. На Сонці реакції ідуть по наступному



49.Сучасні проблеми космології, будова Всесвіту.

На даний час існує багато теорій походження Всесвіту, але найбільшого визнання на даний час здобула теорія “Великого вибуху”. Треба зазначити, що насправді точно ми не можемо сказати на 100% як саме зародився Всесвіт. Проблем що виникають при дослідженні Всесвіту багато. Однією із проблем, є те, що зорі які ми досліджуємо за допомогою телескопів (різних типів) з поверхні Землі, з земної орбіти, та з космічних апаратів, передають нам інформацію про об’єкти що знаходяться за тисячі та десятки тисяч світлових років від нас. Тобто ми маємо інформацію про ці об’єкти в вигляді у якому вони перебували багато тисяч років тому, а що відбувається зараз з цими об’єктами не маємо гадки. Але ще більшою проблемою є наявність так званої “темної матерії”. Досліджуючи Всесвіт ми дивимось на матерію яку ми бачимо та досліджуємо її. Але нещодавно було помічено, що якщо враховувати взаємодію матерії що ми бачимо, то побудовані теорії не відповідають результатам спостережень. В поясненню цьому була висунута гіпотеза “темної матерії”. Тобто мається на увазі, що ми дивимось лише туди, де ми щось бачимо, але є ділянки в яких ми нічого не бачимо, але це не означає що там нічого немає, вважається що саме в таких ділянках і знаходиться “темна матерія”. Тобто матерія яку ми не бачимо, але вона там присутня і впливає на матерію яку ми бачимо. Як нам стало відомо з деяких джерел, є припущення що темна матерія займає 85% від усього Всесвіту, та складає 20% від її загальної маси. (наскільки це достовірно я не знаю)

Темну матерію вдалось помітити , як вже казалося, за рахунок її впливу на матерію що ми бачимо. Тобто вона проявлялась як гравітаційна дія. Тобто можна хоча б якось оцінити її кількість з того, який гравітаційний вплив вона створює на матерію яку ми бачимо.

50. Динамічне рівняння еволюції Всесвіту. 51. Стала Хаббла.

В 1929 році Хаббл встановив, чим далі зірка від нас, тим швидше вона віддаляється. Всесвіт

розширяється: $\vec{V} = H\vec{r}$, де \vec{r} - радіус вектор

$$H \approx (100 \div 50) \frac{\text{км}}{\text{с} \cdot \text{Мпарсек}} \text{ - стала Хаббла.}$$

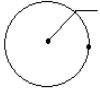
1 парсек – це відстань, на якій спостерігач з орбіти Землі бачить зірку під кутом $1''$ (одна секунда).

1 св. рік $\approx 3 \cdot 10^7 \cdot 3 \cdot 10^{10} \approx 10^{18}(\text{см}) = 10^{13}(\text{км})$ але легше використовувати парсеки, причому

$$1(\text{парсек}) = 3.26 \cdot 10^{13}(\text{км}) = 3.26(\text{св. роки})$$

$$H \approx 2 \cdot 10^{-18} \left(\frac{1}{\text{с}} \right)$$

Тобто наш Всесвіт розбухає як “дріжджі”.



Розглянемо наш всесвіт в такому вигляді
R

Маса M_0

де M_0 - маса зірки на краю.

$$M_0 \frac{d^2 R(t)}{dt^2} = -G \frac{M_0 M}{R^2}; \quad G = 6 \cdot 10^{-8} \frac{\text{см}^3}{\text{г} \cdot \text{с}^2}, \quad \text{скоротивши } M_0 \quad \text{одержимо}$$

$$\frac{d^2 R(t)}{dt^2} = -G \frac{M}{R^2};$$

Так як

$$\frac{dR}{dt} = V_R = HR; \quad \frac{d^2 R}{dt^2} = \frac{d}{dt}(HR) = R \frac{dH}{dt} + H \frac{dR}{dt};$$

то

$$R \frac{dH}{dt} + H^2 R \equiv G \frac{M}{R^2}; \quad M = \frac{4\pi}{3} R^3 \rho; \quad \text{звідки маємо:}$$

$$\frac{dH}{dt} + H^2 = -G \frac{4\pi}{3} \rho(t); \quad H \text{ - змінна величина.}$$

Всесвіт розширюється а густина зменшується.

$$\frac{d^2 R}{dt^2} = -G \frac{M}{R^2} \text{ - рівняння еволюції Всесвіту.}$$

Помножимо ліву і праву частини на $\frac{dR}{dt}$, матимемо:

$$\frac{dR}{dt} \frac{d^2R}{dt^2} = -G \frac{M}{R^2} \frac{dR}{dt}, \quad \frac{1}{2} \frac{d}{dt} \left(\frac{dR}{dt} \right)^2 = GM \frac{d}{dt} \frac{1}{R}, \quad \left(\frac{dR}{dt} \right)^2 - \frac{2GM}{R} = A \quad - \text{ повна}$$

енергія всесвіту

Ниженаписанное в принципе к другому вопросу, но можно это написать оно не помешает

На даний час відомо:

$R = R_0$ - видимі розміри Всесвіту,

$t = t_0$, $H = H_0$;

$$A = H_0^2 R_0^2 + 2GM \left(\frac{1}{R} - \frac{1}{R_0} \right) = (H_0 R_0)^2 - 2G \frac{4\pi}{3} \frac{R_0^3}{R_0} \rho_0$$

$$+ \frac{2GM}{R} = \frac{2GM}{R} - \frac{8\pi}{3} GR_0^2 \left(\rho_0 - \frac{3H_0^2}{8\pi G} \right),$$

$$\rho_{кр} = \frac{3H_0^2}{8\pi G}$$

$$\left\{ \begin{aligned} \left(\frac{dR}{dt} \right)^2 &= \frac{8\pi GR_0^3 \rho_0}{3R} - \frac{8\pi G}{3} R_0^2 (\rho_0 - \rho_{кр}) \\ \frac{dH}{dt} &= -H^2 - \frac{4\pi}{3} G\rho(t) \end{aligned} \right.$$

$$\alpha(\rho_{кр}) \frac{8\pi G}{3} R_0^2 (\rho_0 - \rho_{кр})$$

$\frac{dR}{dt}$

- швидкість зміни розмірів Всесвіту.

Завжди можна вказати таке R , що перший доданок стане менше.

Тоді розглянемо такі випадки:

1. $\rho_0 > \rho_{кр}$, $\alpha(\rho_{кр}) > 0$;

$$\rho_0 > \rho_{кр}$$

Якщо в даний момент часу $\rho_0 > \rho_{кр}$, то дослідження рівняння вказує, що в певний момент часу, розширення припиняється і Всесвіт почне стискатись.

2. $\rho_0 < \rho_{кр}$, $\alpha(\rho_{кр}) < 0$; $t \rightarrow \infty$;

$$\frac{dR}{dt} = \sqrt{\alpha(\rho_{кр})} = const$$

тобто ми повинні спостерігати необмежене зростання.

Все залежить від маси Всесвіту:

В наш момент t_0 : $R_0 \approx 2 * 10^{28}$ (см); видимий розмір;

$M = 10^{55}$ (г); $\rho_0 = 3 * 10^{-31}$ (г/см³); $\rho_0 = 10^{-29}$ (г/см³);

Отже відношення ρ_0 до $\rho_{кр}$ приблизно буде 3%. Отже здавалося б , з видимої частини, Всесвіт має розширюватися.

ρ_0 включає: зорі, міжзоряний газ, ЕМХ.

52. Замкнена та незамкнена моделі Всесвіту.

Існує теорія темної матерії, такої, що ми не можемо зареєструвати. Зараз в космосі реєструється реліктове випромінення, γ кванти, що утворилися при $n \leftrightarrow p$ в початковий момент вибуху. Вони представляють собою Фермі-газ, який при адіабатичному розширенні охолоджується. Тепер ці кванти мають $T=3K$ ($\lambda \cong 50\mu m$). Логічно, що кількість γ квантів = кількості нейтрино в Всесвіті: $n(\gamma) = 500$ фотонів/см³, $n(\nu) = 500$ нейтрино/см³. $V=4/3 \cdot \pi R_0^3=4 \cdot 10^{85}$ см³ – об'єм Всесвіту, $N_0=500 \cdot 4 \cdot 10^{83}=2 \cdot 10^{88}$ нейтрино в Всесвіті. Яку масу мають всі нейтрино, щоб задовольняти $\rho_0 > \rho_{кр}$:

$$\frac{E_{\nu_кр}}{c^2} \cong 2 \cdot 10^{-32} \text{ з}, \quad E_{\nu_кр} = m_{\nu} c^2 = 2 \cdot 10^{-32} \cdot 10^{21} = 10^{11} \text{ ерг} = 12 \text{ eV}$$

Тому важко

виміряти масу нейтрино.

Зараз схиляються до стаціонарної та замкненої моделі Всесвіту. Вважають, що закон Хаббла не такий прамолінійний і порушується. Швидкість віддалення краю Всесвіту від нас: $v=4 \cdot 10^{20}$ см/с. При умові: $\rho_0 = \rho_{кр}$, $\rho(t)R^3(t) = \text{const}$. $R(t) = (6\pi G \rho_0)^{1/3} t^{2/3}$, $\rho(t) = 1/(6\pi G t^2)$, $H(t) = 1/(3t)$. $t_0 = 1/H_0 = 20 \cdot 10^9$ років – час Всесвіту (той час, що пройшов від початку вибуху). Ці рівняння не справедливі в $t=0$ $\Rightarrow t_0 = 14$ млрд років – реальний час.

53. Критична густина речовини у Всесвіті.

Всесвіт розбухає як дріжджі.

Нехай M_0 -маса зірки на краю всесвіту, R -радіус всесвіту. Тоді

$$M_0 \frac{d^2 R(t)}{dt^2} = -G \frac{M_0 M}{R}, G = 6 \cdot 10^{-8} \frac{\tilde{m}^3}{\tilde{a} \cdot \tilde{n}^2}; \quad \frac{dR}{dt} = v_R = H \cdot R;$$

$$\frac{d^2 R}{dt^2} = \frac{d}{dt}(HR) = R \frac{dH}{dt} + H \frac{dR}{dt};$$

$$R \frac{dH}{dt} + H^2 R \equiv G \frac{M}{R}; \quad M = \frac{4\pi}{3} R^3 \rho; \quad \text{Отже} \quad \frac{dH}{dt} + H^2 = -G \frac{4\pi}{3} \rho(t), \quad \text{де } H - \text{змінна}$$

величина. Всесвіт розширюється, тому густина його зменшується. Одразу після великого вибуху ρ була велика і dH/dt також велике. Але з часом швидкість зміни сталої Хаббла уповільнюється.

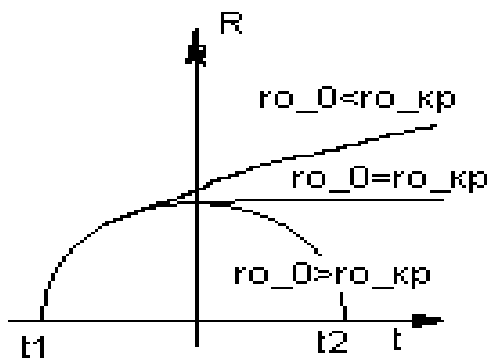
$$\frac{d^2 R}{dt^2} = -G \frac{M}{R} \quad \text{рівняння еволюції Всесвіту.} \quad \frac{dR}{dt} \frac{d^2 R}{dt^2} = -G \frac{M}{R^2} \frac{dR}{dt};$$

$$\frac{1}{2} \frac{d}{dt} \left(\frac{dR}{dt} \right)^2 = GM \frac{d}{dt} \frac{1}{R};$$

$$\left(\frac{dR}{dt} \right)^2 - \frac{2GM}{R} = A; \quad (A - \text{Повна енергія Всесвіту}). \quad \text{В наш момент часу (те, що ми знаємо): } R=R_0$$

$$(\text{видимі розміри Всесвіту}), t=t_0, H=H_0. \quad \text{Отже:} \quad A = H_0^2 R_0^2 - \frac{2GM}{R_0};$$

$$\left(\frac{dR}{dt} \right)^2 = H_0^2 R_0^2 + 2GM \left(\frac{1}{R} - \frac{1}{R_0} \right) = (H_0 R_0)^2 - 2b \frac{4\pi}{3} \frac{R_0^3}{R_0} \rho_0 + \frac{2GM}{R} = \frac{2GM}{R} - \frac{8\pi}{3} GR_0^2 \left(\rho_0 - \frac{3H_0^2}{8\pi G} \right)$$



$$\left\{ \begin{aligned} \left(\frac{dR}{dt} \right)^2 &= \frac{8\pi G R_0^3 \rho_0}{R} - \alpha(\rho_{kp}) \\ \frac{dH}{dt} &= -H^2 - \frac{4\pi}{3} G \cdot \rho(t) \end{aligned} \right. , \quad \text{де}$$

$$\alpha(\rho_{kp}) = \frac{8\pi G}{3} R_0^2 (\rho_0 - \rho_{kp}) \quad \text{Тоді} \quad \frac{dR}{dt} \quad \text{- швидкість}$$

зміни розмірів Всесвіту.

Можливі такі випадки: 1) $\rho_0 > \rho_{kp}$, $\alpha(\rho_{kp}) > 0$. Дослідження рівняння вказує, що в певний момент часу розширення припиниться і Всесвіт почне стискатися. 2) $\rho_0 > \rho_{kp}$, $\alpha(\rho_{kp}) > 0$; $t \rightarrow \infty$. Необмежене розширення.

Все залежить від Маса Всесвіту. В наш момент t_0 : $R_0 \approx 2 \cdot 10^{28}$ см, $M = 10^{55}$ г, $\rho_0 = 10^{-29}$ г/см³, $\rho_0 / \rho_{kp} = 3\%$. Існує теорія темної матерії, матерії яку ми не можемо зареєструвати.

54. Еволюція та взаємоперетворення речовини у Всесвіті з початку Великого вибуху.

X-ки, які мав Всесвіт з початку виникнення: $t=0$, $\rho=10^{93} \text{ г/см}^3$, $m=10^{-5} \text{ г}$.

З констант \hbar , G , c можна зконструювати елементи кванту:

$$\rho_{\text{планка}} = \frac{c^5}{G^2 \hbar} = 10^{93} \text{ г/см}^3; t = \sqrt{G \hbar / c^5} = 10^{-43} \text{ с};$$

$$T_{\text{планка}} = \sqrt{c^5 \hbar / G} = 10^{32} \text{ К} \rightarrow 10^{28} \text{ eV};$$

$$R_{\text{планка}} = ct_{\text{планка}} = 3 \cdot 10^{-33} \text{ см}$$

. В цій величезній температурі народжувались і

зникали важкі частинки ($A \rightarrow \infty$).

1) $t < 10^{-8} \text{ с}$, $kT = 10^{28} \dots 10^{34} \text{ eV}$; $3/2kT = mc^2$; x, y, z -бозони (частинки, які виживали), $m_{X, Y, Z} \sim 10^{14} \dots 10^{15} \text{ GeV}$. Чому наш світ побудований з матерії, а не з антиматерії? X, Y, Z -бозони здатні розпадатися. Після охолодження, вже не було достатньо T для флуктуації і народження чи розпаду X, Y, Z -бозонів. Бета співвідношення: $\beta = n(\text{бозонів})/n(\text{нейтрино}) = 10^{-9}$ – це просто флуктуація, просто початково рівність матерії та антиматерії була з точністю 10^{-9} . Це та доля, яка не знайшла собі пари при аніциляції.

2) $t > 10^{-5} \text{ с}$, $T = 10^{13} \text{ К}$, $E \sim 1 \text{ GeV}$. $m_p c^2 - m_n c^2 = 2.5 mc^2 = 1.25 \text{ MeV}$; $E_p > E$

3) $t = 1 \text{ с}$, $T = 10^{12} \text{ К}$, $E \sim 100 \text{ MeV}$. $n_n > n_p$ – просто розподіл Больцмана

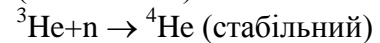
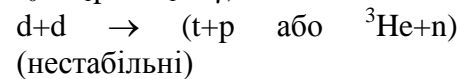
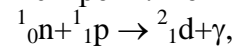
$$f_n = \exp\left(-\frac{m_n - m_p}{kT} c^2\right)$$

На цьому закінчується формування лептонів.



4) $t = 10 \text{ с}$, $T = 10^{10} \text{ К}$, $E = 1 \text{ MeV}$. ν - перший квант, який вирвався з Всесвіту. Це є один з механізмів охолодження Всесвіту.

У час $t = 10^{-3} \text{ с}$ народжуються та анігілюють протони та нейтрони. Потім при $t = 1 \text{ с}$:



На побудову ${}^4\text{He}$ пішло майже всі нейтрони і у час $t = 10^3 \text{ с}$ було вже 75% водню(протонів) і 25% гелію.

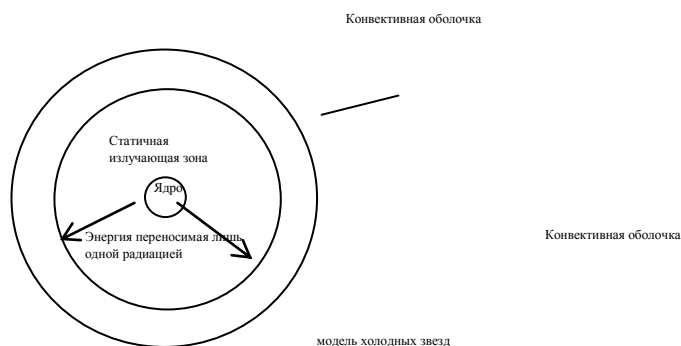
55 Уявлення про внутрішню будову зірок та перенесення випромінювання

Пересічний фотон утворившись в центрі Сонця доходить до його поверхні (після багатократного поглинання та випромінювання) приблизно за мільйон років. Існують модель гарячих зірок та модель холодних зірок.

В моделі гарячих зірок в центрі – конвективна зона оточена лучистою оболонкою, в моделі холодних зірок навпаки конвективна область знаходиться ззовні, а в внутрішній частині зірки енергія переноситься випромінюванням.



Модель гарячих зірок



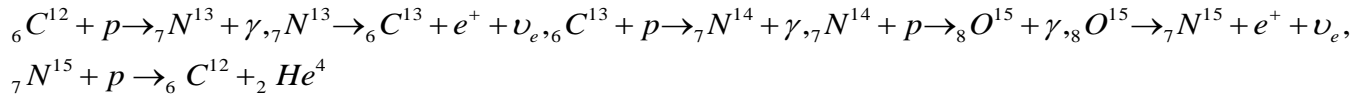
(Висоцький заявив, що цієї відповіді буде досить)

56. Ядерні реакції синтезу в зірках

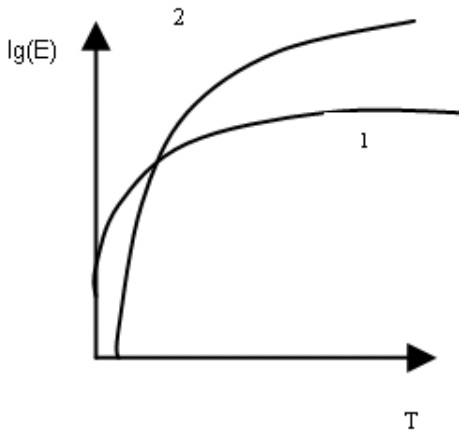
позначення: $e(+)$ – позитрон, $e(-)$ – електрон, ν_e – електронне нейтрино ; $p + p \rightarrow d + e(+)$ + ν_e – реакція протікає за участю слабкої взаємодії, тому її переріз повинен бути дуже малим (при відносній енергії зустрічаючихся протонів в 1 Мев переріз реакції рівний приблизно 10^{-23} барн. При меншій енергії переріз повинен бути ще меншим). Тому інтенсивність ядерної еволюції речовини в зірках, що обумовлена цією реакцією, дуже низька: середній час життя протона в умовах центра Сонця рівен 10^{10} років. Після утворення детронів швидкість ядерних реакцій суттєво зростає

$d + p \rightarrow {}_2\text{He}^3 + \gamma$ – потім проткання реакції можливо двома шляхами: ${}_2\text{He}^3 + {}_2\text{He}^3 \rightarrow {}_4\text{He}^4 + 2p$ або ${}_2\text{He}^3 + {}_2\text{He}^3 \rightarrow {}_4\text{Be}^7 + \gamma$
 у другому випадку ланцюжок ядерних реакцій завершується наступним чином: ${}_4\text{Be}^7 + e^- \rightarrow {}_3\text{Li}^7 + \nu_{e,3}$, ${}_3\text{Li}^7 + p \rightarrow {}_2\text{He}^4$,
 або: ${}_4\text{Be}^7 + p \rightarrow {}_5\text{B}^8 + \gamma$, ${}_5\text{B}^8 \rightarrow {}_4\text{Be}^8 + e^+ + \nu_{e,4}$, ${}_4\text{Be}^8 \rightarrow {}_2\text{He}^4$

Також водень може згорати в реакціях за участю більш важких ядер які приймають участь в якості каталізаторів. Найважливіша серед цих реакцій – вуглеродний цикл, що протікає за участю ядра вуглецю і складається з наступних реакцій:



Результатом обох циклів стає перетворення 4 протонів в ядро гелія. Це перетворення супроводжується виділенням 26,8 Мев енергії з яких біля 1,7 Мев уноситься нейтрино



а малюнку показана залежність від температури швидкостей виділення енергії в водневому (крива 1) і вуглеродному (крива 2) циклах. Як видно з малюнку швидкість виділення енергії в вуглецевого циклу з ростом температури росте більш сильно (як T^{24}) ніж в водневому циклі (T^4). Це пов'язано з тим, що переріз основної для водневого циклу реакції обмежен дуже малою величиною (10^{-23} барн) тому вже при температурах 10^7 К швидкість виділення енергії у водневому циклі досягає насичення. В той же час перерізи реакцій вуглеродного циклу обмежені величинами 10^{-4} барн Тому область насичення швидкості виділення енергії в вуглеродному циклі Досягається за

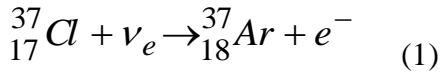
більш високих температур.

Після того як в центральних областях зірки вигорить весь водень утворюється гелієве ядро без ядерних джерел енергії. Якщо маса зірки досить велика ($M > 0.4 M_{\text{сонця}}$) то поступово стискуючись це ядро досягає значення густини 10^6 г/см³ і температури $T = 10^8$ К, коли починається ефективне сгорання гелія в реакції потрійного соударення альфа частинок.

$3 {}_2\text{He}^4 \rightarrow {}_6\text{C}^{12} + 7,65 \text{ Мев}$. Ця реакція протікає в дві стадії. Спочатку два ядра гелію об'єднуються на дуже малий проміжок часу (10^{-16} сек) в нестабільне ядро ${}_4\text{Be}^8$
 ${}_2\text{He}^4 + {}_2\text{He}^4 \rightarrow {}_4\text{Be}^8$, Незважаючи на малий час життя ядра ${}_4\text{Be}^8$, при вказаних умовах з ним встигає прореагувати ще одне ядро гелію: ${}_2\text{He}^4 + {}_4\text{Be}^8 \rightarrow {}_6\text{C}^{12} + \gamma$, це обумовлено тим, що рівень ядра ядра ізотопу ${}_6\text{C}^{12}$ робить цю реакцію резонансною (т.е. енергія ядра ${}_6\text{C}^{12}$ на цьому рівні майже рівна сумарній енергії ${}_2\text{He}^4 + {}_4\text{Be}^8$). Коли утвориться достатня кількість вуглецю гелій буде згорати також в реакції: ${}_6\text{C}^{12} + {}_2\text{He}^4 \rightarrow {}_8\text{O}^{16} + \gamma$

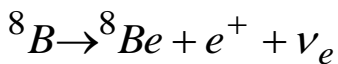
57. Проблема солнечных нейтрино.

Все ядерные реакции в недрах Солнца и звезд недоступны непосредственному наблюдению. Существует лишь единственный косвенный метод наблюдения реакции, происходящих при участии слабого взаимодействия. В таких реакциях образуются нейтрино, а они практически не поглощаются, пронизывая всю толщу звездного вещества. Для регистрации солнечных нейтрино Б. М. Понтекорво предложил воспользоваться реакцией



Эта реакция имеет порог 0,81 МэВ и в принципе может быть использована для регистрации

солнечных нейтрино почти всех энергий. Однако реально в реакции (1) ядро ${}_{18}^{37}\text{Ar}$ с подавляющей вероятностью получается в возбужденном состоянии с энергией возбуждения примерно 5 МэВ. Это увеличивает эффективный порог реакции до 5,8 МэВ. Поэтому реакция (1) может быть использована практически для регистрации быстрых нейтрино. Такие нейтрино на Солнце получаются только в одной из завершающих реакции водородного цикла, а именно



Паули в 1930 г выдвинул гипотезу, позднее доказанную экспериментально, согласно которой

при β -распаде наряду с электроном вылетает еще какая-то неизвестная нейтральная частица, не регистрируемая в калориметре. Благодаря этому закон сохранения энергии соблюдается и

при β -распаде. В редких случаях вся освобождающаяся энергия уносится электроном.

Такая энергия соответствует верхней границе электронного β -спектра. Подтверждением этого может служить опытный факт, что указанная граница совпадает с разностью энергий материнского и дочернего ядер. В других редких случаях вся энергия уносится гипотетической частицей. Но чаще всего энергия уносится и этой частицей, и электроном. Распределение

энергии между ними носит случайный характер, чем и объясняется форма β -спектра.

Паули предположил, что гипотетическая частица очень слабо взаимодействует с веществом. Она не ионизует атомы среды, с которыми сталкивается, и поэтому свободно проходит через свинцовую оболочку. Это заставило предположить, что частица Паули не обладает электрическим зарядом, так как заряженная частица с энергией порядка миллиона электронвольт не могла бы пройти через толстый слой свинца. Гипотеза Пауля появилась еще до открытия нейтрона. Ферми назвал эту незаряженную гипотетическую частицу нейтрино (что в переводе с итальянского означает уменьшительное нейтрончик). Масса нейтрино, если таковая имеется у этой частицы, должна быть во всяком случае меньше массы электрона. Это

видно уже из того, что при β -распаде, когда должен соблюдаться и закон сохранения импульса, электроны уносят меньше половины освобождающейся энергии. Нейтрино не может быть нейтроном, так как в противном случае при испускании нейтрино заметно

изменялась бы масса ядра, а это при β -распаде не наблюдается. Кроме того, если бы нейтрино и нейтрон были одной и той же частицей, то она обнаружилась бы при столкновении с другими атомными ядрами.

Поскольку нейтрино не ионизует атомы, магнитный момент этой частицы также должен равняться нулю (или, во всяком случае, быть весьма малым). Спин нейтрино должен быть полу-

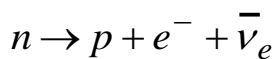
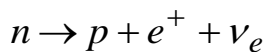
целым. При β -распаде A не меняется, а потому не должен меняться и характер спина ядра. Но вылетающий электрон (позитрон) уносит спин, равный 1/2. Поэтому спин другой частицы -

нейтрино, - во всяком случае, должен быть полу целым. Теоретические расчеты энергетического спектра электронов (позитронов), рождающихся при β -распаде, выполненные при разных предположениях относительно спина нейтрино, показали, что спин этой частицы равен 1/2.

Основная идея Ферми состоит в том, что β -частицы и нейтрино не существуют в атомных ядрах, а рождаются в них в процессе β -распада, подобно тому как фотон не является составной частью атома, а появляется в процессе лучеиспускания. Ферми потребовалось ввести гипотезу о существовании особого типа короткодействующих сил, которые и вызывают

в ядре процессы превращения нейтрона в протон или протона в нейтрон с испусканием β -частиц и нейтрино в обоих случаях. Соответствующие силы называются слабыми силами, а взаимодействия, осуществляемые под их действием,— слабыми взаимодействиями. Средняя длина свободного пробега нейтрино с энергией 1 МэВ в воде равна примерно 10^{21} см {100 световых лет). Это намного превышает линейные размеры звезд, т. е, длины порядка 10^{13} см. Такие нейтрино свободно пронизывают Солнце, а тем более земной шар. С уменьшением энергии нейтрино их проникающая способность становится еще меньше радиуса действия слабых взаимодействий не превышает 10^{-15} см.

Для полноты заметим, что постулированная Паули частица, появляющаяся при β^- -распаде вместе с электроном, позднее стала называться электронным антинейтрино $\bar{\nu}_e$, а частица появляющаяся при β^+ -распаде вместе с позитроном,— электронным нейтрино ν_e . Конечно, деление на частицы и античастицы условно. Что называть частицей и что античастицей — это вопрос соглашения, но условиться об этом необходимо. В соответствии с принятым соглашением процессы β^- и β^+ распадов пишутся в виде



Если бы масса нейтрино была равна нулю, то эта частица не могла бы находиться в состоянии покоя. Она всегда двигалась бы со скоростью света и относительно любой системы отсчета. Проекция вектора спина этой частицы па направление движения может быть равна либо +1/2, либо -1/2. В первом случае условились говорить, что частица имеет правую, или положительную,

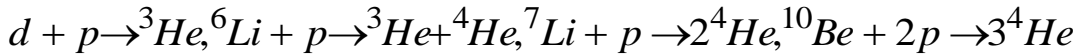
спиральность $\lambda = +1$, во втором — левую, или отрицательную, спиральность $\lambda = -1$. Понятие спиральности, конечно, имеет определенный смысл только для безмассовых частиц. Только в этом случае частица имеет определенную спиральность независимо от системы отсчета. Если же масса частицы отлична от нуля, то понятие определенной спиральности лишено смысла: одна и та же частица имела бы то правую, то левую спиральность, в зависимости от того, в какой системе

отсчета рассматривается ее движение. Прямым опытом установлено, что ν_e имеет спин, направленный по иммиульсу. Поэтому если $m_\nu = 0$, то нейтрино будет обладать левой, а антинейтрино — правой спиральностью.

58. Гіпотези про утворення зірок.

По современным представлениям звезды рождаются из протяженных газовой-пылевых комплексов, состоящих преимущественно из водорода. Из-за гравитационной неустойчивости газовой-пылевой комплекс распадается на множество более мелких частей — облаков. Каждое из этих облаков еще не является звездой. Но облако может превратиться в звезду, если масса его достаточно велика. Поэтому его называют протозвездой. В результате гравитационного сжатия протозвезда разогревается. Когда внутри протозвезды начинают происходить протон-протонные термоядерные реакции и дальнейшее гравитационное сжатие ее останавливается силами возросшего газовой-кинетического давления, протозвезда и становится звездой.

В процессе гравитационного сжатия протозвезды температура ее недр непрерывно повышается. Когда она поднимется до миллиона Кельвинов, начинаются первые термоядерные реакции с участием протонов и легких ядер с низкий кулоновским барьером (дейтерий, литий, бериллий, бор):

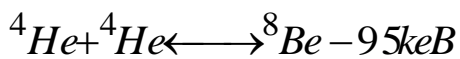


Но из-за малого содержания в протозвезде этих элементов продолжительность указанных реакции по звездным масштабам невелика — всего порядка миллиона лет.

В результате освобождения термоядерной энергии в указанных реакциях температура и давление в протозвезде повышаются. Возросшее давление замедляет гравитационное сжатие протозвезды. Когда легкие ядра с низким кулоновским барьером будут израсходованы, гравитационное сжатие протозвезды усилится, что поведет к дальнейшему повышению ее температуры. Наконец, когда температура достигнет порядка 10 млн кельвинов, вступят в игру протон-протонный, а за ним углеродно-азотный циклы, являющиеся основными источниками выделения термоядерной энергии. Возросшее давление звездной плазмы стабилизирует звезду — ее гравитационное сжатие приостанавливается. С этого момента протозвезда и становится звездой. Ввиду того что водорода в звезде много — она почти целиком состоит из водорода, — «выгорание» водорода охватывает несравненно более длительное время, чем «выгорание» дейтерия, лития, бериллия и бора. Звезды в верхней части главной последовательности более массивны и обладают более высокими температурами. Поэтому в них процесс «выгорания» водорода происходит более быстро и охватывает время порядка ста миллионов лет. Напротив, у менее массивных и менее горячих звезд, как Солнце, этот процесс длится 10—15 млрд лет. Еще более медленно происходит эволюция звезд, находящихся в нижней части главной последовательности, — красных карликов. Энерговыведение в звезде после ее образования и выхода на главную последовательность длительное время происходит преимущественно в центральной ее части за счет «выгорания» водорода. После выгорания водорода в центральной части звезды образуется центральное гелиевое ядро и окружающая его оболочка, богатая водородом. Звезда по своему составу становится сильно неоднородной. Ядерные реакции в ядре звезды прекращаются, но интенсивно происходят в ее оболочке. Таким образом, основное энерговыведение из центральной части переносится в оболочку. В результате оболочка сильно раздувается. Звезда сходит с главной последовательности и превращается в красный гигант или сверхгигант. Размеры звезды сильно увеличиваются.

Однако массы красных гигантов могут и не намного превышать массу Солнца. Благодаря большой поверхности светимость красного гиганта очень велика, несмотря на пониженную температуру его поверхности.

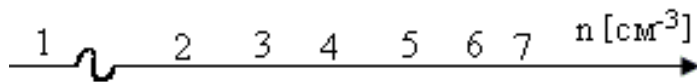
По мере «выгорания» водорода в оболочке звезды масса центрального гелиевого ядра возрастает, а его гравитационное сжатие усиливается. Это приводит к возрастанию плотности и температуры гелиевого ядра звезды. Когда эти величины достигают значений примерно 10^6 г/см³ и 10^8 К соответственно, начинает эффективно идти реакция «сгорания» гелия. На короткое мгновение (порядка 10^{-16} с) создается неустойчивое ядро бериллия:



Это ядро может тут же распасться на две α -частицы, но может успеть захватить еще одну α -частицу, в результате чего образуется ядро углерода в

возбужденном состоянии: ${}^8\text{Be} + 4\text{He} + 363\text{keV} \rightarrow {}^{12}\text{C}^*$ Возбуждение снимается γ - излучением:

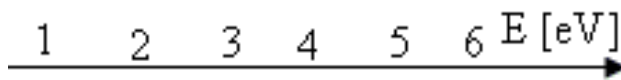
${}^{12}\text{C}^* \rightarrow {}^{12}\text{C} + \gamma + 7.68\text{MeV}$. В результате синтеза ядра ${}^{12}\text{C}$ из трех ядер ${}^4\text{He}$ освобождается 7,22 MeV. Когда накопится достаточное количество изотопа углерода, гелий начинает выгорать также в реакциях сопровождающихся дальнейшим и полным исчерпанием гелия. В результате завершения этих реакций получается ядро звезды.



59.1. Концентрація речовини (густина):

Не знаю про що малось на увазі, але про це давали тільки оце(нормальна людина цього не воспроизведе!):

- 1) 10^{93} Планківська концентрація(така була густина речовини на початку Великого вибуху);
- 2) 10^{38} Концентрація ядерної матерії. Це максимальна концентрація з якою має справу ядерна фізика;
- 3) $10^{36} - 10^{30}$ вироджений релятивіський газ
- ; 4) $10^{30} - 10^{26}$ вироджений нерелятивіський газ (він є основою Всесвіту);
- 5) 10^{23} конденсована речовина в природних умовах;
- 6) $3 \cdot 10^{19}$ атмосфера;
- 7) 10^0 міжзоряний простір;

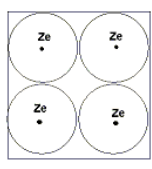


59.2. Енергія збудження:

Не знаю про що малось на увазі, але про це давали тільки оце(нормальна людина цього не воспроизведе!):

- 1) 10^{-12} надохолоджений газ Бозе матерії. Це максимальна концентрація з якою має справу ядерна фізика;
- 3) $10^{36} - 10^{30}$ вироджений релятивіський газ;
- 4) $10^{30} - 10^{26}$ вироджений нерелятивіський газ (він є основою Всесвіту);
- 5) 10^{23} конденсована речовина в природних умовах;
- 6) $3 \cdot 10^{19}$ атмосфера;
- 7) 10^0 міжзоряний простір;

59.3. Еволюція атомарного стану речовини під дією тиску:



Тут приводився 2D графік залежності тиску від температури, якій ніяка здорова людина не відтворить. Але діло приблизно таке (майже лінійне зростання): від $\min P$ [МБарн] та T [eV] до \max (тобто вище) Земля, центр Землі, центр Сонця, білий карлик (- кінцевий стан невеликих зірок), нейтронна зірка(, пульсар, чорна дірка (утвор. при

$M > 3M_{землі}$)), ядерна речовина. Справка: $1 \text{ Бар} = 1 \text{ атм} = 10 \frac{H}{\text{см}^2} = 10^6 \frac{epg}{\text{см}^2}$. При тиску від 0 до значення при якому проісходить порушення атомної оболонки речовина знаходиться в

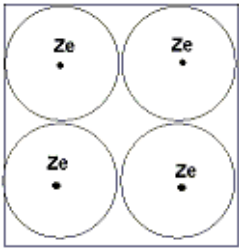
атомарному стані(малі тиски) $T \ll E_i$. $E_i = \frac{z^2 e^4 \mu}{2\hbar^2}$ - енергія зв'язку з ядром. Для повністю

іонізованої речовини: $T \gg E_i$, $P > P_i$ $n_1 \approx \frac{1}{d_1^3} = \frac{z^2}{a^3}$, „a” – радіус 1 Борівської орбіти. В

фізиці плазми \exists критерій для повної іонізації: $T > 5E_i$.

При $d \geq 2r$ атоми не втрачають індивідуальності, а при $d < 2r$ індивідуальність порушується

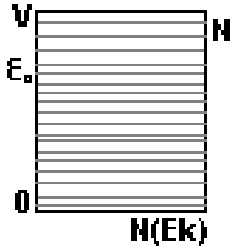
(\Rightarrow плазма) При високих тисках ∇ речовина приймає вигляд кубічної ґратки (тіпа комірки Вігнера-Зейтца) (рис.).



59.4. Вироджений Нерелятивіський газ : Газ хоча і нейтрален, утримати його дуже важко, оскільки ядра відштовхуються.

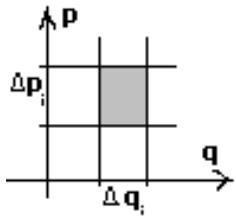
Введемо умовне поняття – нейтральний об'єкт – комірка Вігнера-Зейтца. І представимо весь наш об'єм як суму таких комірок

$$N(E_k) = \frac{\exp(-E_k / kT)}{Z} \quad (\text{як для Больцманівського газу}). \text{ Статистична}$$



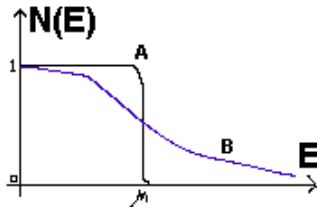
сума

$$Z = \sum_k \exp(-E_k / kT) \quad \int N(E_k) f(E_k) dE_k = N$$



$$N(E_k) = \frac{1}{\exp\left(\frac{E_k - \mu}{kT}\right) \pm 1}$$

Отже маємо 2 розподіли Фермі(А) і



Больцманівській(В) . Бачимо, що при $\mu < 0 \quad |\mu| \gg kT$

(класичний газ) 2 випадки 1 $E < \mu \quad N(E_k) \rightarrow 1$ 2 $E > \mu \quad N(E_k) \rightarrow 0$

В об'ємі V багато квантових рівнів, і всі вони заповнені, а вище ν всі порожні. Виразимо

кількість частинок в об'ємі $\int p_i dq_i = 2\pi\hbar(n_i + 1/2)$ (- квантування Бора-Зомерфельда)

$n_i = 1, 2, \dots, \infty$ Квант об'єму: $\delta(\int p_i dq_i) = 2\pi\hbar \quad N_i = 2 \frac{\Delta p_i \Delta q_i}{2\pi\hbar}$ („2” - спин). Число

можливих станів для електронів: $N = 2 \frac{\int_0^{p_0} d^3 p \int d^3 q}{(2\pi\hbar)^3} = \left| \int d^3 q = V, \right.$

$$\int d^3 p = \int_0^{p_0} p^2 dp \int_{4\pi} d\Omega = 4\pi \int_0^{p_0} p^2 dp = 2 \frac{V 4\pi \int_0^{p_0} p^2 dp}{(2\pi\hbar)^3} = \frac{V p_0^3}{3\pi^2 \hbar^3} \quad (*)$$

Знайдемо f розподілу по імпульсам. Або закон розподілу імпульсів(кількість можливих станів

$$f(p) = \frac{\partial N}{\partial p} = \frac{V p_0^3}{\pi^2 \hbar^3}$$

на 1 імпульсу) Загальна енергія всіх в об'ємі

$$E = \int_0^{p_0} f(p)E(p)dp = \int_0^{p_0} \frac{p^2}{2m} dp = \frac{p_0^3}{6m} \quad \text{- нерелятивіський вигляд}$$

$$\frac{p_0^5 V}{10m\pi^2 \hbar^3} \quad (2^*) \quad 3 \quad (*) \quad \text{максимальний імпульс} \quad p_0 = (3\pi^2)^{1/3} \hbar (N/V)^{1/3} =$$

$$|N/V = n_e| = (3\pi^2)^{1/3} \hbar n_e^{1/3} \quad (3^*) \quad \text{Повна енергія з (2^*) і (3^*):}$$

$$E_p = 3(3\pi^2)^{2/3} N \frac{\hbar^2}{10m} n_e^{2/3} \quad \text{Максимальна енергія} \quad E_0 = E_F = \frac{p_0^2}{2m} =$$

$$(3\pi^2)^{2/3} \frac{\hbar^2}{2m} n_e^{2/3} \quad \text{Отже} \quad E_F = \frac{3}{5} N E_0 \quad \text{Середня енергія 1 частинки:}$$

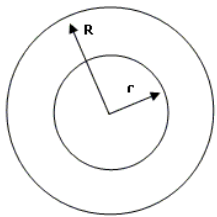
$$\bar{E} = \frac{E}{N} = \frac{3}{5} E_0 \quad \text{Газ причиняє тиск на стінки:} \quad P = P_F = - \frac{\partial E}{\partial V} \Big|_S =$$

$$|S - \text{ентронія}| = \frac{\partial}{\partial V} \left(3(3\pi^2)^{2/3} N \frac{\hbar^2}{10m} \left(\frac{N}{V}\right)^{2/3} \right) = (3\pi^2)^{2/3} \frac{\hbar^2}{5m} n_e^{5/3} \quad \text{При}$$

високій концентрації газ стає виродженим. Границя застосування: $E_0 \gg kT$

$$\Rightarrow E_0 = kT_{\text{виродж}} \Rightarrow T_{\text{виродж}} = k / E_0$$

59.5 Умова ідеальності виродженого нерелятивіського газу: Будемо вважати, що e^- не вільні від ядер, тобто врахуємо їх наявність, бо від Кулонівської взаємодії нікуди не дітись. Необхідно, щоб для кожної частинки викон.



$$\left(\langle E_1 \rangle = \frac{3}{5} E_F \right) \gg \left(\langle \frac{ze^2}{r_e} \rangle \right) \quad (**) \quad \left\langle \frac{1}{r_e} \right\rangle = \int_0^R \frac{1}{r_e} f(r_e) dV$$

$$|dV = 4\pi r_e^2 dr_e| = \frac{4\pi}{4\pi R^3/3} \int_0^R r_e dr_e = \frac{3}{2R} \quad f(r_e) \quad \text{- } f \quad \text{розподілу. Радіус комірки}$$

Вігнера-

$$\text{Зейтца знайдемо з умови} \quad \frac{4\pi}{3} R^3 n_e = z \quad \Rightarrow R = \left(\frac{3z}{4\pi n_e} \right)^{1/3}$$

$$\left\langle \frac{ze^2}{r_e} \right\rangle = \frac{3z^{2/3} e^2 n_e^{1/3}}{2} \left(\frac{4\pi}{3} \right)^{1/3} \quad (**) \quad \frac{3}{5} (3\pi^2)^{2/3} \frac{\hbar^2}{2m} n_e^{2/3} \gg$$

$\frac{3z^{2/3} e^2 n_e^{1/3}}{2} \left(\frac{4\pi}{3}\right)^{1/3} n_e \gg \frac{5z^{2/3} m e^2 \sqrt[3]{4}}{3\hbar^2 \pi}$. Можна сказати: з ростом густини газ стає більш ідеальним; Для важких елементів більш високий поріг ідеальності.

59.6 Релятивіський вироджений газ :: $N = \int f(p) dp$ (подив. Нерелятивіський газ як

знаходили $N, p_0, f(p)$) $dN = \frac{V p^2 dV}{\pi^2 \hbar^3} = | p_0 = (3\pi^2)^{1/3} \hbar n_e^{1/3} | = \frac{V p_0^3}{3\pi^2 \hbar^3}$

$E = \int_0^{p_0} E(p) f(p) dp = | f(p) = \frac{V p^2}{\pi^2 \hbar^3},$ для нерелятивіського випадку $E(p) = \frac{p^2}{2m},$ для

релятивіського випадку $E(p) = \sqrt{p^2 c^2 + m^2 c^4},$ для сильно релятивіських ::

$T(p) = E(p) = \sqrt{p^2 c^2 + m^2 c^4} \approx pc | = \int_0^{p_0} pc \frac{V p^2}{\pi^2 \hbar^3} dp = \frac{V c p_0^4}{4\pi^2 \hbar^3} =$

$| p_0 = (3\pi^2)^{1/3} \hbar n_e^{1/3}, N/V = n_e | = \frac{3}{4} (3\pi^2)^{1/3} N c \hbar n_e^{1/3}$ повна

енергія. Максимальна енергія $E_0 = E_F = p_0 c = (3\pi^2)^{1/3} \hbar c n_e^{1/3}$. Середня енергія 1

частинки: $\overline{E_1} = \frac{E}{N} = \frac{3}{4} E_F$. Газ причиняє тиск на стінки (тиск Фермі газу):

$P_F = - \frac{\partial E}{\partial V} |_{S=}$ | S – ентропія, $N/V = n_e | =$

$-\frac{3}{4} (3\pi^2)^{1/3} N^{4/3} \hbar c \frac{\partial}{\partial V} \frac{1}{V^{1/3}} = \frac{\hbar c}{4} (3\pi^2)^{1/3} n_e^{4/3}$.

59.7 Границя між нерелятивіським і ультрарелятивіським Фермі газом ::

$P_{F_нер} = P_{F_рел} \Rightarrow (3\pi^2)^{2/3} \frac{\hbar^2}{5m} n_e^{5/3} = \frac{\hbar c}{4} (3\pi^2)^{1/3} n_e^{4/3}$

$\Rightarrow n_{e_гран} = \frac{5mc}{4\hbar(3\pi^2)^{1/3}}$. Знайдемо енергії при $n_{e_гран}$:

$E_{F_нер} = (3\pi^2)^{2/3} \frac{\hbar^2}{2m} n_{e_гран}^{2/3}$ та $E_{F_рел} = (3\pi^2)^{1/3} \hbar c n_{e_гран}^{1/3}$.

60. Співвідношення між силою гравітації та станом виродженої електронної підсистеми в критичних космічних об'єктах на стадії їх гравітаційного колапсу.

При малих тисках, та температурах речовина знаходиться в атомарному стані ($kT \ll E_i$ - енергія іонізації). Щоб іонізувати речовину треба її нагріти так, щоб енергії частинок було

достатньо для іонізації атомів: $kT > E_i$. Для повної іонізації в фізиці плазми існує більш

жорстка умова: $kT > 5E_i$ ($kT > 13,6z^2 \text{ eV}$), яка враховує процеси рекомбінації (щоб почалася повна іонізація треба вийти з рівноважного стану, коли іонізація дорівнює рекомбінації, що веде до збільшення порогової енергії повної іонізації). Отже збільшуючи тиск в речовині буде

підвищуватись температура і за деякого тиску ρ_i відбудеться повна іонізація речовини. При подальшому збільшенні тиску порушиться індивідуальність окремих атомів, що відповідає

середній відстані між частинками (атомами): $r \leq \frac{a}{z}$, тут a - борівський радіус. Цій відстані буде

відповідати концентрація: $n \sim \frac{1}{r^3} = \frac{z^3}{a^3} \approx 10^{24} z^3 \text{ см}^{-3}$. Отже при $\rho > \rho_i$ ми будемо мати

окремо електрони (електронний газ) та ядра, що фактично являє плазму. При достатньо високих тисках будь-яка речовина за атомною структурою являє собою кубічну ґратку. Отже ми прийшли до висновку, що речовину при великих тисках та температурах можна розглядати як кубічну кристалічну структуру з ядрами в вузлах, простір між якими заповнює електронний газ. Розглянемо комірку Вігнера-Зейтса для цієї моделі речовини. Комірка електрично нейтральна і складається з ядра і вільних електронів. Можливі два випадки. 1. Електрони підкоряються

розподілу Больцмана (класичний газ): $f(E_k) = e^{\frac{-E_k}{kT}} = e^{\frac{\mu + E_k}{kT}}$. Тут $z = \sum_k e^{\frac{-E_k}{kT}}$. 2.

Електрони – це квантові частинки з напівцілим спіном і тому вони підкоряються розподілу Фермі

для ферміонів: $f(E_k) = \frac{1}{e^{\frac{E_k - \mu}{kT}} + 1}$. Відмітимо, що розподіл Больцмана є граничним випадком

розподілу Фермі за умови $\mu < 0$ і $|\mu| \gg kT$. Далі будемо вважати електронний газ квантовим виродженим газом, що підкоряється статистиці Фермі. Отже використовуючи статистику Фермі для знаходження повної кількості станів для електрону необхідно знати всі можливі рівні енергії ϵ_k для частинки, що ускладнює задачу. Тому подальший розгляд буде в квазікласичному наближенні. Розглянемо газ, в якому частинками заповнені всі доступні квантові

рівні. Отже в деякому об'ємі V маємо багато рівнів до енергії E_0 , які всі заповнені, а вище ϵ_0 -

всі порожні. Застосуємо квазікласичне наближення Бора-Зоммерфельда: $\int p_i dq_i = 2\pi\hbar(n_i + \frac{1}{2})$,

$n_i = 1, 2, \dots$ $\delta(\int p_i dq_i) = 2\pi\hbar$. Кількість станів частинок в елементі фазового простору:

$N_i = 2 \frac{\Delta p_i \Delta q_i}{2\pi \hbar}$ (двійка з'являється через те, що за принципом Паулі на кожному енергетичному рівні може знаходитись два електрона з протилежними проекціями спінів). Повне число станів в об'ємі V для електронів, які мають імпульс від 0 до p_0 :

$$N = 2 \frac{\int_0^{p_0} d^3 p \int d^3 q}{(2\pi \hbar)^3} = \frac{2V4\pi}{(2\pi \hbar)^3} \int_0^{p_0} p^2 dp = \frac{Vp_0^3}{3\pi^2 \hbar^3}$$

Кількість можливих станів, що приходяться на

інтервал імпульсів dp : $f(p) = \frac{\partial N}{\partial p} = \frac{Vp^2}{\pi^2 \hbar^3}$. Повна енергія, яку можуть мати всі електрони в

цьому об'ємі:

$$E = \int_0^{p_0} f(p)E(p)dp = \int_0^{p_0} \frac{Vp^2}{\pi^2 \hbar^3} \frac{p^2}{2m} dp = \frac{Vp_0^5}{10m^2 \pi^2 \hbar^3} \quad (*)$$

Тут вважається, що

електронний газ нерелятивістський і тому: $E(p) = \frac{p^2}{2m}$. З формули для N можна знайти

максимальний імпульс $p_0 = (3\pi^2)^{1/3} \hbar n_e^{1/3}$. Підставляючи, знаходимо повну енергію

електронного газу $E = \frac{3}{5} N E_{\max}$, де $E_{\max} = E_F = \frac{p_0^2}{2m} = \frac{(3\pi^2)^{2/3} \hbar^2 n_e^{2/3}}{2m}$. Середня енергія

одного електрону: $\bar{E} = \frac{E}{N} = \frac{3}{5} E_{\max}$. Наведені вище розрахунки справедливі, якщо

$kT \ll E_{\max} \equiv E_F$ - умова виродженості Фермі газу. Знайдемо граничну температуру

виродження: $kT_{\text{вир}} = E_{\max} \Rightarrow kT_{\text{вир}} = 0,6 \text{ MeV}$. Отже, якщо $T < T_{\text{вир}}$, то електронний газ є виродженим. Для зірки в стані рівноваги гравітаційний тиск повинен дорівнювати тиску газу

на стінки, отже $P = -\frac{\partial E}{\partial V} |_{S} = \frac{(3\pi^2)^{2/3} \hbar^2}{5m} n_e^{5/3}$ - гравітаційний тиск. Знайдемо тепер

критерій ідеальності виродженого електронного нерелятивістського газу: $\bar{E}_{\text{кін}} \gg \bar{E}_{\text{пот}}$.

кінетична енергія набагато більше ніж потенціальна. $\frac{3}{5} E_F \gg z e^2 \left\langle \frac{1}{r_{\text{ін}}} \right\rangle$.

$$\left\langle \frac{1}{r_{\text{ін}}} \right\rangle = \int_0^R \frac{1}{r_{\text{ін}}} f(r_{\text{ін}}) 4\pi r_{\text{ін}}^2 dr_{\text{ін}} = \frac{4\pi}{4\pi R^3} \int_0^R r_{\text{ін}} dr_{\text{ін}} = \frac{3}{2R}$$

з іншого боку:

$$\frac{4\pi}{3} R^3 n_e = z \Rightarrow R = \left(\frac{3z}{4\pi n_e} \right)^{1/3}$$

Тоді підставляючи обраховані величини в умову

ідеальності отримаємо: $n_e^{1/3} > \frac{5}{3} z^{2/3} \frac{m e^2}{\pi \hbar^2} 4^{1/3} \Rightarrow n_e > 3 \times 10^{24} \text{ см}^{-3}$. Отже умова

ідеальності матиме такі границі $10^{30} \text{ см}^{-3} > n_e > 3 \times 10^{24} \text{ см}^{-3}$. Верхня межа

з'являється за рахунок не виконання нерелятивістського наближення $E(p) = \frac{p^2}{2m}$ для всього діапазону концентрацій.

Релятивістський вироджений електронний газ

В формулу (*) підставимо $E(p)$ у вигляді: $E(p) \approx pc$ - випадок сильного релятивізму. Тоді

$E = \frac{3\hbar c N (3\pi^2)^{1/3}}{4} n_e^{1/3}$, $\bar{E} = \frac{3}{4} E_F$, $P_F = \frac{\hbar c}{4} (3\pi^2)^{1/3} n_e^{4/3}$ - гравітаційний тиск. З умови знаходимо граничну концентрацію, при якій газ ще нерелятивістський:

$$n_e^{1/3} |_{\text{гран}} = \frac{5mc}{4\hbar(3\pi^2)^{1/3}} \Rightarrow n_e |_{\text{гран}} \approx 10^{30} \text{ см}^{-3}.$$

61. Еволюція зірок в залежності від їх початкових умов.

9

Ядерна стадія еволюції зірок:

$R = 10^6 \text{ км}$ $M = 2 \cdot 10^{33} \text{ г}$

$T_{\text{пov}} = 6000 \text{ К}$ $L_{\Sigma} = 4 \cdot 10^{26} \text{ Вт}$

$T_{\text{ц}} = 1,6 \cdot 10^7 \text{ К} \approx 1,5 \text{ кeV}$ (в середньому Сонце)

Склад Сонця: водень 70%, He 24%, B, Be, Li ... - 6% (в центрі)

$\rho_{\text{центру}} = 100 \text{ г/см}^3$

Далі від 1 км зірок створюється тільки з сонячним \odot
 M_{\odot} - маса сонця. (маса - водень є основною х-лою)

$0,1 M_{\odot} < M_{\text{зірок}} < 100 M_{\odot}$

якщо менше, то стиснення не призведе до стиснення та ядерних реакцій (примклад Юпітер)

Інтервали:

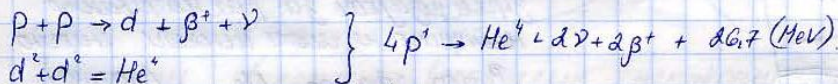
1) $0,1 M_{\odot} \leq M \leq 1,45 M_{\odot}$

2) $1,45 M_{\odot} \leq M \leq 4 M_{\odot}$

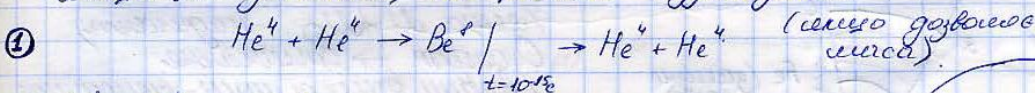
3) $\frac{M}{M_{\odot}} > 4$

передача тепла з центру на поверхню не може 1 млн років.

Реакції сонячного ядра:



якщо маса мала - роздування, температура - припинення реакції, якщо M - достатньо, то реакції будуть далі:



роздування зірки \rightarrow переходить в стабільно гарячого гіганта $T_{\odot} = 5$ млрд років, ядерні реакції - припиняються.

Всередині швидко охолоджується, потім стиснення, але не настільки, як найменш масу гіганти \rightarrow вищий карлик.

Алі світло зриває зірку. (ефект протонів газ з ядерним, \Rightarrow вибух ядерної зривки)

Трафіт світла стисає;

Випромінює газ (якщо $E_F < 0,5 \text{ MeV}$ - нерелятивіст. газ), - розширює (масне)

Нерелятивіст. ел. газ $E_F < mc^2 = 0,5 \text{ (MeV)}$

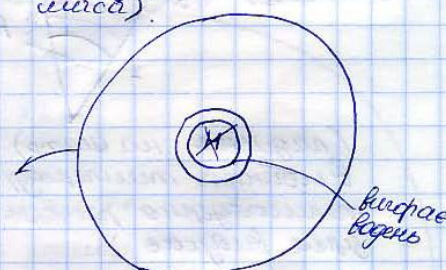
$E_F = (3\pi^2)^{2/3} \frac{\hbar^2}{2m_e} n_e^{2/3}$ $n_e < 3 \cdot 10^{30} \text{ (см}^{-3}\text{)}$

$P_F = \frac{9}{5} \frac{\hbar^2}{m_e} n_e^{5/3}$

Релятивістський ел. газ:

$E_F = (3\pi^2)^{1/3} \hbar c n_e^{1/3}$ $n_e > 3 \cdot 10^{30} \text{ (см}^{-3}\text{)}$

$P_F = \frac{(3\pi^2)^{1/3}}{4} \hbar c n_e^{4/3} \approx \frac{3}{4} \hbar c n_e^{4/3}$



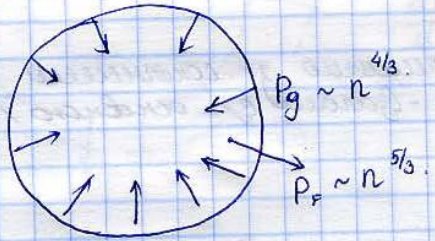
Трактативним тиском:

$$W_{\text{тр}} = -\frac{3}{5} \frac{G M^2}{R}$$

$$P_g = \frac{G M^{2/3}}{5} \left(\frac{4}{3}\pi\right)^{1/3} (\rho m_p) n e^{4/3}$$

$n_p \approx n_n$ (припущення на сферичній зірці)

Головне зауваження від концентрації тисків різник:



(при стисканні P_F зростає швидше, світлом застоповлюється до решітки концентрації).

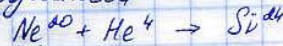
Світла світлом без внутрішніх джерел:

(зірка певного розміру одного кольору).
Зірка темніє \Rightarrow до кожного керна з радіусом 10-100 км.

2

$$1,45 M_{\odot} < M < 4 M_{\odot}$$

Зірка стискає, розігрів, довше здатна утримувати стисненням сталі, але до попередн. рівня доходить



(вигорає центральна частина), зірка роздуває за рахунок вільної нейтрони не може вивести енергію

Випар ядра до Ne (заліза)

Утвор. червоного гіганта.

(масо $M < M_{\odot}$ - надгігант)

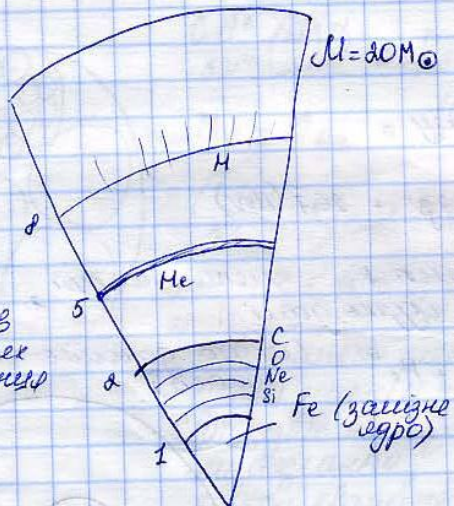
Охолодіння \rightarrow стиснення.

(в стисненні вільної нейтрони не зупиняється \Rightarrow утвор. вибух. решітки газу).

Але $M > 1,45 M_{\odot}$ решітка газу не може зупинити:

$$P_g = \frac{G M^{2/3}}{5}$$

$$P_F = \frac{(3\pi^2)^{2/3}}{4} \hbar c n^{4/3}$$



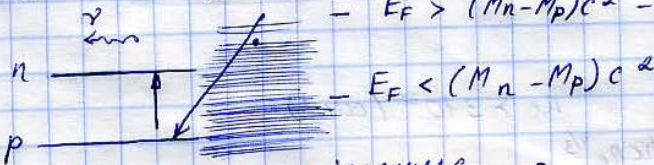
радіус в одиницях мас сонця

(падінь на центр) висхідна температура, теплоодерно релакс за 10сек-зірка роздуває)

вибух надновое першого типу (в середині Fe - рідина $>$ віднос. керсема)

3

Аналогічно: згорає все до Fe, стиска, але все згоріло, утв трактативним тиском тепло не може зупинити \Rightarrow стиснення нейтронного газу (випареного) \Rightarrow кристалічна ґратка \Rightarrow вся зірка в одне ядро (ві виступили зникають) процес нейтронізації.



випарен. нейтронізації швидко нейтрально

нейтрон не приваблює, ~~світла~~ енергія \Rightarrow концентр. ел-ів не зростає \Rightarrow утв нейтрони (нейтронна зірка) утворюються нейтронний протони (сильно з наближенням до $Z=0$)

нічого не заважає падінню $v \rightarrow c$. (за рік гравітаційного потінення)

Всідж надкової
другої тилу.

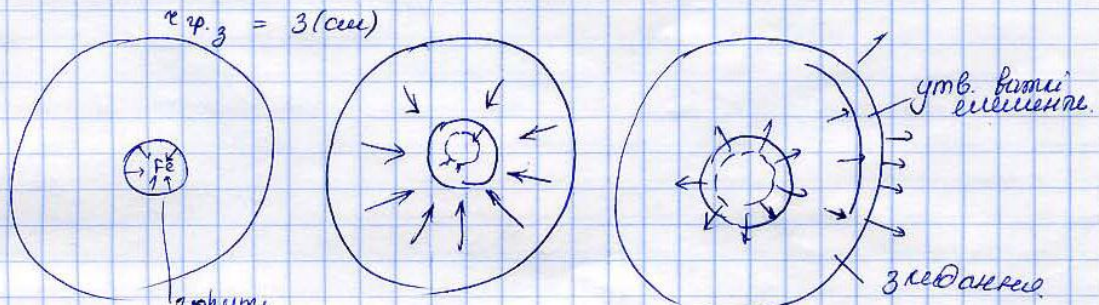
Питення $\frac{10^{53} \text{ ерг.}}{1 \text{ с}} = \frac{10^{46} \text{ Дж}}{1 \text{ с}} = 10^{44} \text{ Вт}$
(на 17 порядків >
Випромінює > нит 1 млн галактик)

СН 1887 (за 10 тис. св. років - шотка дрео о спостерігати вдень)

З поверхні колапсуного
(всідж потік нейтронів та нейтрено) \Rightarrow утворіли всі втисли
нит Fe елементи.

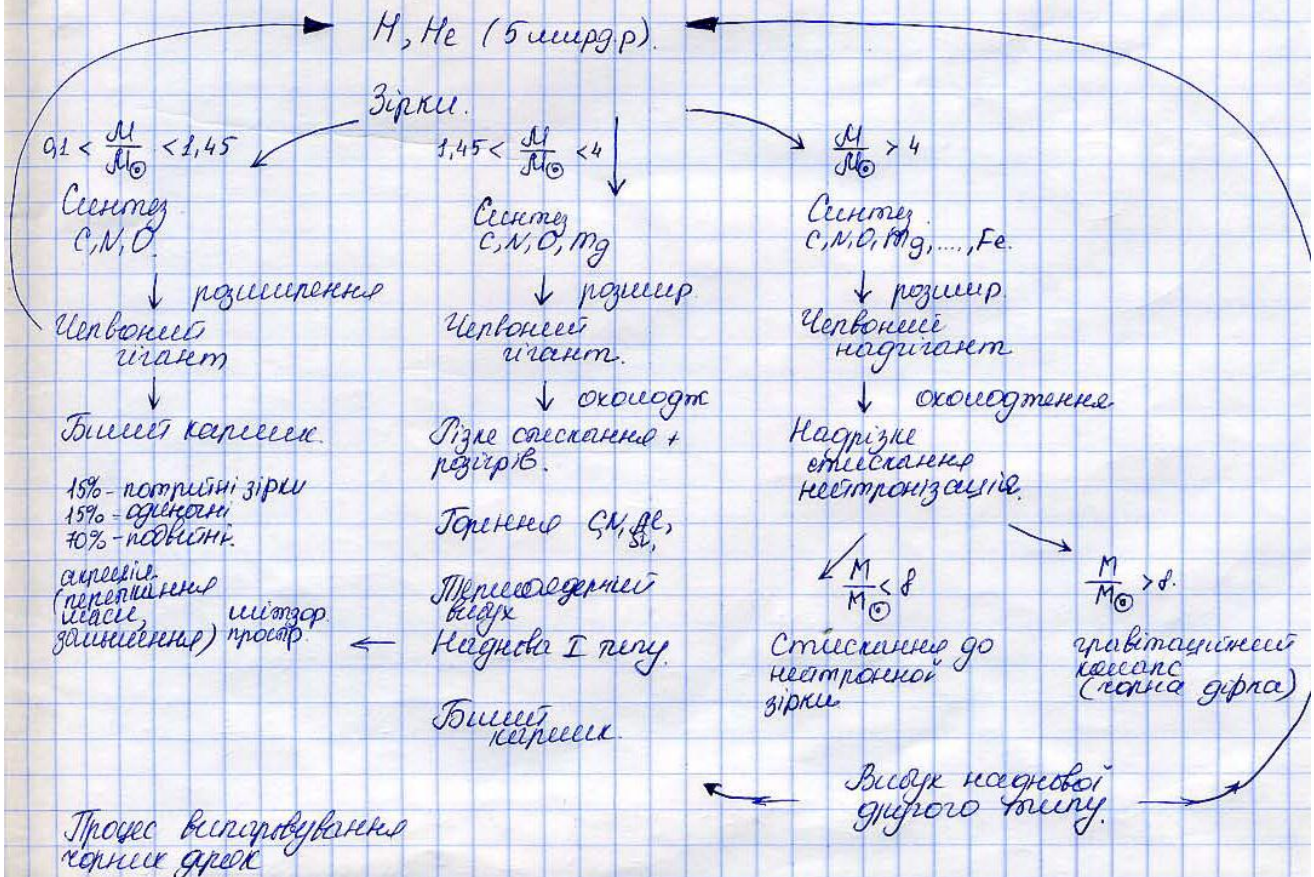
Коси $M > 8 M_{\odot}$ то півнес гравіт колапс - корона дреа.
(други колапсуна шв. порівняно колапсу), тоди об'єкт не
істе покласти дреу, навіть проше. (керні півнес на
фоні сіммі дреа).

Отримавши гравітаційний радіус: $r_{gr} = \frac{2GM}{c^2}$
Для Сонця: M_{\odot} $r_{gr\odot} = 3 \text{ (км)}$



пурьсагелі (прещені, випромін, нейтронні зіркі)

Всіджсідж Висідж



62. Моделі утворення планет. Космічні промені, проходження космічних променів крізь атмосферу.

Космічні промені - заряджені частинки високих енергій з космічного простору. Майже 90% від загальної кількості частинок складають протони, 9% - ядра гелію (альфа-частинки) та близько 1% - електрони (бета-мінус частинки). Слово "промені" в назві явища не слід сприймати буквально, оскільки частинки потрапляють в атмосферу Землі окремо, а не у вигляді напрямленого пучка частинок чи променя. Назва походить з часів відкриття явища і є більше даниною історії, а ніж описом суті явища.

Наявність частинок з різними енергіями відображає розмаїття джерел цих частинок. Походження частинок варіюється від енергетичних процесів в надрах Сонця до ще достатньо не з'ясованих механізмів у найвіддаленіших куточках видимого Всесвіту. Космічні промені можуть сягати енергій вище 10^{20} eV, що значно перевищує можливості теперішніх земних прискорювачів частинок, в яких можна надати частинці кінетичну енергію лише порядку 10^{12} - 10^{13} eV (дивіться Космічні промені надвисоких енергій для опису реєстрації частинки з енергією близько 50 Дж, що еквівалентно тенісному м'ячу розігнаному до швидкості 42 м/с). Планується досліджувати частинки навіть з більшими енергіями.

Склад

Енергетичний спектр космічних променів.

Космічні промені можна поїдлити на дві великі категорії, первинні та вторинні. Космічні промені від позасонячних астрофізичних джерел є первинними космічними променями; вони можуть взаємодіяти з матерією міжзоряного середовища і утворювати вторинні космічні промені. Сонце також продукує космічні промені невисоких енергій переважно під час сонячних спалахів. Точний склад первинних космічних променів, поза атмосферою Землі, залежить від діапазону спостережуваного енергетичного спектру. Загалом, майже 90% всіх космічних променів, що надходять складають протони, близько 9% ядра гелію (альфа-частинки) та майже 1% - електрони. Залишок складають інші важчі ядра, які є продуктами зоряних реакцій ядерного синтезу. Вторинні космічні промені складаються з легких ядер, які не є продуктами життєдіяльності зір, але є результатом Великого Вибуху, це переважно літій, берилій та бор. Цих легких ядер значно більший вміст в космічних променях (співвідношення приблизно 1:100 частинок), а ніж в сонячній атмосфері, де їхній вміст становить близько 10^{-7} вмісту ядер гелію.

Ці відмінності у вмісті є наслідком процесів формування вторинних космічних променів. При взаємодії важких ядер первинних космічних променів, наприклад, ядер карбону та кисню, з матерією міжзоряного середовища, вони розпадаються на легші ядра (в так званому процесі розпаду космічних променів), літій, берилій та бор. Спостереження вказують на те, що енергетичні спектри літію, берилію та бору спадають дещо крутіше, а ніж спектри карбону та кисню, що вказує на те, що розпад ядер з більшою енергією трапляється рідше, імовірно внаслідок їхнього виходу з-під дії галактичного магнітного поля. Розпад впливає також і на вміст Sc, Ti, V та Mn в космічних променях, які продукуються зіткненнями ядер феруму та нікелю з матерією міжзоряного середовища.

В минулому, вважалося що космічні промені зберігають свій потік сталим. Недавні ж дослідження надали докази 1,5-2 тисячолітніх змін в потоці космічних променів протягом останніх сорока тисяч років.

Космічні промені на земній поверхні

Космічні промені відхиляються в магнітному полі Землі. Їхня інтенсивність залежить від широти. Особливо цей ефект проявляється в екваторіальних областях, де магнітне поле перешкоджає проникненню космічних променів набагато більше, ніж біля полюсів. Крім того, позитивно заряджені частинки відхиляються на схід, а негативно заряджені частинки відхиляються на захід.

Інтенсивність космічних променів зростає із збільшенням висоти, досягаючи максимуму приблизно на висоті 20-25 км. За межами земної атмосфери існують області із підвищеною інтенсивністю космічних променів, що називаються радіаційними поясами Ван Аллена.

63. Радіаційні пояси Землі.

РПЗ (пояс Ван Аллена).

Другое название радиационный пояс Ван Аллена, от англ. Van Allen radiation belt.

Внутри магнитосферы, как и в любом дипольном поле, есть области, недоступные для частиц с кинетической энергией E , меньше критической. Те же частицы с энергией $E < E_{кр}$, которые все-таки уже там находятся, не могут эти области покинуть. Эти запрещённые области магнитосферы называются зонами захвата. В зонах захвата дипольного (квазидипольного) поля Земли действительно удерживаются значительные потоки захваченных частиц (прежде всего, протонов и электронов).

Радиационный пояс Земли (РПЗ) в западной литературе обычно называется поясом Ван-Аллена. Радиационный пояс Земли был открыт американскими и советскими учёными (С. Н. Вернов и А. Е. Чудаков) в 1957—1958 годах и представляет собой в первом приближении тороид, в котором выделяется две области:

внутренний радиационный пояс на высоте ~ 4000 км, состоящий преимущественно из протонов с энергией в десятки МэВ;

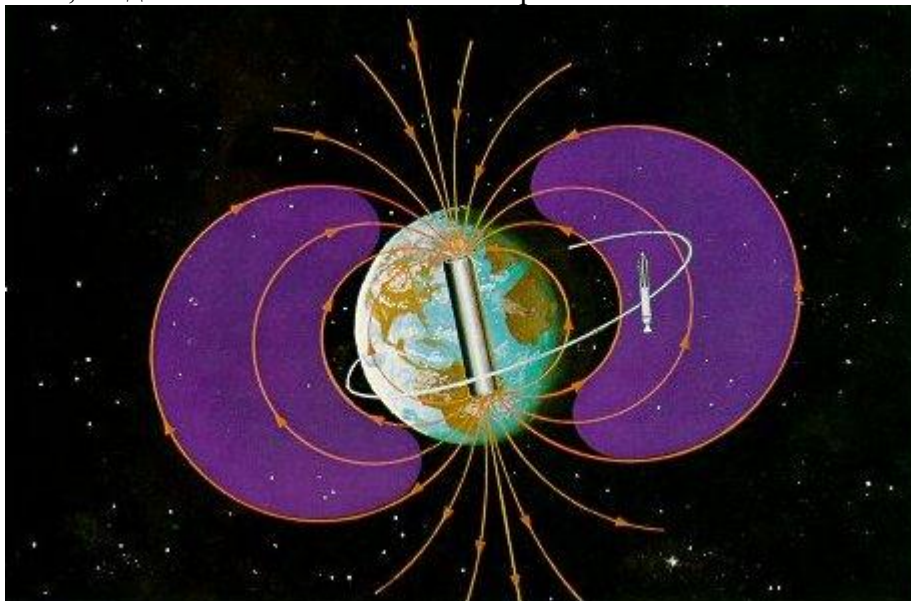
внешний радиационный пояс на высоте $\sim 17\ 000$ км, состоящий преимущественно из электронов с энергией в десятки кэВ.

Зависимость положения нижней границы радиационного пояса — долготная. Над Атлантикой возрастание интенсивности начинается на высоте 500 км, а над Индонезией на высоте 1300 км. Если те же графики построить в зависимости от магнитной индукции B , то все измерения уложатся на одну кривую, что ещё раз подтверждает магнитную природу захвата.

Между внутренним и внешним радиационными поясами имеется щель, расположенная в интервале от 2 до 3 радиусов Земли. Потоки частиц во внешнем поясе больше, чем во внутреннем. Различен и состав частиц: во внутреннем поясе протоны и электроны, во внешнем — электроны. Применение неэкранированных детекторов существенно расширило сведения о радиационных поясах. Были обнаружены электроны и протоны с энергией несколько десятков и сот килоэлектронвольт соответственно. Эти частицы имеют существенно иное, по сравнению с проникающими, пространственное распределение.

Максимум интенсивности протонов низких энергий расположен на расстояниях $L \sim 3$ от центра Земли. Малоэнергичные электроны заполняют всю область захвата. Для них нет деления на внутренний и внешний пояса. Частицы с энергией десятки кэВ непривычно относить к космическим лучам, однако радиационные пояса представляют собой единое явление и должны изучаться в комплексе с частицами всех энергий.

Поток протонов во внутреннем поясе довольно устойчив во времени. Первые эксперименты показали, что электроны высокой энергии ($E > 1-5$ МэВ) сосредоточены во внешнем поясе. Электроны с энергией меньше 1 МэВ заполняют почти всю магнитосферу. Внутренний пояс очень стабилен, тогда как внешний испытывает резкие колебания.



64. Ядерні реакції та синтез елементів в зірках на різних етапах еволюції Всесвіту

Наша Вселенная существует в течение $(10-20) 10^9$ лет от начала расширения. На первых стадиях расширения и остывания она прошла диапазон температур, при котором дозвездное вещество превращалось в нуклоны. Последние, продолжая остывать, синтезировались в ядра ${}^4\text{He}$. В этом процессе зафиксировался первоначальный состав элементов во вселенной (см. ниже п.1). В ходе дальнейшей эволюции состав дозвездного вещества уже не менялся, так как его температура упала ниже интервала, при котором синтез еще возможен. Сохранился он и после образования галактик и звезд, так как количество образующегося при синтезе в низ вещества невелико. *Синтез элементов происходил и происходит сейчас в массивных звездах (10-20 масс Солнца), способных обеспечить высокую плотность и температуру*

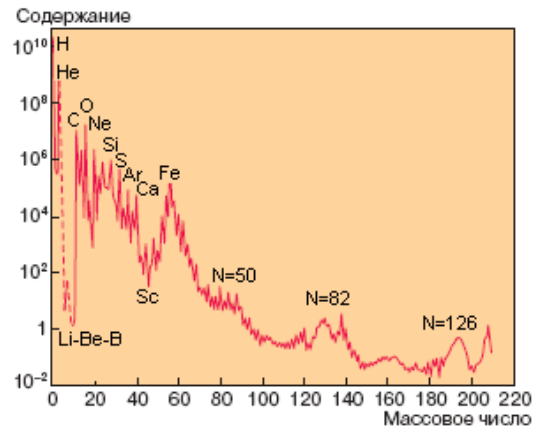


Рис. 1. Распространенность нуклидов в первичной солнечной туманности по отношению к содержанию кремния, принятого за 10^6

Эволюция этих звезд заканчивается гравитационным коллапсом, взрывом и рассеянием вещества в пространство (вспышка Сверхновой). Это вещество служит исходным материалом для конденсации его в наблюдаемые сейчас звезды, в том числе и Солнце.

Основным экспериментальным результатом, который позволяет судить об образовании элементов во Вселенной, является распространенность. Сведения о ней получают путем усреднения данных по изотопному составу 1) земной коры 2) метеоритов 3) солнечной атмосферы 4) проб лунного грунта 5) звездных атмосфер 6) проб грунта Венеры.

Распространенность элементов во Вселенной имеет следующие особенности:

- 1) Распространенность по числу ядер ${}^1\text{H} \sim 90\%$, ${}^4\text{He} \sim 10\%$; остальные $\sim 0.1\%$
- 2) Распространенность элементов с увеличением их атомной массы в среднем уменьшается
- 3) распространенность легких ядер (Li, Be, B) на 5-8 порядков ниже в сравнении с их ближайшими соседями
- 4) распространенность элементов железной группы (Cr, Fe, Ni) имеет ярко выраженный максимум — *железный пик*
- 5) распространенность элементов из магических областей систематически ниже, чем у соседних с ними
- 6) распространенность четно-четных ядер выше, чем у нечетных
- 7) распространенность соседних ядер коррелирует с величиной энергии связи нуклонов в них: ядро с более высокой энергией связи имеет большую распространенность.

Последовательность процессов, порождающих все обилие химических элементов, начинается с термоядерных реакций.

Протон-протонная цепочка включается, когда температура в центре звезды повышается до 1

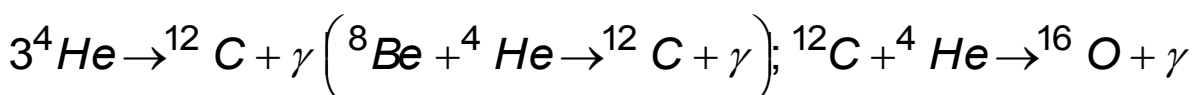
кэВ. При этом происходят ядерные реакции: $p + p \rightarrow d + \beta^+ + \nu$; $d + d \rightarrow {}^4\text{He}$. Конечный

итог реакций: $4p \rightarrow {}^4\text{He} + 2\nu + 2\beta^+ + 26.7\text{MeV}$. Ядра легкой группы (Li, Be, B)

возникают в промежуточных стадиях реакций и выгорают. Невозможность отвода создаваемого вещества (кроме нейтрино) вследствие сжатия звезды приводит к дальнейшему сжатию и нагреву.

Углеродно-азотно-кислородный (CNO) цикл идет при температуре, превышающей 2 кэВ. В результате этого цикла также образуется гелий; углерод, азот и кислород исполняют роль катализатора (предполагается, что некоторое количество этих элементов образовалось на предыдущей стадии эволюции звезды в ядерных реакциях с участием гелия).

Альфа-процесс вступает в действие, когда температура достигает 10 кэВ. В результате выгорания водорода накапливается гелий и становятся возможными реакции горения гелия:



Для

легких звезд (1-2 массы Солнца) на этом реакции горения заканчиваются. Для более массивных, когда энергия в центре звезды превышает 30 кэВ, возможны реакции:

$^{16}\text{O} + ^4\text{He} \rightarrow ^{20}\text{Ne} + \gamma$; $^{20}\text{Ne} + ^4\text{He} \rightarrow ^{24}\text{Mg} + \gamma$. Все эти реакции идут с выделением энергии.

После того, как в центре звезды выгорает гелий, ядро начинает вновь уплотняться и разогреваться. При температурах 60 кэВ начинается горение углерода:

$^{12}\text{C} + ^{12}\text{C} \rightarrow ^{20}\text{Ne} + ^4\text{He}$; $^{12}\text{C} + ^{12}\text{C} \rightarrow ^{23}\text{Na} + p$; $^{12}\text{C} + ^{12}\text{C} \rightarrow ^{23}\text{Mg} + n$; $^{12}\text{C} + ^{12}\text{C} \rightarrow ^{24}\text{Mg} + \gamma$.

Некоторое количество углерода сгорает вместе с кислородом:

$^{12}\text{C} + ^{16}\text{O} \rightarrow ^{24}\text{Mg} + ^4\text{He}$; $^{12}\text{C} + ^{16}\text{O} \rightarrow ^{28}\text{Si}$ и т.д.

Горение кислорода идет при температурах больше 100 кэВ; его наиболее распространенный продукт – изотоп ^{28}Si .

После выгорания кислорода ядро звезды вновь разогревается и сжимается. Когда температура достигает 300-400 кэВ, начинается равновесный, или e-процесс, при котором идут прямые и обратные термоядерные реакции образования и диссоциации элементов, включая ядра группы железа. Фоторасщепление ядер приводит к образованию в ядре звезды свободных протонов, нейтронов и ядер гелия, начинают протекать реакции образования из кремния более тяжелых

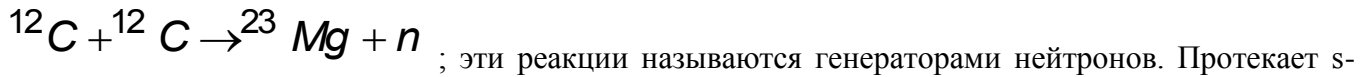
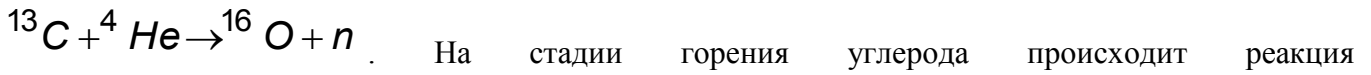
элементов, например: $\gamma + ^{28}\text{Si} \rightarrow ^{24}\text{Mg} + ^4\text{He}$; $^4\text{He} + ^{28}\text{Si} \rightarrow ^{32}\text{S} + \gamma$ и т.д.

Наиболее распространенными при этом окажутся ядра с $A=4n$, поскольку ведущим процессом образования элементов тяжелее кремния является последовательное присоединение альфа-частиц к ядру ^{28}Si . e-процесс занимает в эволюции звезды время порядка 1 с. Он предшествует непосредственно взрыву массивной звезды и окончательно фиксирует распространенность ядер группы железа и более легких. *Железный максимум* формируется большой прочности указанной группы ядер из-за большой энергии связи в них. Диссоциация этой группы возможна только при повышении температуры до 700 кэВ, но к этому времени начинается разлет вещества массивной звезды. Эволюция звезды, а следовательно, и ядерный синтез элементов – нуклеосинтез – на этом заканчивается.

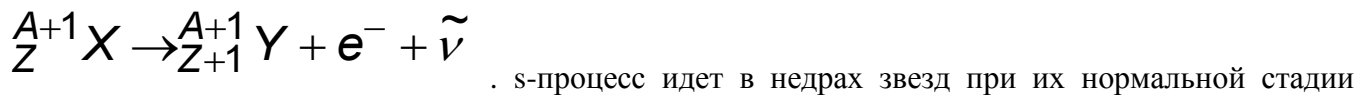
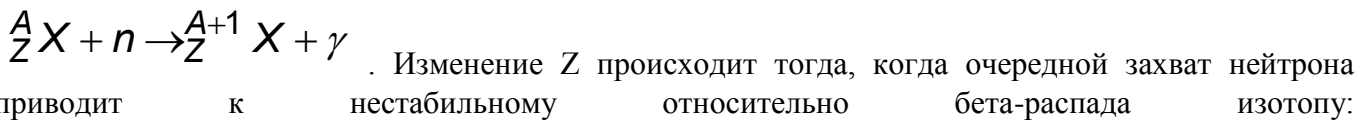
65. Проблемы синтеза та стабільності надважких елементів.

Горение кремния является конечной стадией термоядерного синтеза нуклидов в массивных звездах, на которой образуются ядра группы железа, обладающие максимальной удельной энергией связи. Последующий термоядерный синтез в результате присоединения легких ядер ядрами группы железа не имеет места, так как этот процесс должен протекать только с поглощением энергии. Этот синтез должен обеспечиваться другими механизмами; такие нуклиды образуются в результате трех принципиально разных процессов: s-, r- и p-процессов.

S-процесс (медленный процесс радиационного захвата нейтронов) начинается при температуре 10 кэВ одновременно с альфа-процессом, когда становится достаточно вероятной реакция



; эти реакции называются генераторами нейтронов. Протекает s-процесс в том случае, когда концентрация свободных нейтронов столь мала, что интервал времени между последовательными актами поглощения нейтронов превышает время жизни всех нестабильных ядер, образующихся в этом процессе. Нейтроны последовательно захватываются ядрами железной группы с испусканием гамма-кванта, что сопровождается последовательным увеличением атомной массы A в пределах данного порядкового номера ядра X :



s-процесс идет в недрах звезд при их нормальной стадии эволюции очень медленно: один захват нейтрона ядром происходит в среднем за 10^5 лет. Но начавшись на ядрах железной группы, он не прерывается вплоть до образования ядер ^{207}Pb , оставляя на диаграмме (Z, A) дорожку стабильности. Завершаются цепочки превращений s-процесса на изотопах свинца и висмута ^{209}Bi , так как последующие нуклиды полония α -радиоактивны с очень малым периодом полураспада.

Доказательством существования нуклеосинтеза вследствие s-процесса является хорошее

выполнение соотношения $\sigma \cdot N = \text{const}$, где σ - сечение радиационного захвата нейтронов элементом, а N - распространенность. Обозначим $n(A)$ число ядер с массовым

числом A ; тогда изменение числа $n(A)$ в s-процессе будет описываться уравнением

$$\frac{dn(A)}{dt} = \nu \sigma(A-1)n(A-1) - \nu \sigma(A)n(A)$$

, где ν - поток нейтронов, а $\sigma(A)$ - сечение поглощения

нейтронов ядром с массовым числом A . Первый член справа дает число ядер, образующихся в

единицу времени, а второй - число исчезающих ядер. В стационарных условиях $\frac{dn(A)}{dt} = 0$,

поэтому имеет место равенство $\sigma(A-1) \cdot n(A-1) = \sigma(A) \cdot n(A)$, откуда и следует указанное

соотношение. Существуют стабильные изотопы, располагающиеся слева (нейтронно-дефицитные или обойденные) и справа (нейтронно-избыточные) от дорожки стабильности ядра, образование которых не может произойти в рамках s-процесса. Кроме того, s-процесс не может обеспечить нуклеосинтез ядер урановой группы. Во всех этих случаях стабильные или долгоживущие изотопы отделены от дорожки стабильности нестабильными изотопами, вероятность распада которых существенно выше вероятности захватить нейтрон (для нейтрон-избыточных) или протон (для обойденных ядер).

Тяжелые и сверхтяжелые элементы, находящиеся в таблице Менделеева за висмутом, образуются в результате **r-процесса** - быстрого процесса радиационного захвата нейтронов, в котором время

между последовательными захватами нейтронов значительно меньше времени жизни нестабильных ядер. Этот процесс реализуется непосредственно перед взрывом звезды, когда поток нейтронов из реакций генерации нейтронов становится очень интенсивным. За очень короткое время образуются все нейтронно-избыточные элементы справа от дорожки стабильности, в том числе сверхтяжелые элементы с атомной массой вплоть до 260. Примером r-процесса является то,

как процесс нуклеосинтеза преодолевает область полония: ядро изотопа ${}_{83}^{208}\text{Bi}$ может последовательно присоединить 20 нейтронов: ${}_{83}^{208}\text{Bi} + 20n \rightarrow {}_{83}^{228}\text{Bi} + \gamma$ и превратиться в

нестабильное вследствие большой перегруженности нейтронами ядро изотопа ${}_{83}^{228}\text{Bi}$, которое в результате цепочки бета-распадов превращается в одно из ядер, находящееся за полонием и альфа-радиоактивными астатом и францием. Окончание r-процесса прерывается спонтанным делением сверхтяжелых ядер, поскольку для ядер с большим массовым числом спонтанное деление будет происходить быстрее, чем бета-распад. При этом продукты деления сверхтяжелых ядер вновь становятся зародышевыми ядрами для дальнейшего протекания r-процесса.

Не все атомные ядра могут быть образованы в s- и r-процессах. Существуют так называемые обойденные ядра, которые не могут образоваться посредством захвата нейтронов. Примерами

таких ядер являются ${}_{42}^{92}\text{Mo}$, ${}_{50}^{111}\text{Sn}$, ${}_{50}^{112}\text{Sn}$, ${}_{50}^{115}\text{Sn}$. Эти богатые протонами ядра создаются захватом протонов или позитронов в **p-процессе**. Время протекания p-процесса непосредственно предшествует взрыву Сверхновой. Физические модели протекания p-процессов в звездах остаются пока неоднозначными.

67. Дозиметрические единицы

Для оценки воздействия ядерных излучений на вещество используют т.н. дозиметрические единицы (почти все внесистемные). Наиболее простой и точной дозой облучения является интегральный поток — число частиц, прошедших через единицу площади поперечного сечения образца (частица/см²). Единицы интегрального потока неудобны тем, что с их помощью трудно сравнивать между собой результаты воздействия облучений, различающихся по сорту частиц и по их энергии. Поглощенной дозой называется энергия ионизирующего излучения, поглощенная единицей массы облучаемой среды. Единицей поглощенной дозы для излучений любых видов является рад (1 рад = 0,01 Дж/кг = 100эрг/г). На практике чаще всего требуется такое понятие дозы, которое обладало бы хотя бы приближенной универсальностью в отношении энергии и сорта частиц и в то же время зависело бы только от свойств и геометрии источника излучения. Величиной такого рода является доза облучения (или экспозиционная доза), выражающая количество излучения, прошедшего через вещество. Для рентгеновского и γ -излучения единицей дозы облучения является рентген: 1Р соответствует дозе рентгеновского или γ -облучения, создающей в 0,001293 г воздуха ионы, несущие заряд в одну электростатическую единицу электричества каждого знака. В системе СИ единицей дозы облучения является Кл/кг. Соотношение рентгена с международной единицей таково: 1Р=2,58*10⁻⁴ Кл/кг. Для измерения дозы облучения другими, отличными от γ -квантов частицами используется единица фэр (физический эквивалент рентгена). 1 фэр соответствует дозе облучения α -частицами, β -частицами или нейтронами, вызывающей такую же ионизацию, как и доза γ -излучения в 1 рентген. Доза в 1 фэр соответствует образованию 2,08*10⁹ пар ионов в 1 см³ воздуха при нормальных условиях. Биологическое действие ядерных излучений зависит не только от дозы облучения, но и от их вида. Поэтому для дозы облучения живых организмов используется новая единица бэр (биологический эквивалент рентгена). Величина дозы в бэр связана с величиной той же дозы в

фэр соотношением: $D(ber) = D(fer) \times OBE$ где через ОБЭ обозначена относительная биологическая эффективность. В следующей таблице приведены значения ОБЭ популярных излучений:

Тип излучения	ОБЭ
γ - излучение	1
β - частицы	1
Тепловые нейтроны	5
Быстрые нейтроны	10
Протоны	10
α - частицы	10

66. Дозиметрия и защита

Для расчета защиты необходимо установить предельно допустимую дозу (ПДД), облучение которой безвредно для здоровья. При установлении ПДД надо исходить из того, что в естественных условиях облучение человека за счет космических лучей и радиоактивности веществ земной коры составляет примерно 0,1 бэр в год, и с другой стороны доза в 400—600 бэр смертельна. Принятая сейчас ПДД от внешних источников облучения для лиц, непосредственно работающих с излучениями, составляет 5 бэр/год. Для возможного облучения населения установлена доза 5 бэр/30лет, близкая к естественному фону.

Для измерения доз облучения используются дозиметры. Дозиметр, конечно, является одним из типов детекторов ядерных частиц. В качестве детекторов в дозиметрах применяются ионизационные камеры непрерывного действия, газоразрядные счетчики, фотопленки и сцинтилляторы. Очень высокие дозы (до 10^7 Р и выше) измеряются по выходу некоторых радиационно-химических реакций. По назначению дозиметрическая аппаратура делится на шесть типов: а) приборы, измеряющие дозу внешнего излучения; б) приборы для измерения потоков α и β частиц; в) приборы (карманные) для измерения индивидуальных доз; г) приборы для измерения загрязнённости воздуха радиоактивными газами и аэрозолями; д) приборы для измерения радиоактивности проб воды и пищевых продуктов; е) установки для измерения внешнего излучения воздуха.

Простейшим методом защиты является удаление от источника излучения на достаточное расстояние, так как интенсивность излучения убывает как $1/R^2$. Наиболее проста защита от α -излучений, так как α -частицы имеют ничтожно малые пробеги. В отношении β -излучений: пробег электронов в воздухе не так уж мал (более 3 м при $E = 3$ МэВ). Поэтому β -активные препараты, даже малых активностей экранируют. При расчете защиты обычно пользуются

величиной l_{10} , равной толщине слоя вещества, дающей ослабление потока излучения в 10 раз.

В таблице даны значения l_{10} для γ -квантов с двумя типами энергий:

	$E = 3$	$E = 6$	Вещество	$E = 3$	$E = 6$
Вода	58	83	Железо	8,2	9,6
Бетон	27,4	37,2	Свинец	4,9	4,6

69. Действие ядерных излучений на структуру вещества

Энергия попадающих в вещество частиц в основном тратится на ионизацию и возбуждение атомов, что ведет как к нагреванию вещества так и к необратимым изменениям структуры (*радиационным повреждением*). Изменение структуры обуславливается следующими механизмами: а) Главным механизмом является ударное выбивание атомов из кристаллической решетки (сопровождается вторичными процессами). б) Появление в решетке новых атомов за счет внедрения падающих тяжелых частиц и ядерных в) Воздействие на решетку через ионизацию. Все эти процессы приводят к созданию дефектов решетки. При достаточно мощном облучении за счет этих дефектов заметно изменяются макроскопические свойства тела — механические и тепловые. Изменение решетки влияет и на структуру электронных энергетических зон. Под действием больших доз облучения изменяется плотность кристалла, а при низкой симметрии — решетка и геометрическая форма. (пример: под действием интегрального по времени потока 10^{20} реакторных нейтронов на 1 см^2 плотность кварца снижается на 15%). Обычно материал упрочняется из-за того, что возникшие под влиянием облучения дефекты тормозят движение дислокаций. Модуль упругости растет, разрушение вместо пластического становится хрупким. Радиационные изменения механических свойств довольно устойчивы. Их можно уничтожить только отжигом при температуре порядка температуры рекристаллизации. В металлах при облучении возрастает остаточное (не зависящее от темп-ры) электрическое сопротивление. Электропроводность диэлектриков после облучения в одних случаях возрастает, в других — падает. Увеличению электропроводности способствует возрастание числа ионных носителей тока, но если после облучения появляются сложные комплексы (грозди) дефектов, то носители начинают застревать в этих комплексах, что снижает электропроводность. Появление дефектов в решетке неизбежно искажает структуру электронных уровней, что приводит к изменению оптических и электрических свойств кристалла. Эти изменения существенны для диэлектриков и полупроводников, но не для металлов, внутри которых имеется большое число свободных электронов, которые практически не подвержены действию точечных дефектов решетки, и определяют электрические и оптические свойства кристалла. Особенно сильно влияет облучение на электрические свойства полупроводниковых (пп) материалов. Главное действие облучения на пп состоит в том, что появляющиеся дефекты создают энергетические уровни в запрещенной зоне. Эти уровни являются ловушками для носителей зарядов. Дефекты-ловушки сильно снижают времена жизни носителей, что приводит к уменьшению электропроводности. Кроме того, в ловушках накапливается пространственный заряд, искажающий электрическое поле внутри проводника и резко ухудшающий его технические характеристики. Иногда радиационным повреждениям, наносимым тяжелыми ионами, удается найти полезное практическое применение. Примерами служат изготовление *ядерных фильтров* и датировка событий по трекам продуктов деления урана. При прохождении тяжелых ионов через непроводящие кристаллы и аморфные тела вдоль трека иона из-за большой плотности ионизации образуется канал сильного радиационного повреждения, вещество в пределах канала более чувствительно к химическому воздействию и может быть удалено посредством окисления и последующего травления и промывания. В результате на месте канала получаются пустоты. Датировка событий по трекам продуктов деления ядра изотопа урана ${}_{92}\text{U}^{238}$ основывается на том, что треки тяжелых ионов, становятся видимыми при окислении и травлении. По числу треков, приходящихся на единицу поверхности, и содержанию урана можно определить время существования образца

68. Химическое действие ядерных излучений

Ядерные излучения могут вызывать в веществах различные химические реакции. Поток ядерных частиц вызывает в среде возбуждение, ионизацию, диссоциацию и диссоциативную ионизацию молекул. Возникшие при этом возбужденные молекулы и ионы вступают в хим. реакции -либо непосредственно, либо через промежуточное образование хим. высокоактивных свободных радикалов. В последнем случае в реакции могут вовлекаться молекулы, не подвергавшиеся непосредственному облучению. Так как энергия ядерных излучений значительно превышает энергию любых хим. связей, то облучение может разрывать и очень прочные связи. Это ведет к образованию таких хим. высокоактивных ионов и радикалов, которые не удается получать традиционными хим. методами. **Радиолиз воды** — процесс, играющий фундаментальную роль для понимания любых реакций, проходящих в водных растворах. Главным источником информации о природе ионов, образуемых излучениями, является масс-спектрографическое исследование облучаемых паров. Так, при облучении водяного пара эл-нами с энергией 50 эВ установлено, что различные положительные ионы образуются в следующих относительных количествах:

H_2O^+	OH^+	H^+	H_3O^+	O^+	H_2^+
1000	200	200	200	20	5

Уже этот перечень показывает, что общая картина радиолиза воды является очень сложной

Биологическое действие излучений

При достаточно большой дозе облучения гибнет любой организм. Минимальная смертельная доза варьируется от 50Р до 300000Р. Дозы ниже смертельной вызывают различные заболевания, объединяемые термином «лучевая болезнь». Вот что делает радиация с людьми (цифры в рентгенах): 0—25 - отсутствие явных повреждений; 20—50 - возможное изменение состава крови; 50—100 - изменение состава крови; 100—200 - возможная потеря трудоспособности; 200—400 - нетрудоспособность и возможная смерть; **600 – смерть**. Структуру живого организма можно подразделить на три уровня: а) отдельные молекулы; б) клетки; в) макроскопические части. Поражающее действие радиации проявляется на всех трех уровнях. Первичным действием излучения на организм является повреждение молекул. Существуют два механизма таких повреждений — прямой и косвенный. В прямом механизме ядерная частица воздействует на сами макромолекулы. В косвенном механизме излучение производит радиолиз воды, продукты которого (главным образом радикал ОН, а также Н, НО₂ и перекись водорода) вступают в химические реакции с макромолекулами. Опытное определение относительной роли обоих механизмов затруднено тем, что первичные процессы поражения происходят за очень короткое время. Биологическое действие слабо ионизирующих излучений (γ-лучи и электроны) усиливается в присутствии o_2 . Повышение концентрации o_2 в среде от 0 до 30—40% втрое увеличивает поражающее действие. Действие сильно ионизирующих излучений, от концентрации o_2 не зависит. У человека наиболее чувствительны к облучению кроветворные органы (костный мозг, селезенка, лимфатические железы), эпителий половых желез и слизистой оболочки кишечника. При дозе, близкой к смертельной, гибель наступает в результате разрушения производящих кровь клеток костного мозга (лейкемия). При дозах, значительно превышающих смертельную, гибель наступает гораздо быстрее за счет поражения кишечника. Действие одной и той же дозы облучения заметно зависит от того, за какой промежуток времени эта доза получена. Если облучение сильно (на недели, месяцы) растянуть по времени, то общее поражающее действие будет меньшим, чем при однократном облучении суммарной дозой.

Оглавление

1. Основні етапи розвитку уявлень про структуру матерії.	1
2. Історія відкриття перших субатомних частинок - електрона, протона, нейтрона, нейтрино.	2
3. Античастинки.....	3
4. Склад та заряд ядра.	4
5 Стабільні та нестабільні ізотопи та ізобари, “доріжка стабільності”.....	5
6 МАГИЧЕСКИЕ ЯДРА (МАГИЧЕСКИЕ ЧИСЛА).....	6
7. Ізоспін.	7
8. Маса та енергія звязку. Формула Вейцекера.	8
9 Розміри ядра та методи визначення.	9
10. Форма, електричні та магнітні моменти ядер.	10
11. ПАРНІСТЬ ТА ЗАКОН ЗБЕРЕЖЕННЯ ПАРНОСТІ.	11
12.1 КРАПЛИННА МОДЕЛЬ.....	12
12.2 КОЛИВАННЯ ПОВЕРХНІ. ПОЛЯРИЗАЦІЙНІ КОЛИВАННЯ.	13
12.3 АНГАРМОНІЧНІ КОЛИВАННЯ ВАЖКИХ ЯДЕР. ЯДЕРНІЙ ПОДІЛ.	14
13. Оболонкова модель.	14
14. Самоузгоджений ядерний потенціал та роль спін-орбітальної взаємодії.	15
15. Пояснення магічних чисел.	16
16 УЗАГАЛЬНЕНА МОДЕЛЬ ЯДРА.	17
17-Області проявлення, інтенсивність та основні характеристики гравітаційних та електромагнітних сил, сил слабкої та сильної взаємодії.	18
18 ГІПОТЕТИЧНА ЧАСТИНКА „ГРАВІТОН”.....	21
19. Фотони та основні процеси квантової електродинаміки. (рос.).....	22
20. Властивості ядерних сил: радіус дії та інтенсивність; тензорний та обмінний характер; ізоспінова інваріантність; насичення. (рос.).....	23
21. Електрослабкі сили.....	24
22. Відкриття мюонів та загальні властивості лептонів.	25
23. Відкриття мезонів та нових баріонів, загальні властивості адронів.	27
24. Кваркова структура баріонів та мезонів, експериментальні проявлення.	28
25. Систематизація лептонів і кварків: покоління, аромати, колір.	29
26. Проміжні бозони та уявлення про об'єднану теорію електрослабких сил - квантову ароматодинаміку.	30
27. Глюони, міжкваркові взаємодії та основні ідеї квантової хромодинаміки.	32
28. Проблема конфаймента та проявлення кварк-глюонної структури адронів у процесах глибокого непружного розсіювання лептонів; адронні струмені.	34
29. Природна та штучна радіоактивність, закон радіоактивного розпаду.	35
30.1. Альфа-розпад. Спектри альфа частинок.	36
30.2 Бета-перетворення. Електронний та позитронний розпади. Електронне та нейтрінне захоплення.	38
30.3 Проблема маси нейтрино.	39
31. γ -випромінювання ядер.	41
32. ЯДЕРНА ІЗОМЕРІЯ, ВНУТРІШНЯ КОНВЕРСІЯ.....	42
33. ЕФЕКТ МЕССБАУЕРА.	43
34. Протонний та двохпротонний розпади, спонтанний поділ ядер.	44
35. Детектори ядерних частинок.....	45
37. Лінійні та циклічні прискорювачі заряджених частинок, накопичення частинок, зустрічні пучки.	48
38. Прискорення заряджених частинок за допомогою потужного лазерного імпульсу.	49
39. Спостереження процесів народження та розпаду частинок.	50
40. Методи спостереження короткоживучих частинок.	50
41. Переріз та канали реакцій, закони збереження, класифікація реакцій.....	51
43. Поділ та синтез атомних ядер.	54
44. Ланцюгова реакція, стаціонарні та імпульсні ядерні реактори.	56
45. Конструкція ядерного реактора, порогові параметри та кінетика процесів контрольованої ланцюгової реакції ділення важких ізотопів.	57

46. Неконтрольовані ядерні реакції ділення та синтезу(ядерний вибух), атомна та воднева бомба.	58
47. Проблеми керування термоядерного синтезу, критерій Лоусона	59
48. Методи реалізації контрольованих термоядерних реакцій	60
49. СУЧАСНІ ПРОБЛЕМИ КОСМОЛОГІЇ, БУДОВА ВСЕСВІТУ.	63
50. ДИНАМІЧНЕ РІВНЯННЯ ЕВОЛЮЦІЇ ВСЕСВІТУ. 51. СТАЛА ХАББЛА.	64
52. Замкнена та незамкнена моделі Всесвіту.	67
53. Критична густина речовини у Всесвіті.	68
54. Еволюція та взаємоперетворення речовини у Всесвіті з початку Великого вибуху.	69
55. Уявлення про внутрішню будову зірок та перенесення випромінювання.	70
56. ЯДЕРНІ РЕАКЦІЇ СИНТЕЗУ В ЗІРКАХ	71
57. Проблема сонячних нейтрино.	72
58. Гіпотези про утворення зірок.	74
60. Співвідношення між силою гравітації та станом виродженої електронної підсистеми в критичних космічних об'єктах на стадії їх гравітаційного колапсу.	80
61. Еволюція зірок в залежності від їх початкових умов.	83
62. Моделі утворення планет. Космічні промені, проходження космічних променів крізь атмосферу.	86
63. Радіаційні пояси Землі.	88
64. Ядерні реакції та синтез елементів в зірках на різних етапах еволюції Всесвіту	89
65. Проблеми синтезу та стабільності надважких елементів.	91
67. Дозиметрические единицы	93
66. Дозиметрия и защита.	94
69. Действие ядерных излучений на структуру вещества	95
68. Химическое действие ядерных излучений.	96